Lezione

TECNICA DELLE COSTRUZIONI

Prof. Pier Paolo Rossi Università degli Studi di Catania

Verifica di sezioni soggette a flessione composta

1° stadio (Formule di Scienza delle Costruzioni)

Con riferimento alla sezione omogeneizzata vale la formula di Scienza delle Costruzioni

$$\sigma = E(\varepsilon_G + \chi_x x + \chi_y y)$$

Pertanto:

$$\begin{split} N = & E \epsilon_G \int dA + E \chi_x \int x dA + E \chi_y \int y dA = E \epsilon_G A & \neq 0 \\ M_x = & E \epsilon_G \int y dA + E \chi_x \int x y dA + E \chi_y \int y^2 dA = E \chi_y I_x & \neq 0 \\ M_y = & E \epsilon_G \int x dA + E \chi_x \int x^2 dA + E \chi_y \int x y dA = - E \chi_x I_y & \neq 0 \\ essendo \int x dA = & \int y dA = 0 & \epsilon \int x y dA = 0 \end{split}$$

1° stadio (Formule di Scienza delle Costruzioni)

Con riferimento alla sezione omogeneizzata vale la formula di Scienza delle Costruzioni

$$\sigma = E(\varepsilon_G + \chi_X X + \chi_Y Y)$$

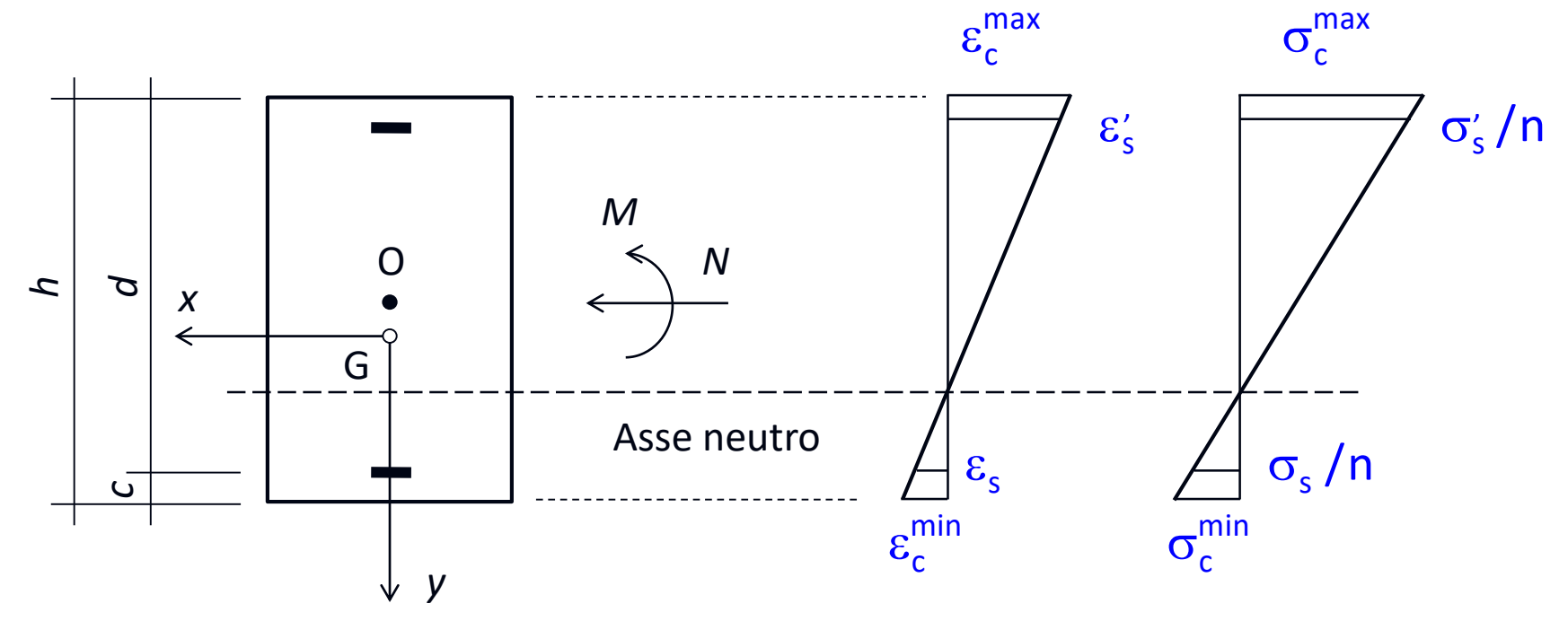
Curvatura nel piano x-z

Curvatura nel piano y-z

ovvero

$$\sigma = \frac{N}{A} - \frac{M_y}{I_y} x + \frac{M_x}{I_x} y$$

1° stadio (Calcolo delle tensioni)



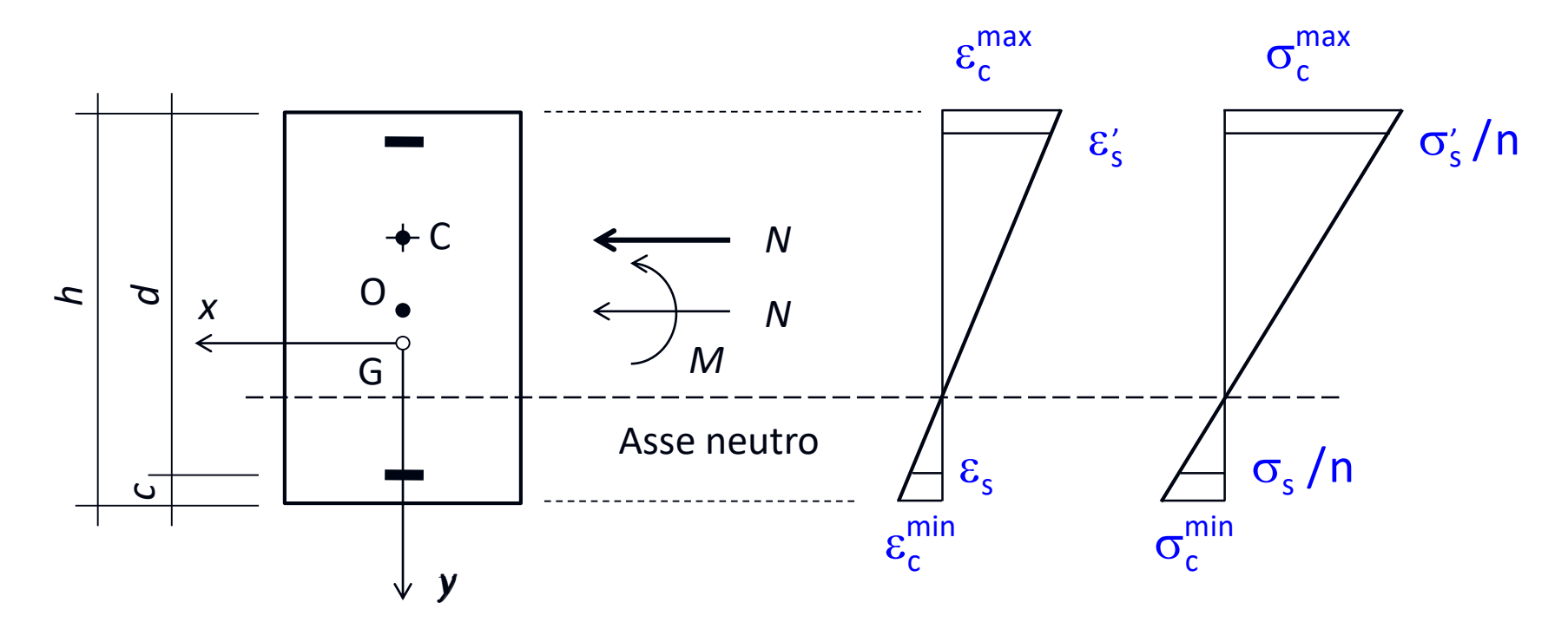
Nota 1: l'asse neutro non passa per il baricentro G della sezione omogen.

Nota 2: lo sforzo normale si intende applicato nel baricentro O della sezione in calcestruzzo

$$\sigma_c = \frac{N}{A} + \frac{M_x}{I_x} y$$

$$\sigma_{s} = n \left(\frac{N}{A} + \frac{M_{x}}{I_{x}} y \right)$$

1° stadio (Calcolo delle tensioni)



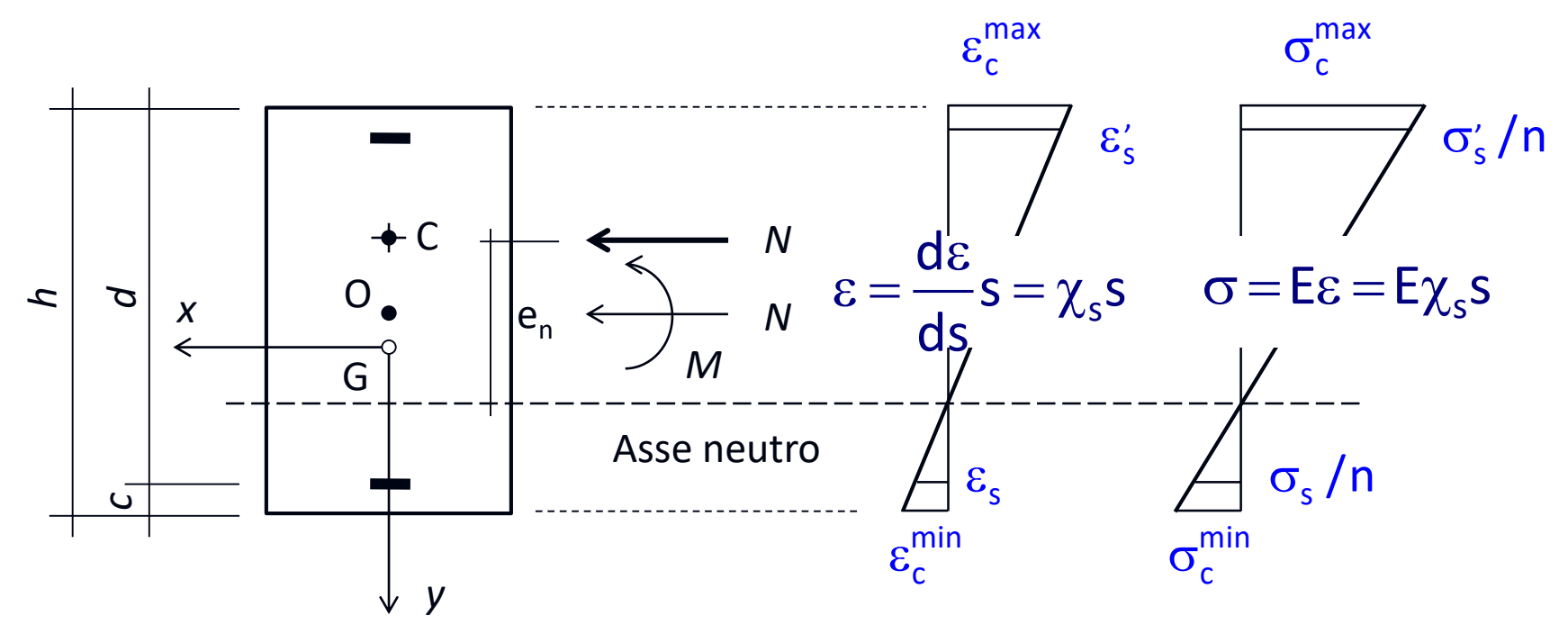
Le azioni di sforzo normale e momento flett. equivalgono ad uno sforzo normale con eccentricità

$$e_x = \frac{M_x}{N}$$
 $e_y = -\frac{M_y}{N}$

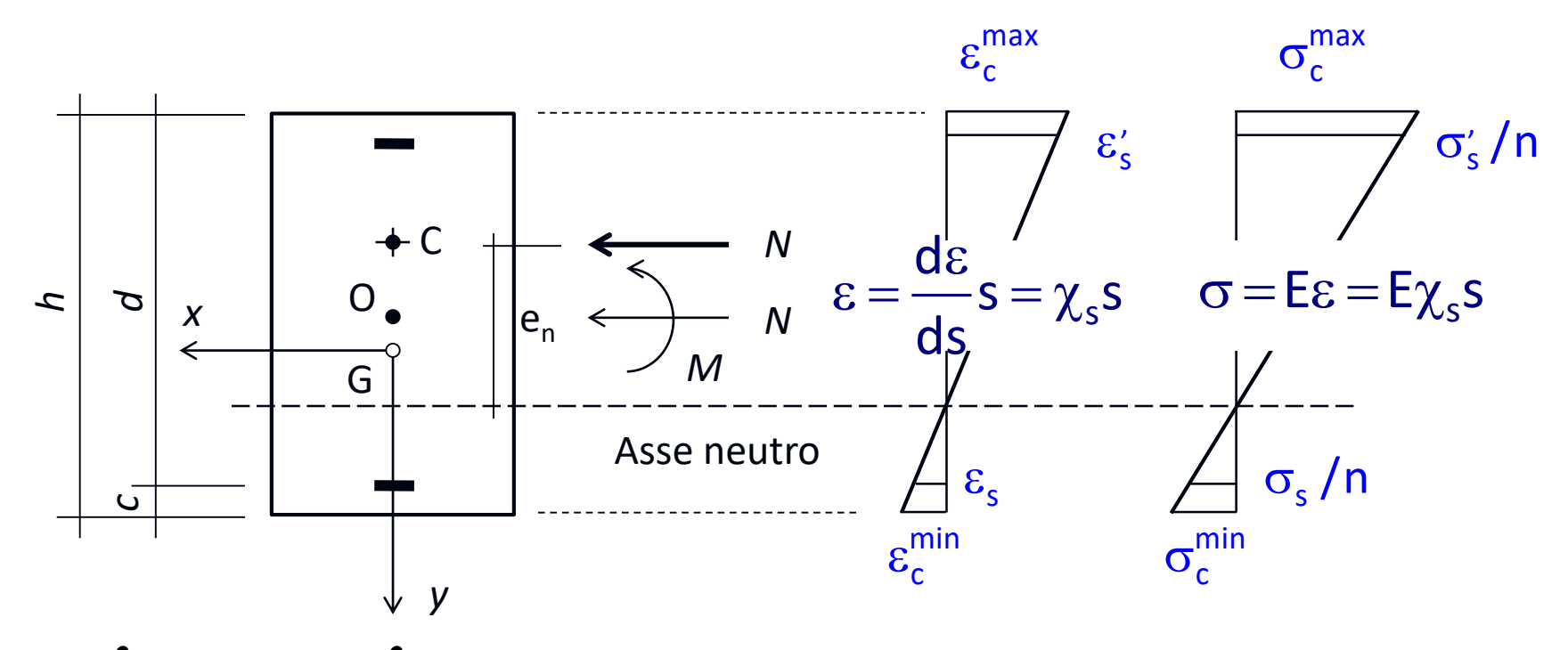
Il punto di applicazione dello sforzo normale eccentrico è detto

CENTRO DI SOLLECITAZIONE

1° stadio (Calcolo delle tensioni)

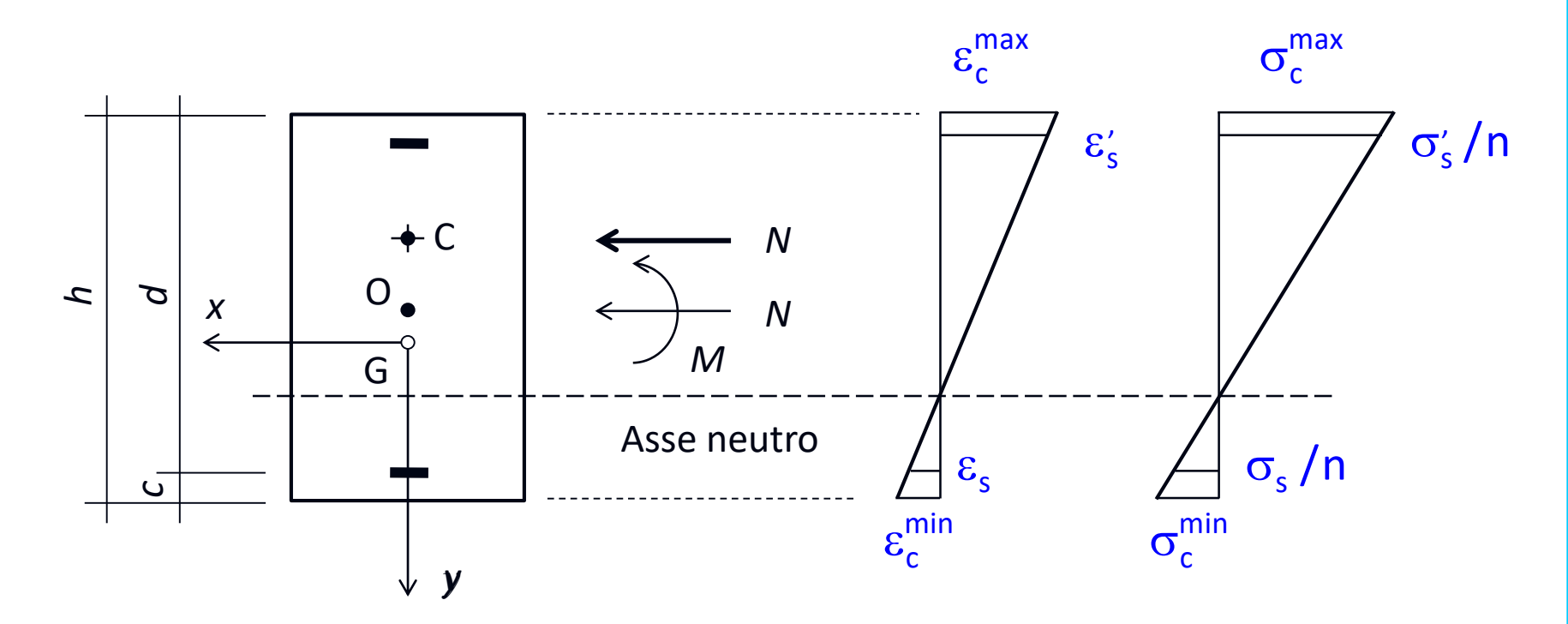


1° stadio (Calcolo delle tensioni)



$$\begin{split} N &= \int \sigma \, dA = E \chi_s \int s \, dA = \\ M_n &= N e_n = \int \sigma \, s \, dA = E \chi_s \int s^2 dA = E \chi_s I_n \end{split} \qquad \Rightarrow \qquad \sigma = \frac{N}{S_n} S_n = \int \sigma \, n \, dA = E \chi_s \int s \, n \, dA = 0 \end{split}$$

1° stadio



Dati:

Geometria della sezione Armature Coppia M-N Incognite:

Tensioni massime

1° stadio

Se il centro di sollecitazione C è:

sul contorno del nocciolo d'inerzia

 \Rightarrow

l'asse neutro è tangente alla sezione

interno al nocciolo d'inerzia



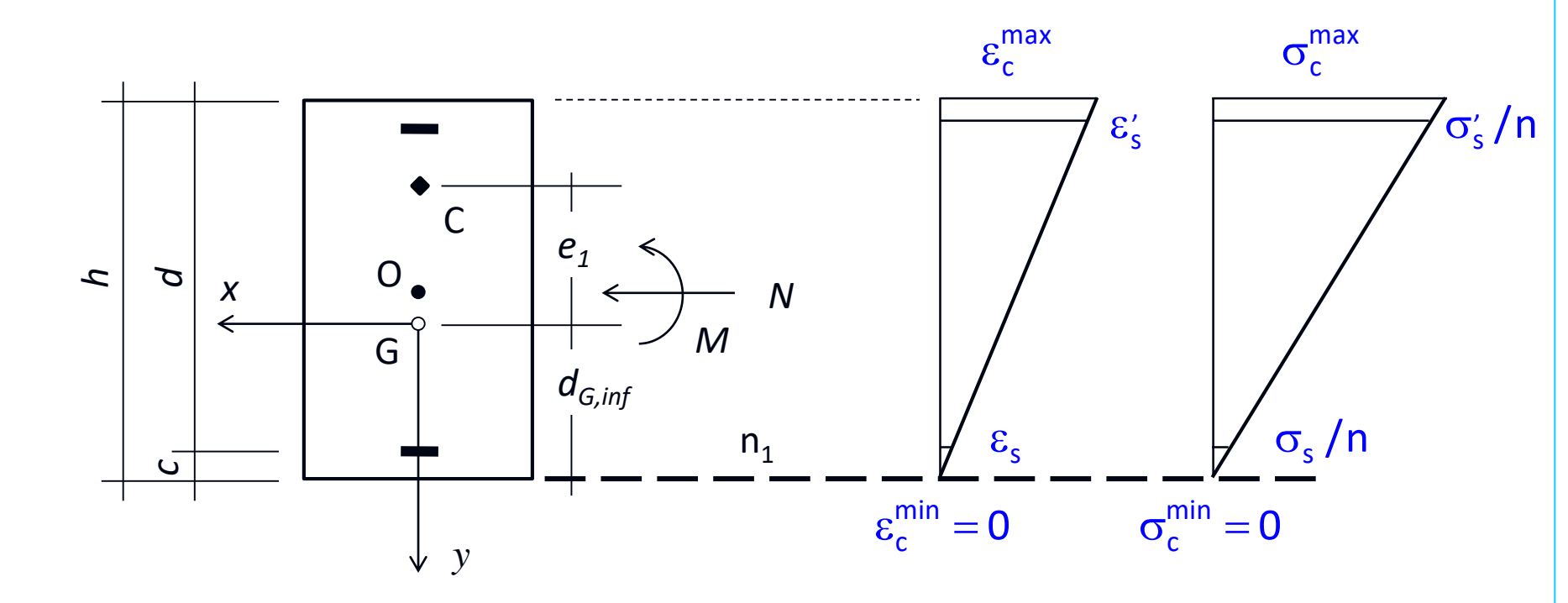
l'asse neutro è esterno alla sezione

esterno al nocciolo d'inerzia



l'asse neutro è interno alla sezione

Estremi del nocciolo d'inerzia



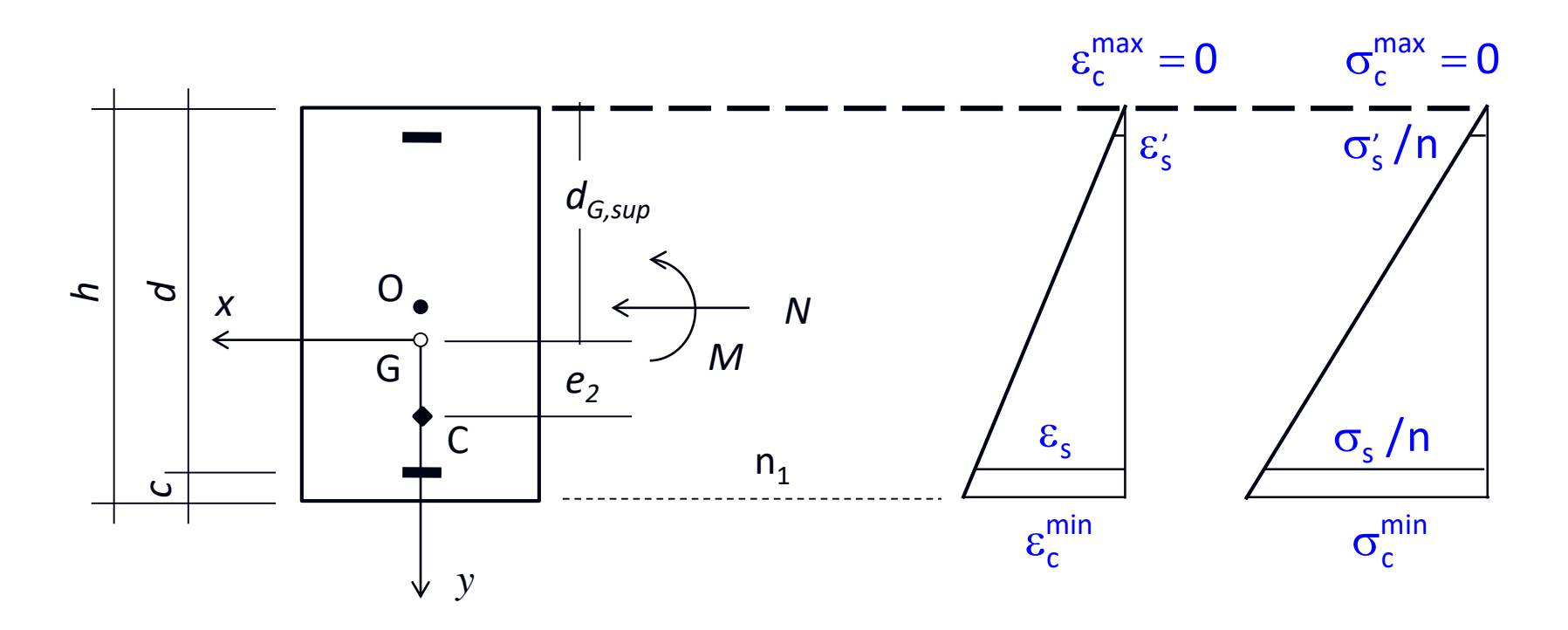
$$\sigma_c^{min} = \frac{N}{A} + \frac{-Ne_1}{I_x} d_{G,inf} = 0$$

$$\Box$$

$$e_1 = \frac{I_X}{A d_{G,inf}}$$

 $(e_1 e d_{G,inf} sono in valore assoluto)$

Estremi del nocciolo d'inerzia

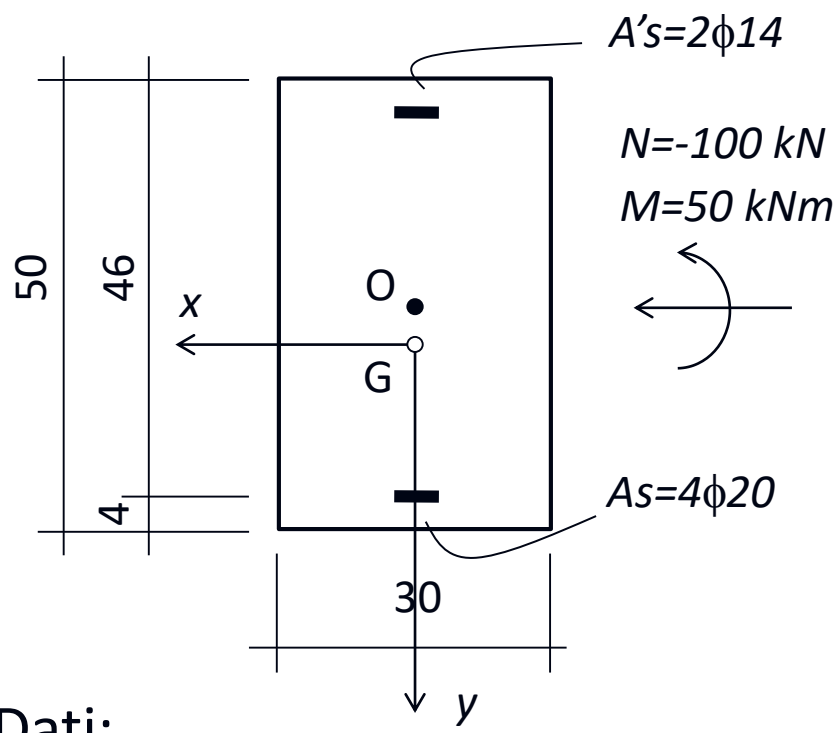


$$\sigma_c^{\text{max}} = \frac{N}{A} + \frac{Ne_2}{I_x} \left(-d_{G,\text{sup}} \right) = 0$$

$$e_2 = \frac{I_x}{A d_{G,sup}}$$

 $(e_2 e d_{G,sup} sono in valore assoluto)$

1° stadio



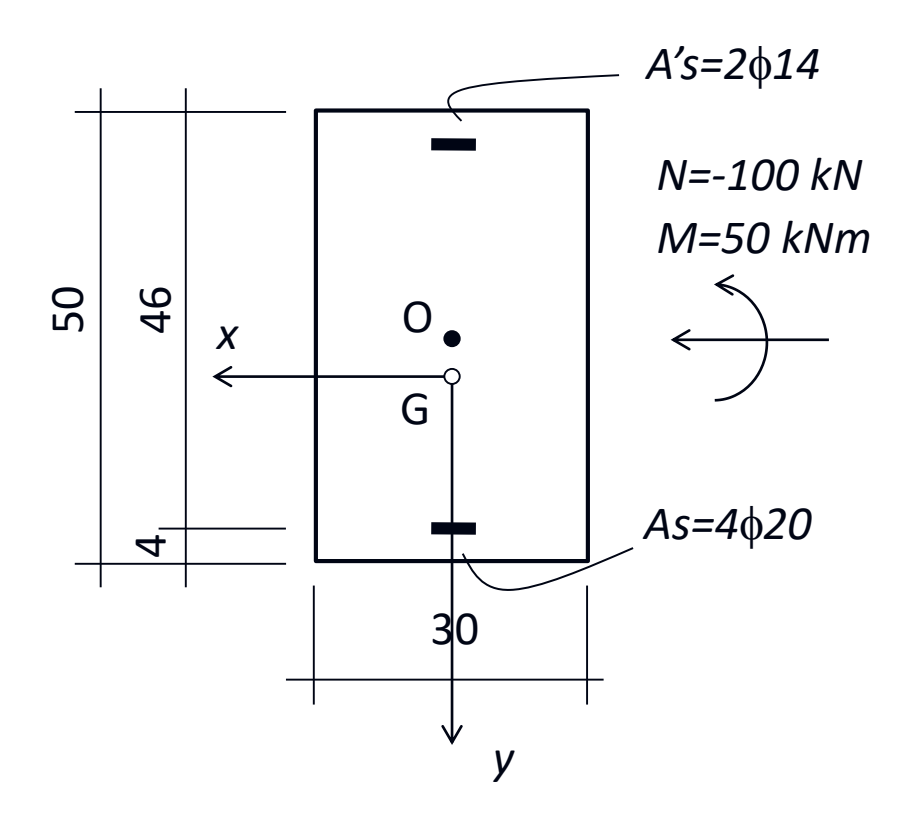
Dati:

Geometria della sezione Armature Coppia M-N

Incognite:

Tensioni massime

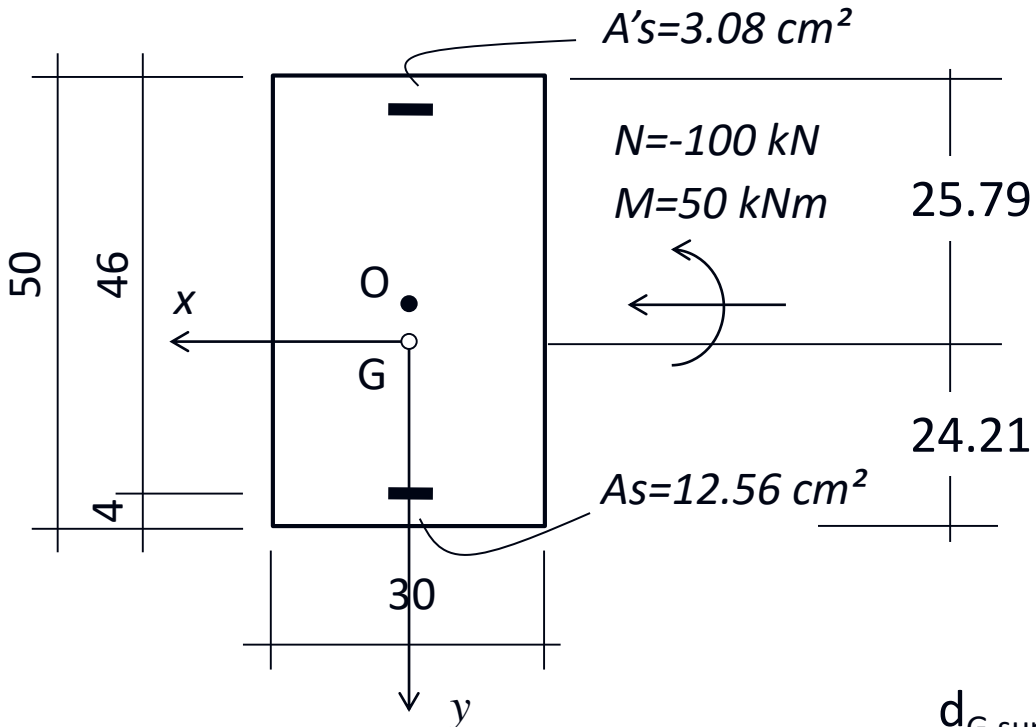
1° stadio



Procedura:

- **1.** Individuazione dell'asse neutro
- **2.** Determinazione del momento d'inerzia
- **3.** Calcolo delle tensioni

1° stadio



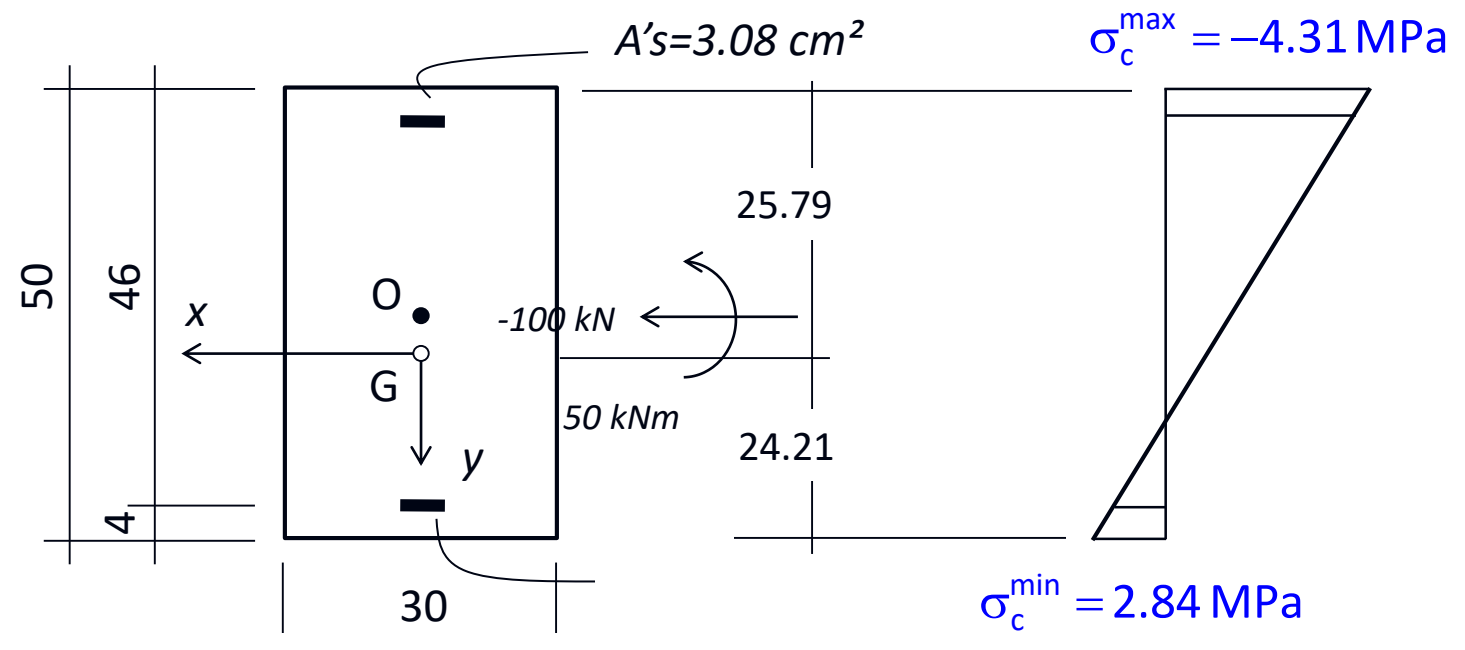
Come già mostrato con riferimento alla flessione semplice:

$$d_{G,sup} = S/A = 25.79 \text{ cm}$$

 $d_{G,inf} = h-d_{G,sup} = 24.21 \text{ cm}$

$$I = 355298 \text{ cm}^4$$

1° stadio



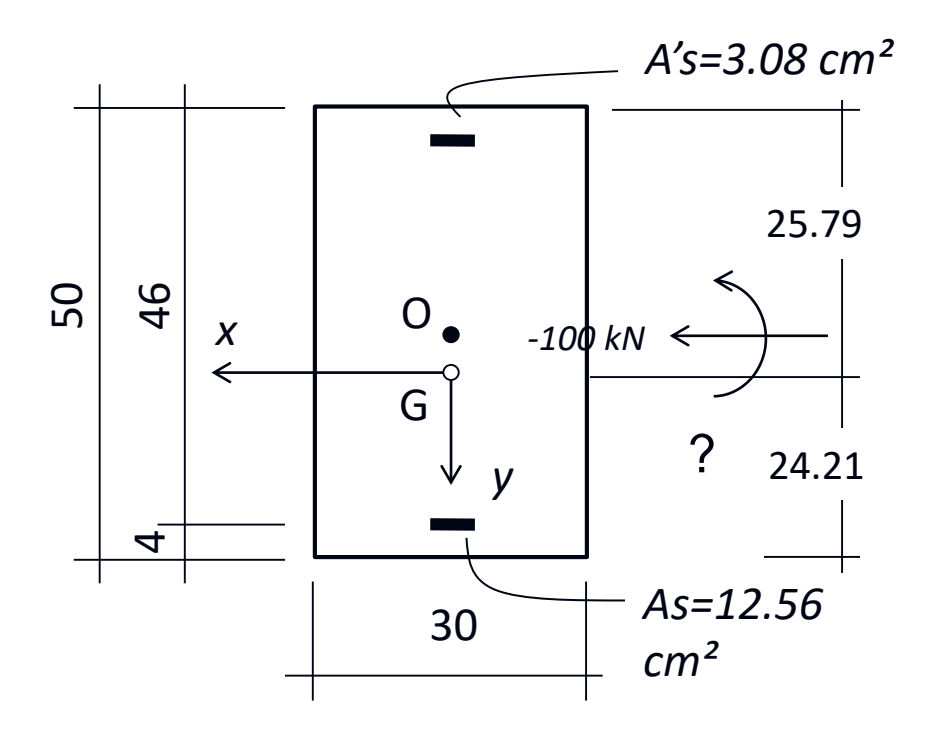
Attenzione: nel libro è stato trascurato il momento flettente generato

$$\sigma_{\rm c,inf} = \frac{-100 \cdot 10^3}{1599.3 \cdot 10^2} + \frac{50.79 \cdot 10^6}{355298 \cdot 10^4} \\ 24.21 \cdot 10 = 2.84 \, {\rm MPa} \\ -100 \cdot 10^3 \\ 50.79 \cdot 10^6 \\ La \ sezione \ \grave{e}$$

 $\sigma_{c,sup} = \frac{-100 \cdot 10^3}{1599.3 \cdot 10^2} + \frac{50.79 \cdot 10^6}{355298 \cdot 10^4} (-25.79 \cdot 10) = -4.31 \, \text{MPa}$

La sezione è fessurata

1° stadio



Calcolo del momento di prima fessurazione

$$\sigma_{c} = \frac{N}{A} + \frac{M_{x}}{I_{x}} d_{G,inf} = f_{cfk}$$

con

$$f_{\rm cfk}$$
 = 2.16 MPa

$$M_f = \left(f_{cfk} - \frac{N}{A}\right) \frac{I}{d_{G,inf}} = \left(2.16 - \frac{-100 \cdot 10^3}{1599.3 \cdot 10^2}\right) \frac{355298 \cdot 10^2}{24.21 \cdot 10} 10^{-6} = 40.9 \text{ kNm}$$

2° stadio

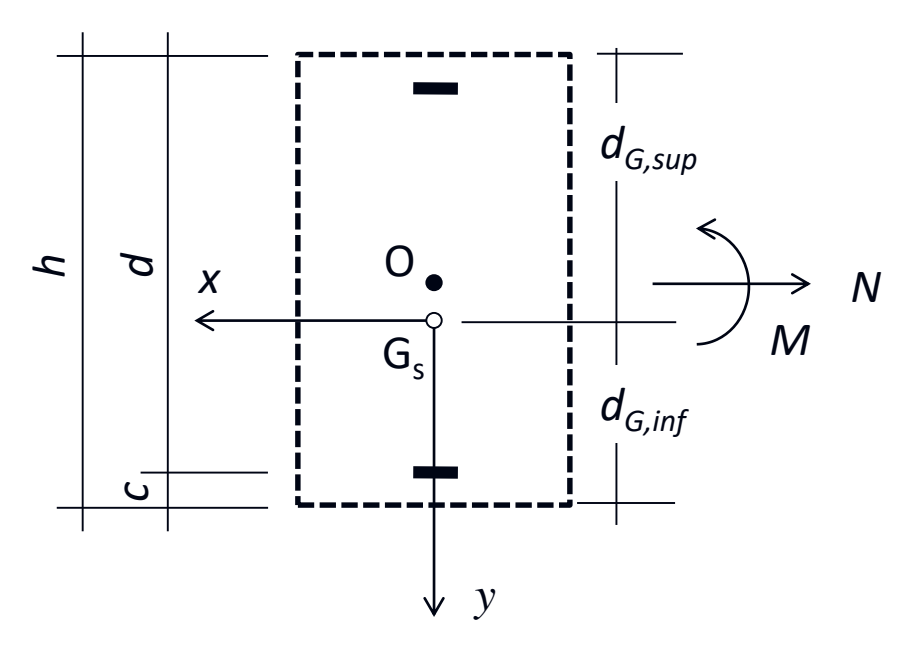
Nel secondo stadio di comportamento NON è nota la sezione reagente.

Le formule per il calcolo della coppia N-M resistente sono diverse a seconda che la sezione reagente sia costituita da sole armature, solo calcestruzzo oppure da armature e calcestruzzo.

Per tale motivo saranno separatamente considerati i casi :

- Sforzo normale di trazione interno al nocciolo centrale d'inerzia
- Sforzo normale di compressione interno al nocciolo centrale d'inerzia
- Casi rimanenti

2° stadio (Sforzo normale di trazione interno al nocciolo)



1° caso: sforzo normale di trazione interno al nocciolo centrale delle sole armature.

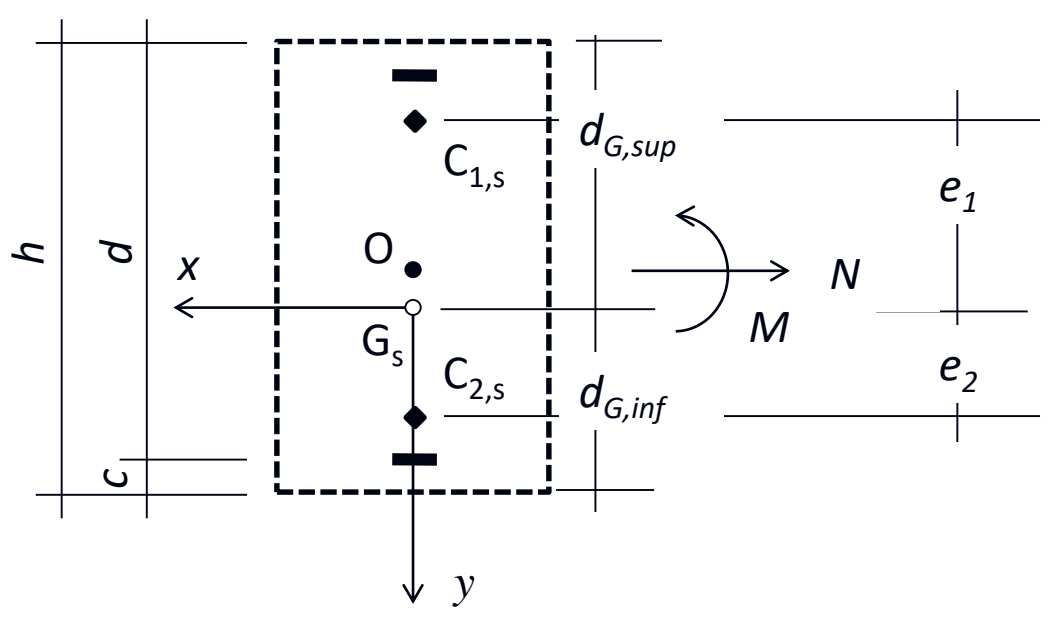
Nota In tale caso, solo le armature reagiscono

$$d_{G,sup} = \frac{S}{A} = \frac{A_s d + A_s' c}{A_s + A_s'}$$

$$d_{G,inf} = h - d_{G,sup}$$

$$I_{x} = \frac{A_{s} A_{s}'}{A_{s} + A_{s}'} (d-c)^{2}$$

2° stadio (Sforzo normale di trazione interno al nocciolo)



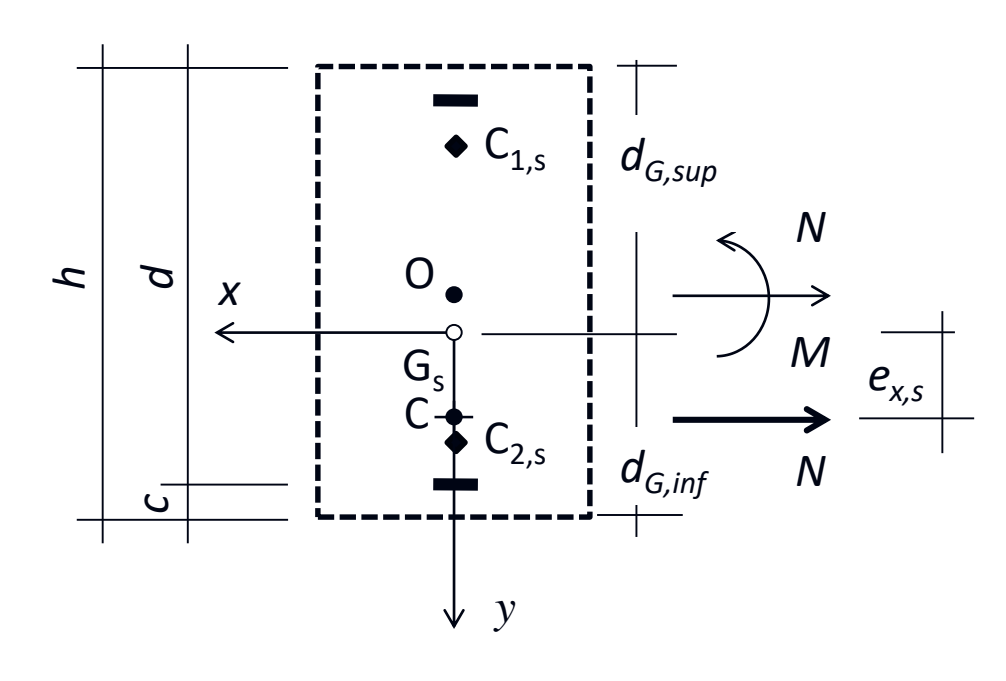
Nota: gli estremi del nocciolo centrale d`inerzia delle sole armature non coincidono con le posizioni delle armature

$$e_1 = \frac{I_x}{A d_{G,inf}} = \frac{A_s A_s'}{A_s + A_s'} \frac{(d-c)^2}{A_s c + A_s' d}$$

$$e_2 = \frac{I_x}{A d_{G,sup}} = \frac{A_s A_s}{A_s + A_s} \frac{(d-c)^2}{A_s d + A_s c}$$

se
$$A_s = A'_s ...$$
 $e_1 = e_2 = \frac{(d-c)^2}{2h}$

2° stadio (Sforzo normale di trazione interno al nocciolo)



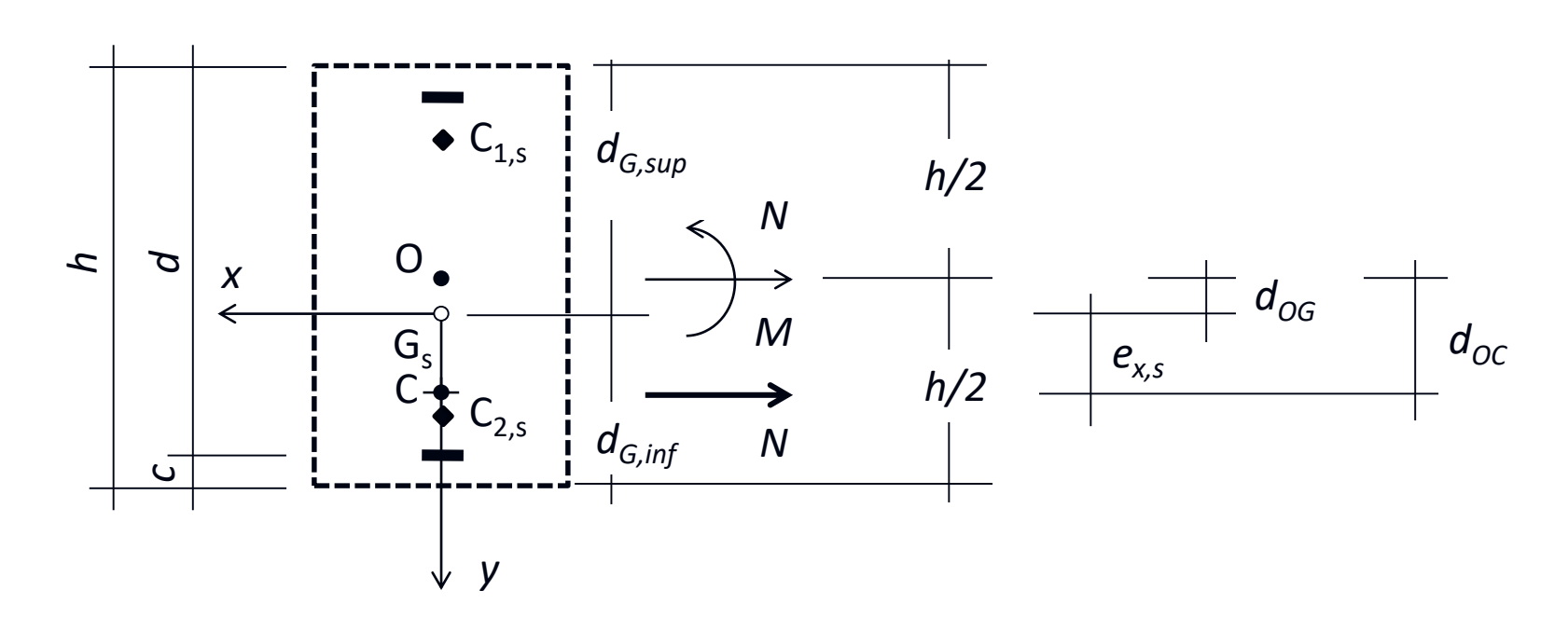
$$\sigma_{s} = \frac{N}{A} + \frac{N e_{x,s}}{I_{x}} y$$

Attenzione!

Quando si applica il principio di sovrapposizione degli effetti, questi devono essere calcolati con riferimento ad una stessa sezione resistente.

Nel caso in esame, sia le tensioni provocate dallo sforzo normale che quelle causate dal momento flettente devono essere calcolate sulla sezione costituita dalle sole armature !!

2° stadio (Sforzo normale di trazione interno al nocciolo)

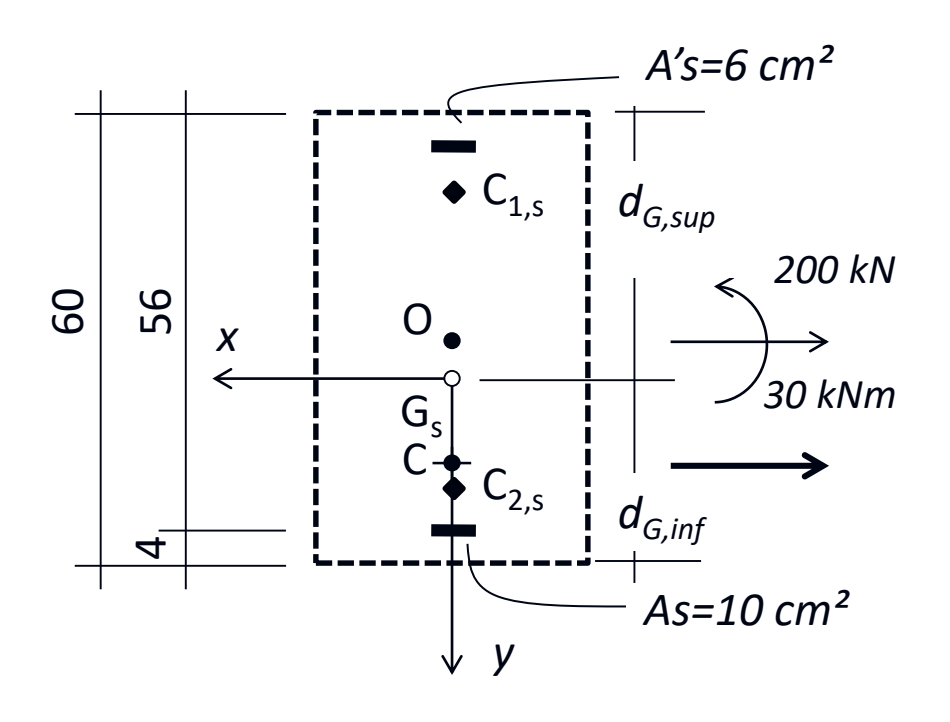


$$\sigma_s = \frac{N}{A} + \frac{N e_{x,s}}{I_x} y$$

dove
$$e_{x,s} = \frac{M_x}{N} - \left(\frac{h}{2} - d_{G,inf}\right)$$

Il momento flettente va calcolato rispetto al baricentro della sezione resistente!!

2° stadio (Sforzo normale di trazione interno al nocciolo)



$$A = (10+6) 10^{-4} = 0.0016 \text{ m}^2$$

$$S = 10 \cdot 10^{-4} \, 0.56 + 6 \cdot 10^{-4} \, 0.04$$
$$= 0.000584 \, \text{m}^3$$

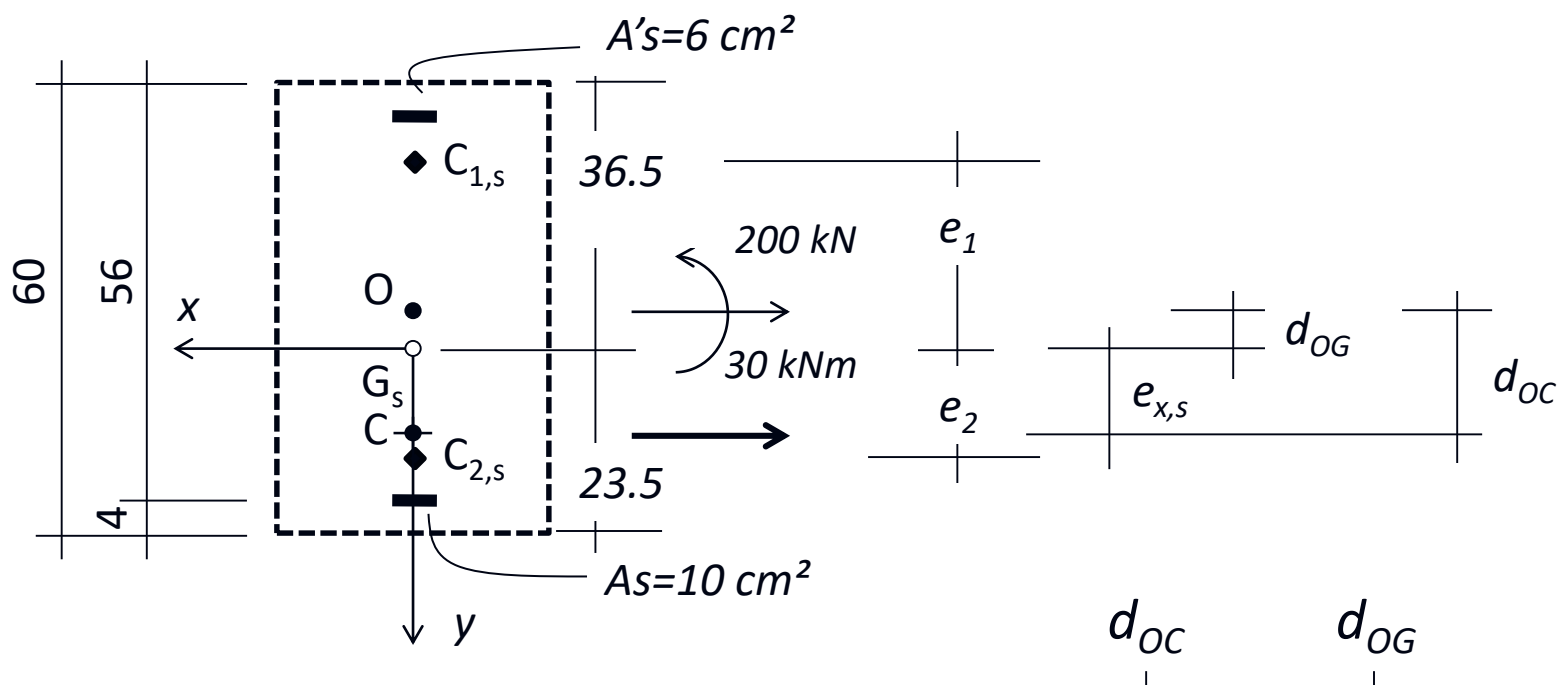
$$d_{G,sup} = \frac{0.000584}{0.0016} = 0.365m$$

$$d_{G,inf} = 0.6 - 0.365 = 0.235m$$

Il momento d'inerzia vale :

$$I = 10 \cdot 10^{-4} (0.235 - 0.04)^2 + 6 \cdot 10^{-4} (0.365 - 0.04)^2 = 0.0001014 \text{ m}^4$$

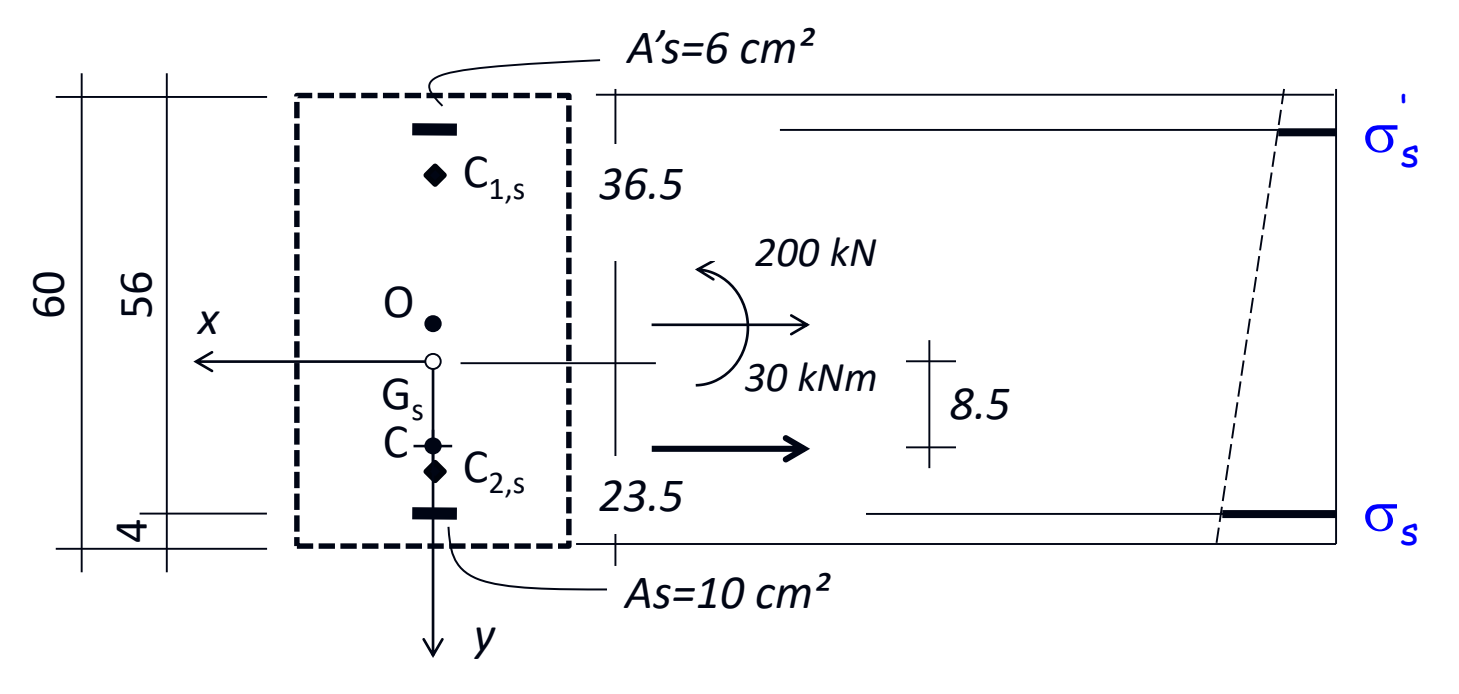
2° stadio (Sforzo normale di trazione interno al nocciolo)



$$e_1 = \frac{I_x}{A d_{G,inf}} = \frac{0.0001014}{0.0016 \cdot 0.235} = 0.2697 \,\text{m}$$

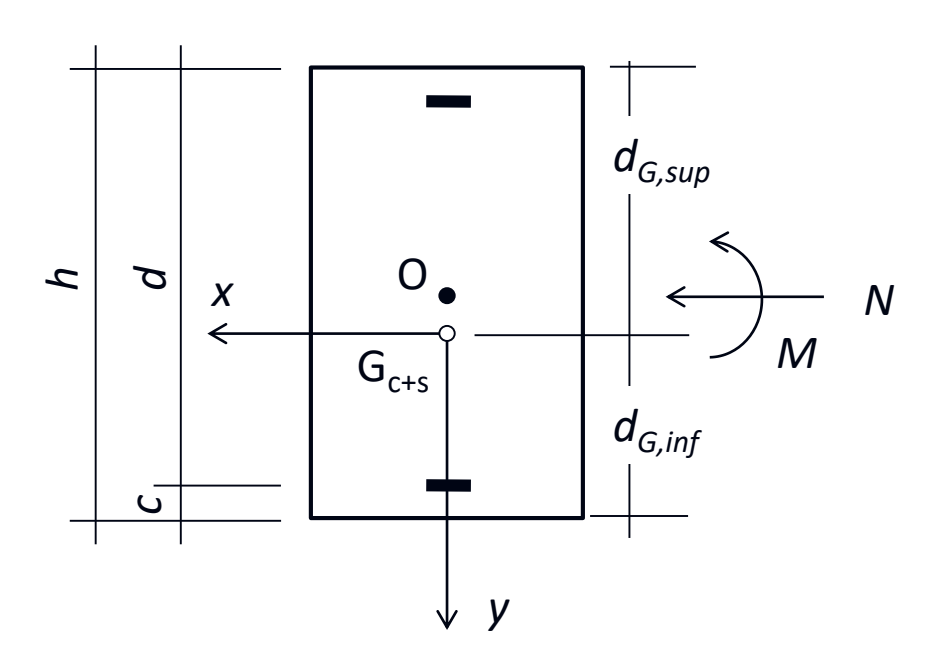
$$e_2 = \frac{I_x}{A d_{6 \text{ sup}}} = \frac{0.0001014}{0.0016 \cdot 0.365} = 0.1736 \text{ m}$$

2° stadio (Sforzo normale di trazione interno al nocciolo)



$$\begin{split} \sigma_s &= \frac{200 \cdot 10^3}{0.0016 \cdot 10^6} + \frac{200 \cdot 10^3 \cdot 0.0085 \cdot 10^3}{0.0001014 \cdot 10^{12}} (0.235 - 0.04) 10^3 = 157.7 \, \text{MPa} \\ \sigma_s' &= \frac{200 \cdot 10^3}{0.0016 \cdot 10^6} - \frac{200 \cdot 10^3 \cdot 0.0085 \cdot 10^3}{0.0001014 \cdot 10^{12}} (0.365 - 0.04) 10^3 = 70.5 \, \text{MPa} \end{split}$$

2° stadio (Sforzo normale di compress. interno al nocciolo)



2° caso: sforzo normale di compressione interno al nocciolo centrale del calcestruzzo più armature.

Nota! In tale caso, reagiscono sia le armature che il calcestruzzo (tutto)

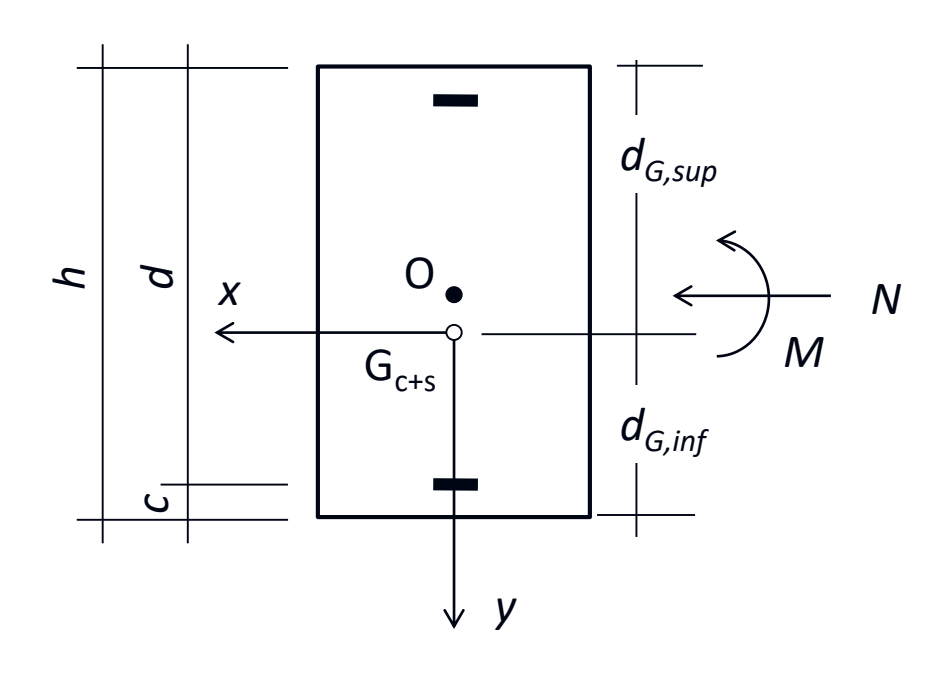
$$A = b \cdot h + n(A_s + A_s')$$

$$S = \frac{b \cdot h^2}{2} + n(A_s d + A_s'c)$$
quindi

$$d_{G,sup} = S/A$$

$$d_{G,inf} = h - d_{G,sup}$$

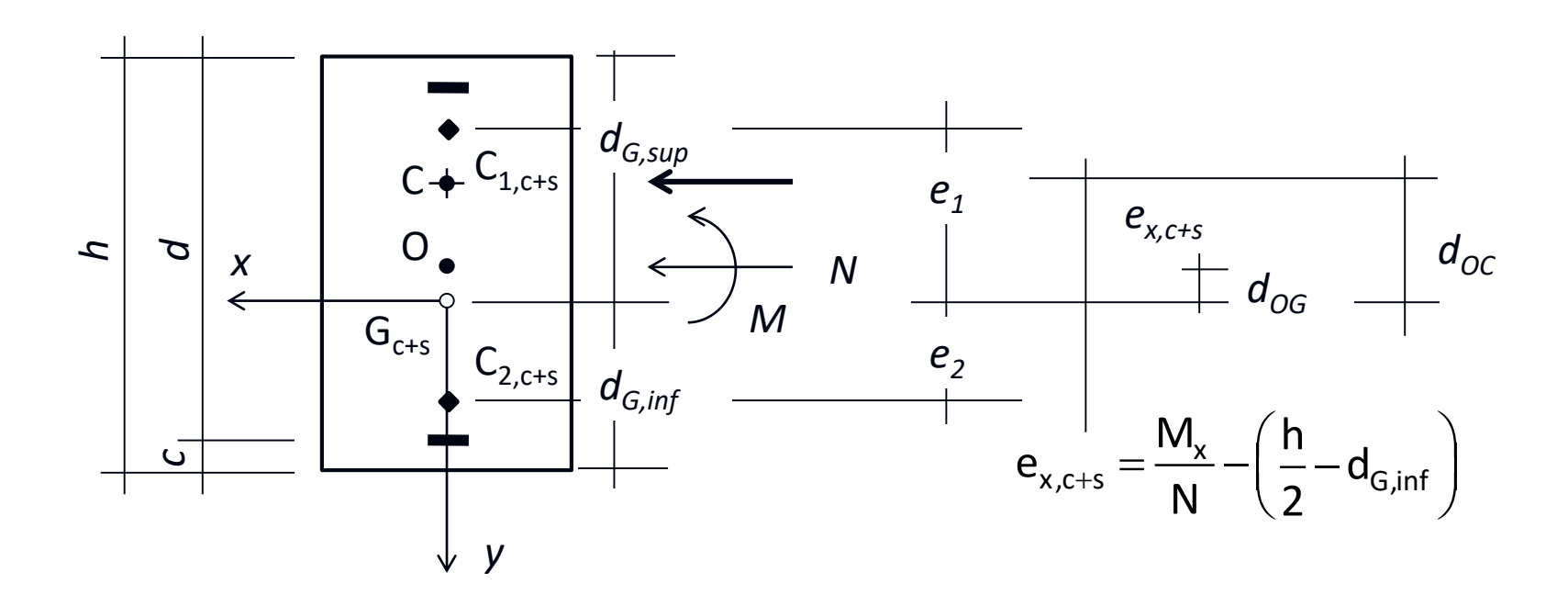
2° stadio (Sforzo normale di compress. interno al nocciolo)



2° caso: sforzo normale di compressione interno al nocciolo centrale del calcestruzzo più armature.

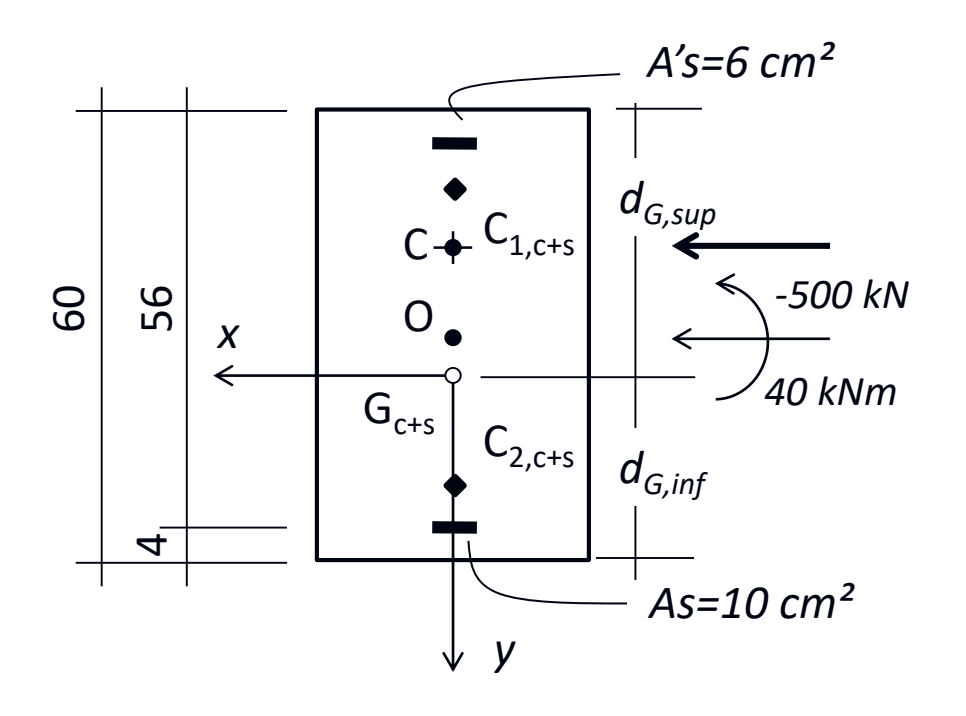
$$I_{x} = b \cdot h \left(d_{G,sup} - \frac{h}{2} \right)^{2} + \frac{bh^{3}}{12} + nA_{s} \left(d_{G,inf} - c \right)^{2} + nA_{s}^{'} \left(d_{G,sup} - c \right)^{2}$$

2° stadio (Sforzo normale di compress. interno al nocciolo)



$$e_1 = \frac{I_x}{A d_{G,inf}}$$
 $e_2 = \frac{I_x}{A d_{G,sup}}$ $e_{...}$ $\sigma_c = \frac{N}{A} + \frac{N e_{x,c+s}}{I_x}$

2° stadio (Sforzo normale di compress. interno al nocciolo)



$$A = 0.3 \cdot 0.6 + 15 \cdot (10+6) \cdot 10^{-4}$$
$$= 0.204 \text{ m}^2$$

$$S = \frac{0.30 \cdot 0.60^{2}}{2} + 15(10 \cdot 10^{-4} \cdot 0.56)$$
$$+6 \cdot 10^{-4} \cdot 0.04) = 0.06276 \text{ m}^{3}$$

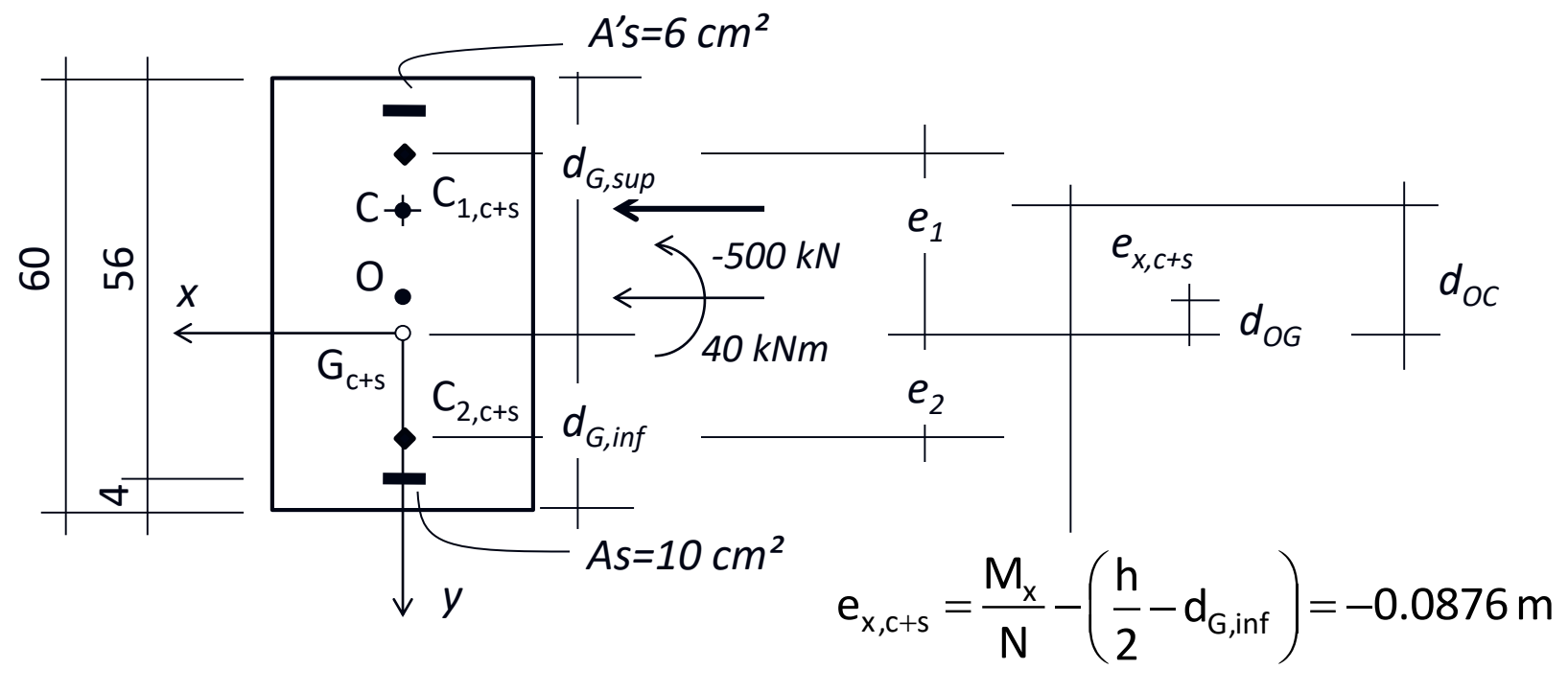
$$d_{G,sup} = \frac{0.06276}{0.204} = 0.3076 m$$

$$d_{G,inf} = 0.6 - 0.3076 = 0.2924 m$$

Il momento d'inerzia vale:

$$I = 0.30 \cdot 0.60 \cdot (0.3076 - 0.30)^{2} + \frac{0.30 \cdot 0.60^{3}}{12} + 15(....) = 0.007010 \,\mathrm{m}^{4}$$

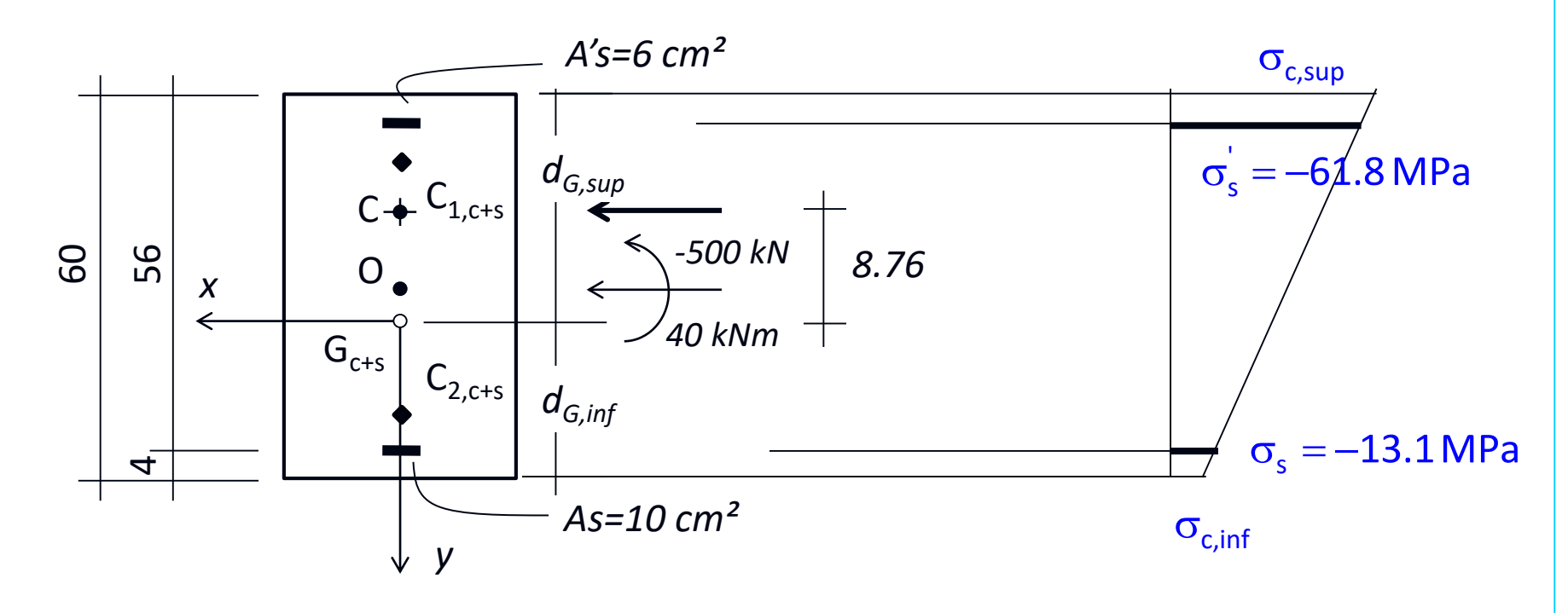
2° stadio (Sforzo normale di compress. interno al nocciolo)



$$e_1 = \frac{0.007010}{0.204 \cdot 0.2924} = 0.1175 m$$

$$e_2 = \frac{0.007010}{0.204 \cdot 0.3076} = 0.1117 m$$

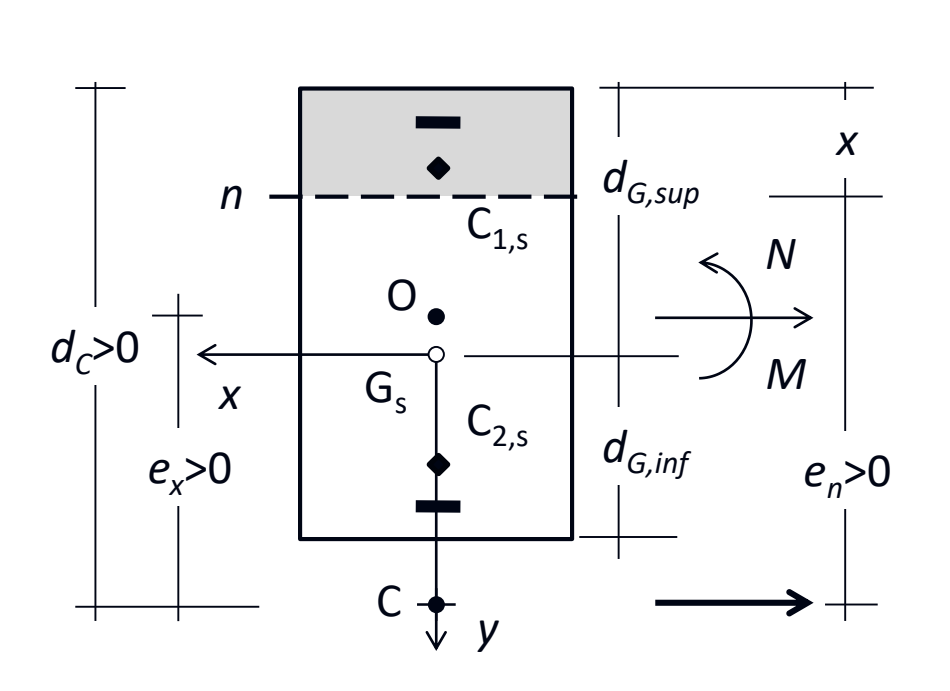
2° stadio (Sforzo normale di compress. interno al nocciolo)

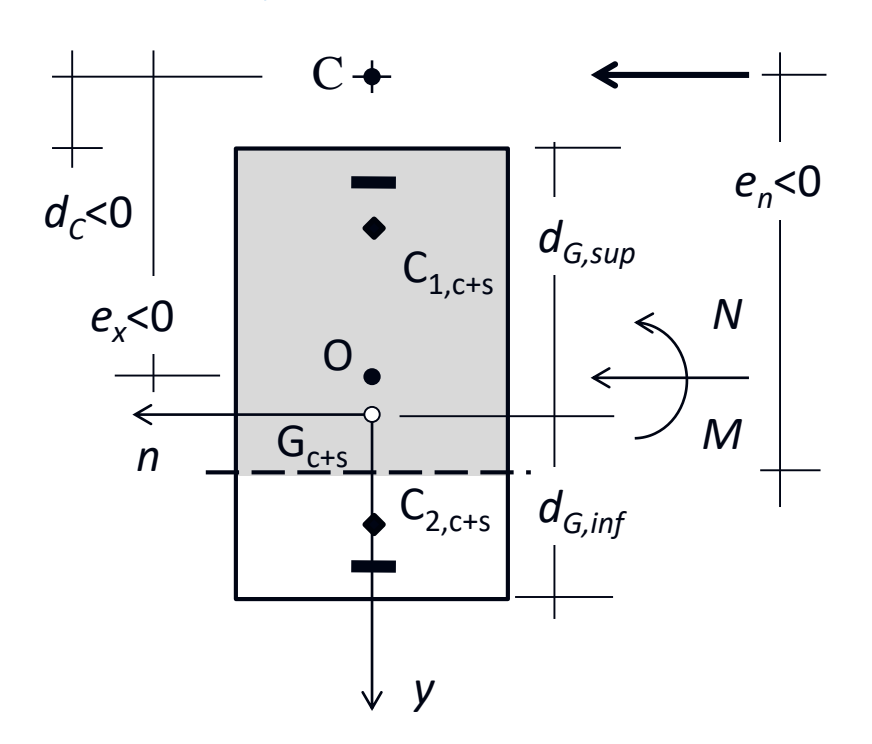


$$\sigma_{c,sup} = \frac{-500 \cdot 10^3}{0.204 \cdot 10^6} + \frac{-500 \cdot 10^3 \left(-0.0876 \cdot 10^3\right)}{0.007010 \cdot 10^{12}} \left(-0.3076 \cdot 10^3\right) = -4.37 \, \text{MPa}$$

$$\sigma_{c,inf} = \frac{-500 \cdot 10^3}{0.204 \cdot 10^6} + \frac{-500 \cdot 10^3 \left(-0.0876 \cdot 10^3\right)}{0.007010 \cdot 10^{12}} \left(0.2924 \cdot 10^3\right) = -0.62 \, \text{MPa}$$

2° stadio (Sforzo normale esterno al nocciolo)

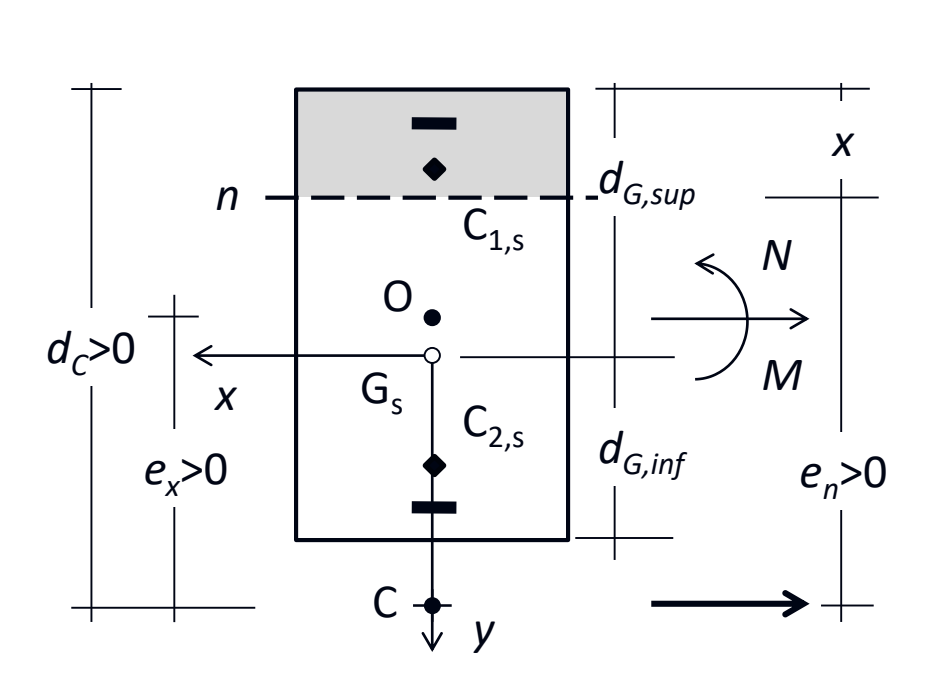


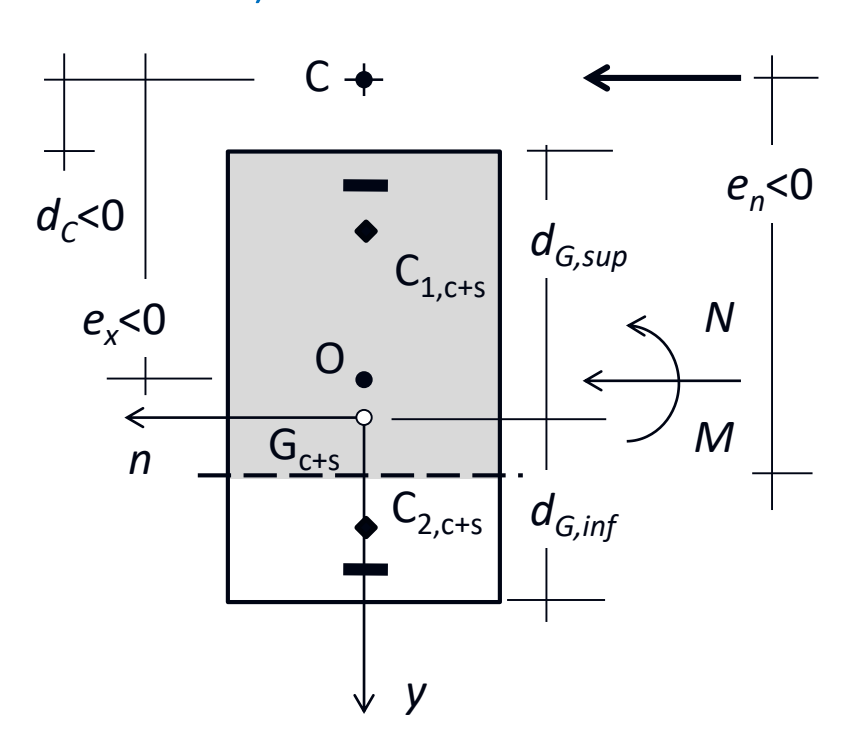


3° caso: sforzo normale di trazione esterno al nocciolo centrale delle sole armature.

4° caso: sforzo normale di compressione esterno al nocciolo centrale del calcestruzzo più armature.

2° stadio (Sforzo normale esterno al nocciolo)





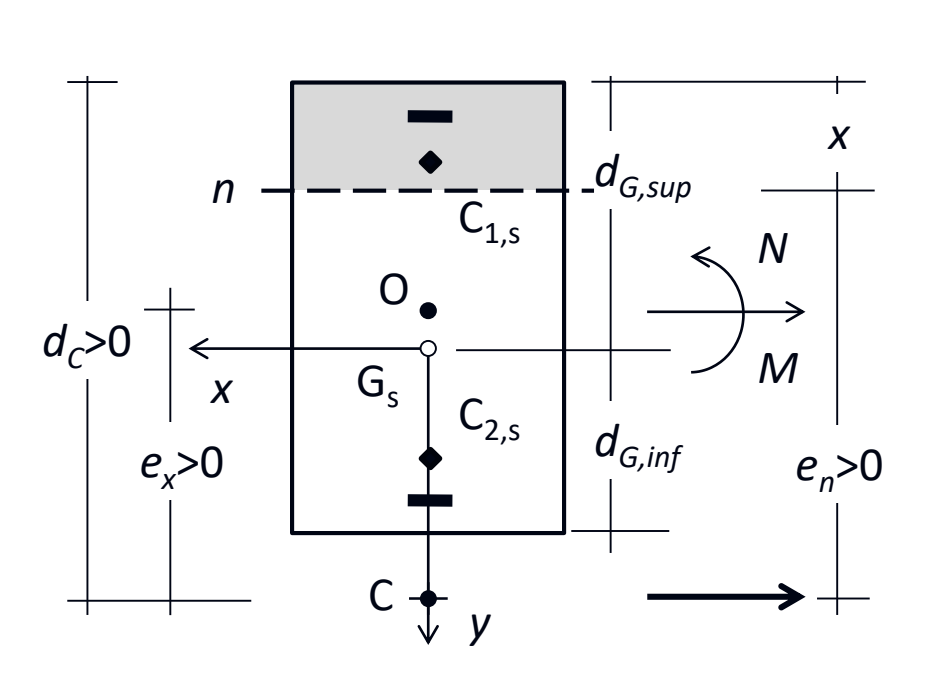
distanza del centro di sollecitazione C dall'asse neutro

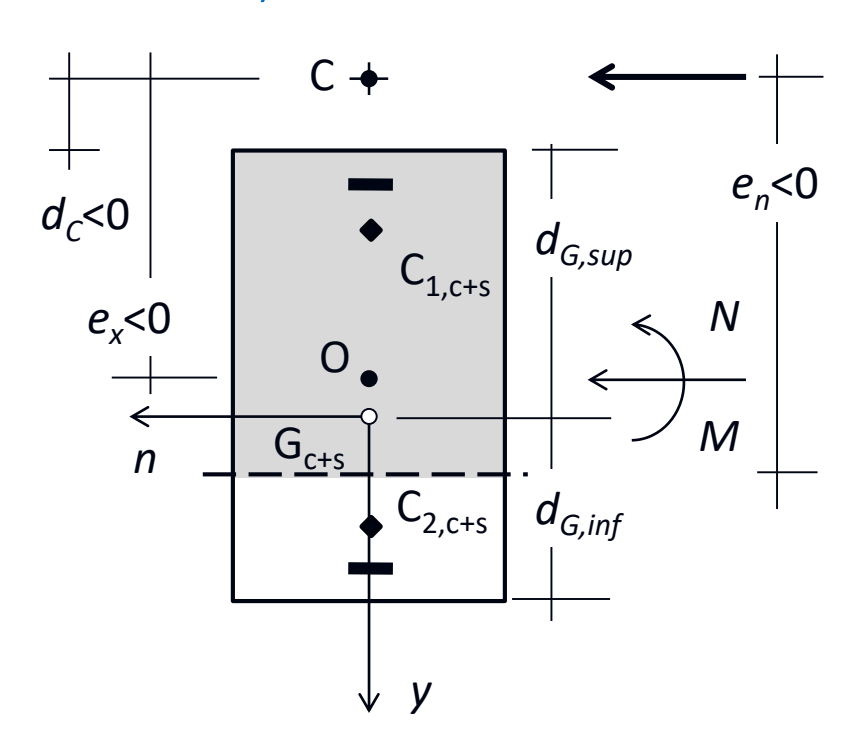
$$e_n = d_C - x$$

distanza del centro di sollecitazione C dal bordo superiore

$$d_c = e_x + \frac{h}{2}$$

2° stadio (Sforzo normale esterno al nocciolo)



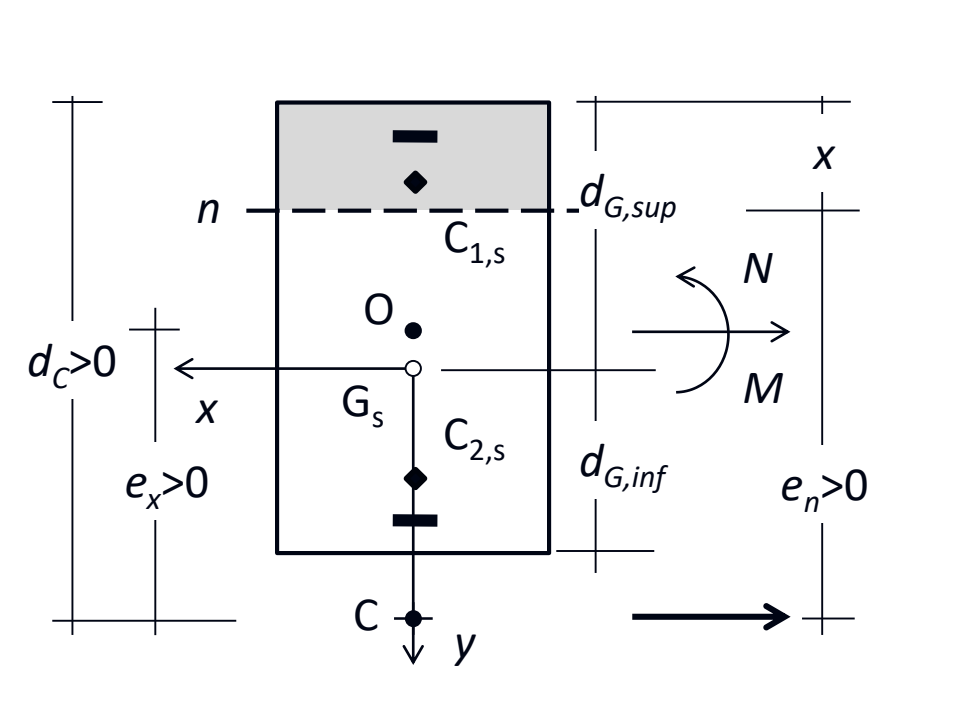


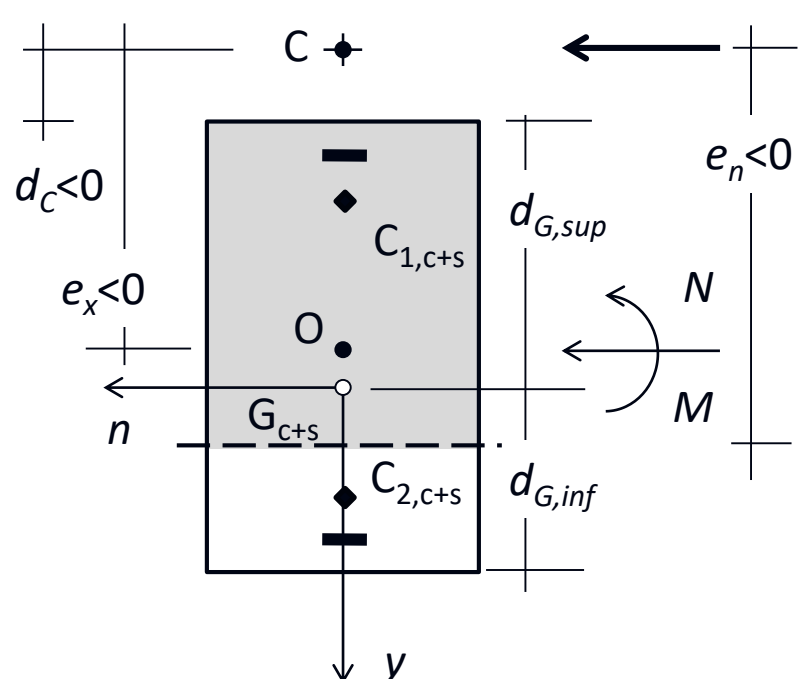
1. Determinazione dell'asse neutro

$$S_n e_n = I_n$$

oppure
 $S_n (d_C - x) = I_n$

2° stadio (Sforzo normale esterno al nocciolo)





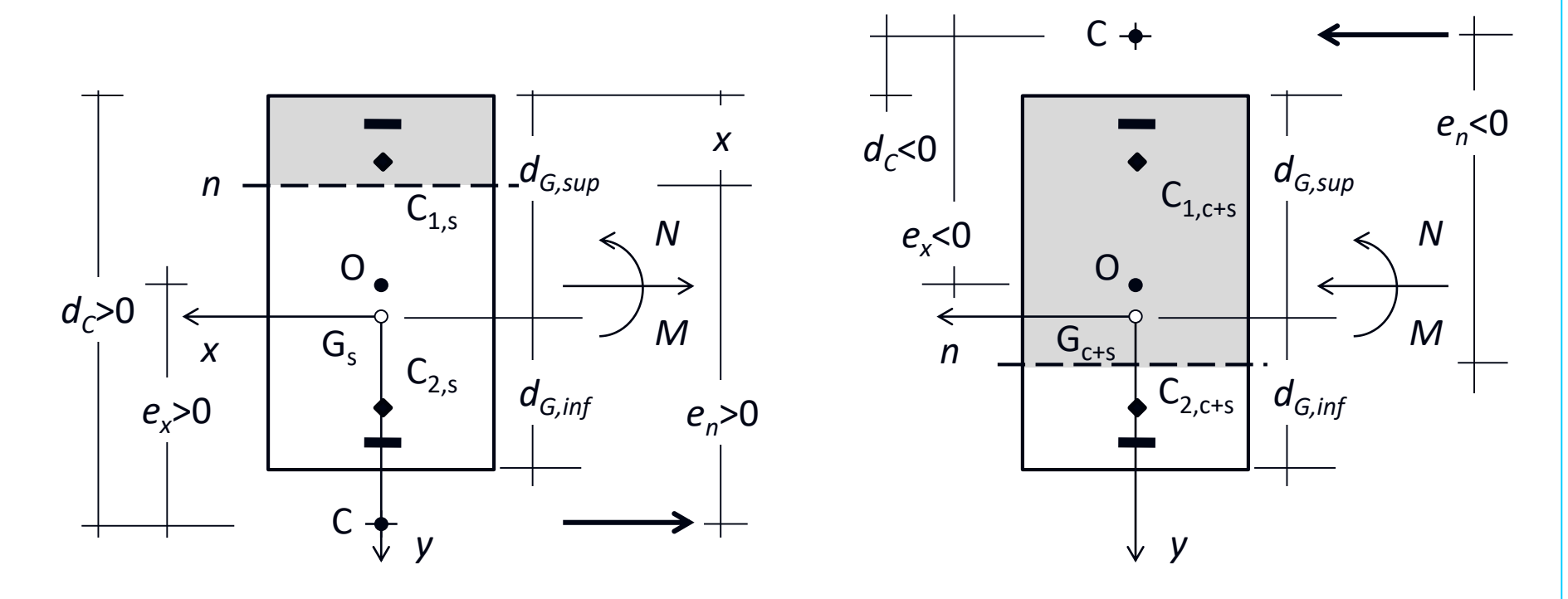
$$S_n = -\frac{bx^2}{2} - nA'_s(x-c) + nA_s(d-x)$$

$$I_{n} = \frac{bx^{3}}{3} + nA'_{s}(x-c)^{2} + nA_{s}(d-x)^{2}$$

da cui ...

Flessione composta

2° stadio (Sforzo normale esterno al nocciolo)

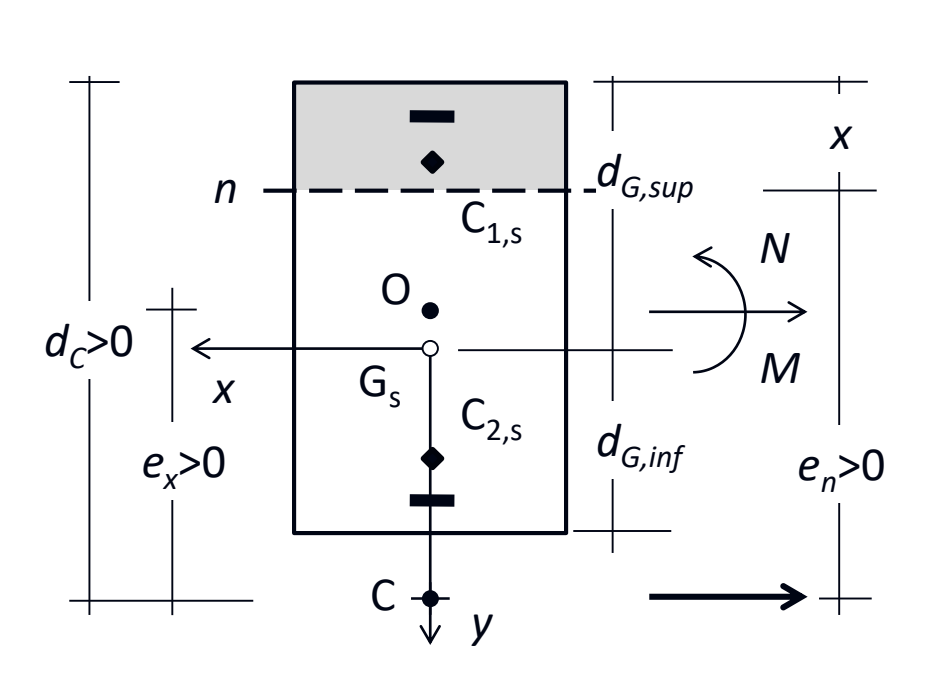


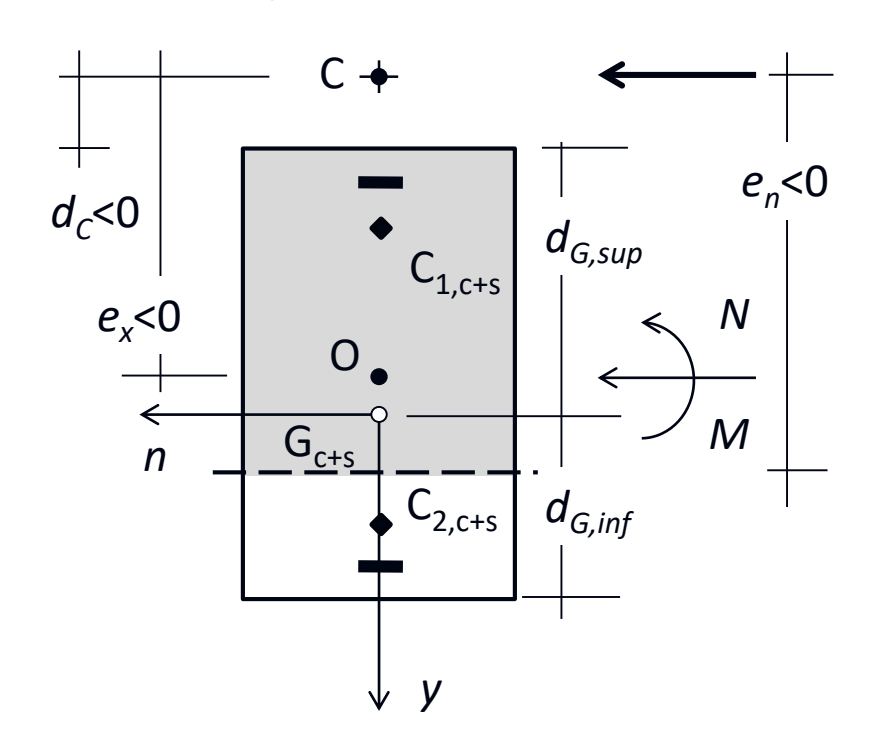
La posizione dell'asse neutro si ottiene dalla risoluzione della seguente equazione di terzo grado

$$x^{3}-3d_{C}x^{2}+\frac{6n}{b}[A_{s}(d-d_{C})+A_{s}'(c-d_{C})]x-\frac{6n}{b}[A_{s}d(d-d_{C})+A_{s}'c(c-d_{C})]=0$$

Flessione composta

2° stadio (Sforzo normale esterno al nocciolo)

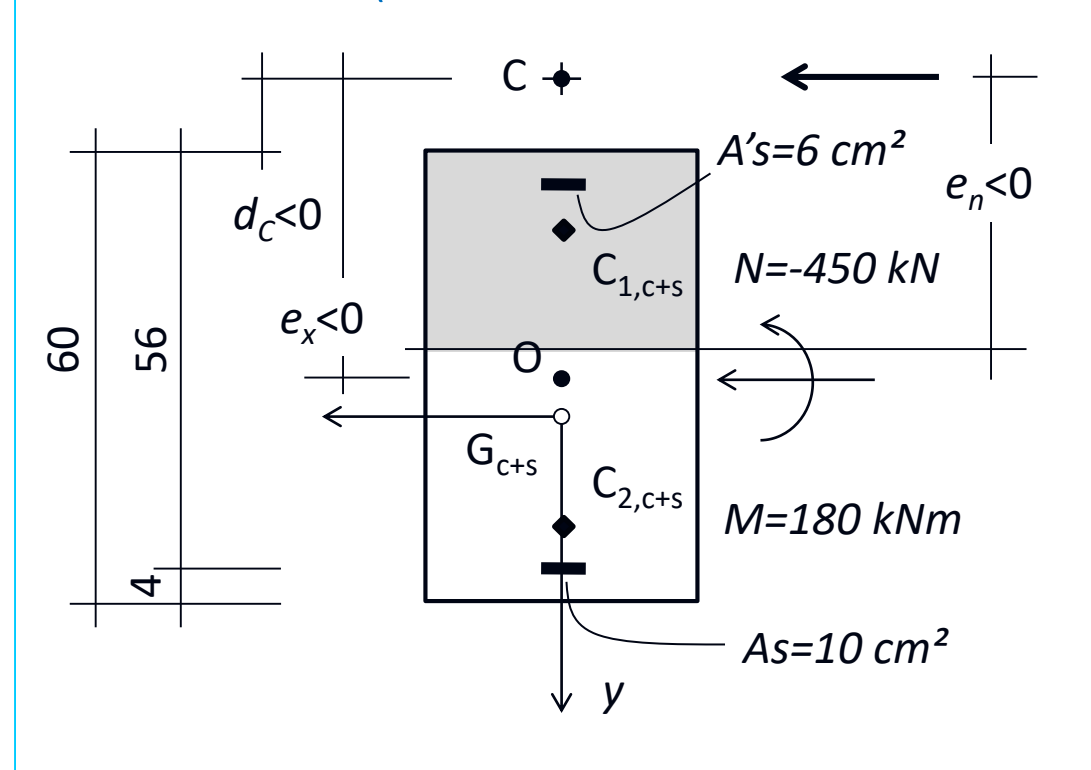




2. Calcolo delle tensioni

$$\sigma_{c} = \frac{N}{S_{n}} s$$
 e $\sigma_{s} = n \frac{N}{S_{n}} s$

2° stadio (Sforzo normale esterno al nocciolo)



$$d_{c} = e_{x} + \frac{h}{2} = \frac{180}{-450} + \frac{0.60}{2} = -0.10 \text{ r}$$

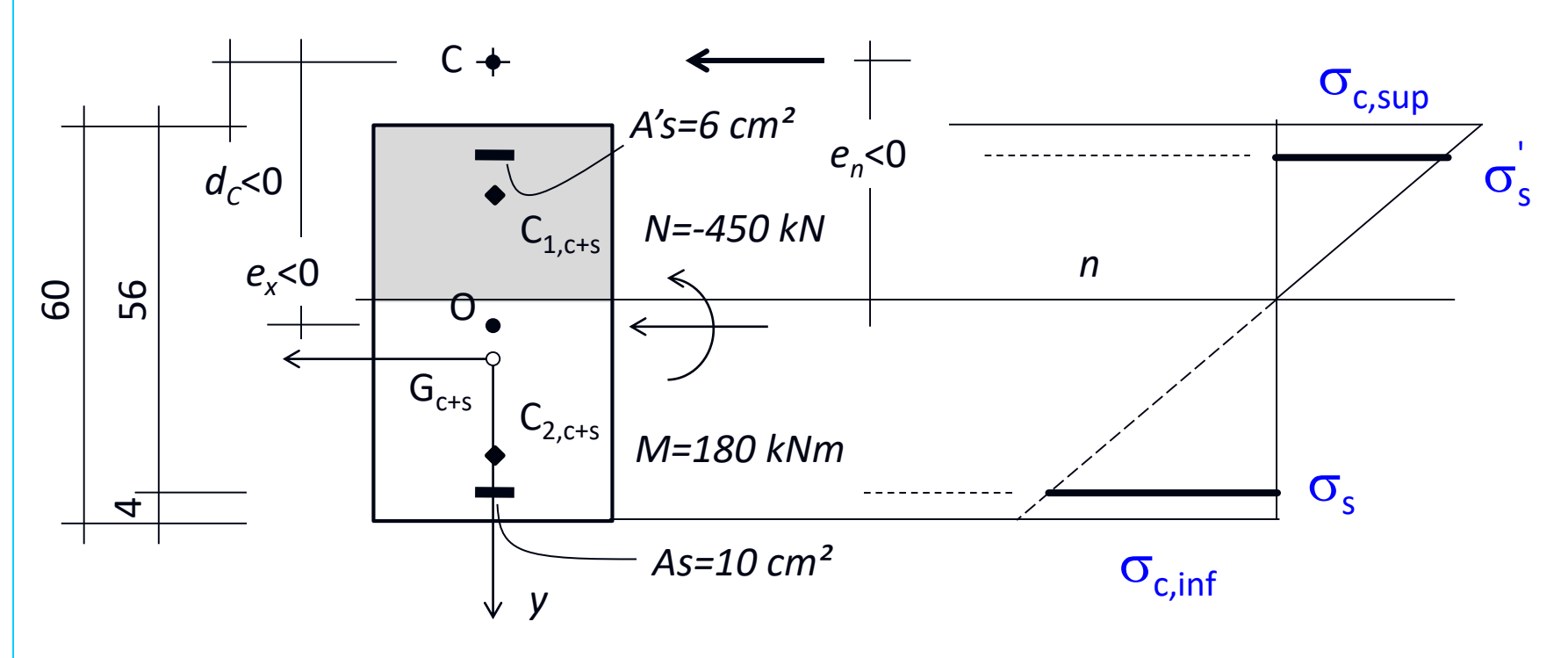
Dalla risoluzione dell'equazione di terzo grado si ha:

$$x = 0.2862 \, \text{m}$$

Ricorda
$$S_n = -\frac{bx^2}{2} - nA'_s(x-c) + nA_s(d-x)$$

$$S_n = \frac{0.30 \cdot 0.2862^2}{2} - 15 \cdot 6 \cdot 10^{-4} \cdot (0.2862 - 0.04) + 15 \cdot 10 \cdot 10^{-4} \cdot (0.56 - 0.2862) = -0.010395 m^3$$

2° stadio (Sforzo normale esterno al nocciolo)

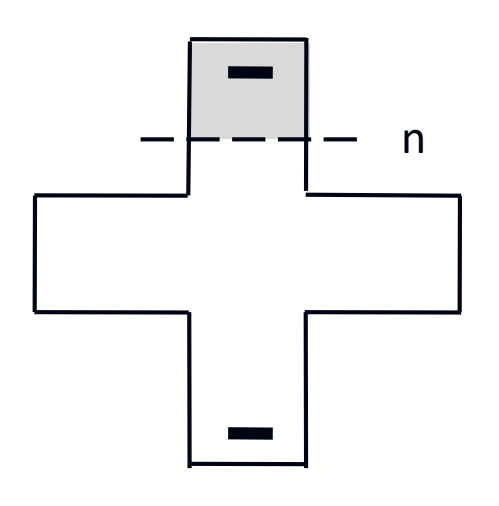


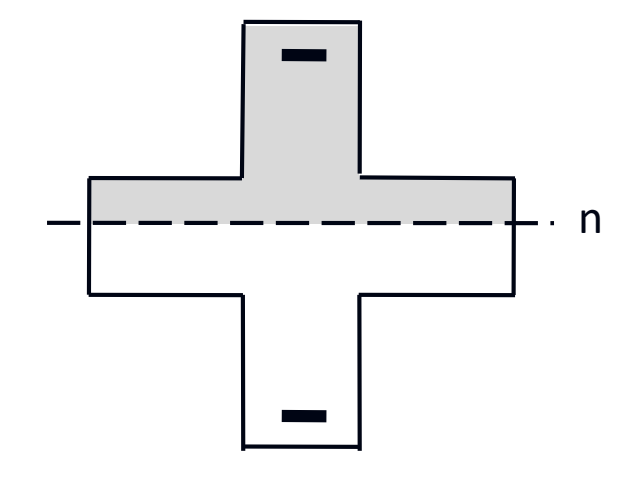
$$\sigma_{\text{c,sup}} = \frac{-450 \cdot 10^3}{-0.01039 \cdot 10^9} \left(-0.2862 \cdot 10^3 \right) = -12.39 \, \text{MPa}$$

$$\sigma_{\text{s,inf}} = 15 \frac{-450 \cdot 10^3}{-0.01039 \cdot 10^9} (0.56 - 0.2862) \cdot 10^3 = 177.8 \, \text{MPa}$$

Sezioni non rettangolari

2° stadio





Se la parte compressa è rettangolare

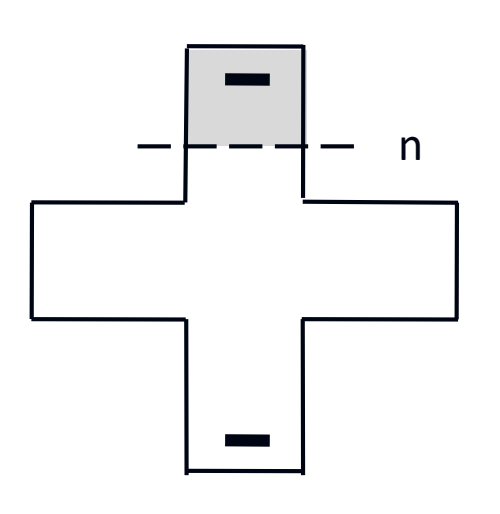
Se la parte compressa non è rettangolare

la sezione può essere trattata come rettangolare

la sezione NON può essere trattata come rettangolare

Sezioni non rettangolari

2° stadio



In presenza di una sezione rettangolare a tratti si può fare inizialmente l'ipotesi che la parte compressa sia rettangolare (nel caso in figura, che l'asse neutro tagli l'anima superiore).

Si determina la posizione dell'asse neutro con la formula:

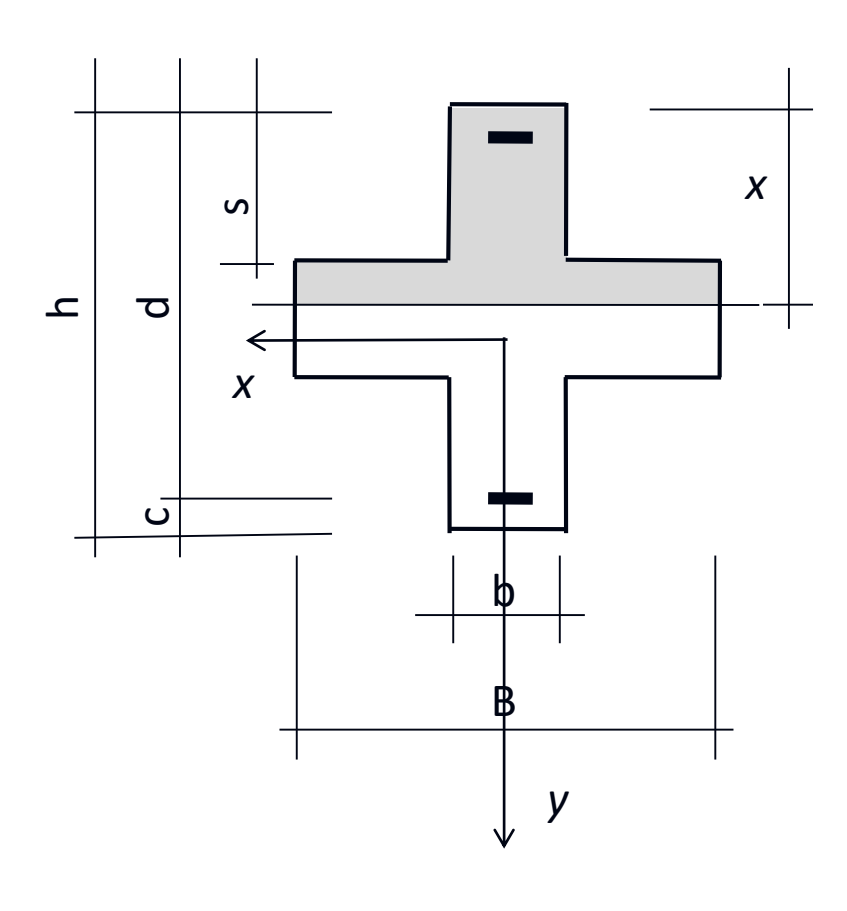
$$S_n e_n = I_n$$

Se l'asse neutro taglia l'anima superiore

la posizione dell'asse neutro è corretta e il momento d'inerzia della sezione reagente omogeneizzata può essere calcolato con le formule della sezione rettangolare.

Sezioni non rettangolari

2° stadio

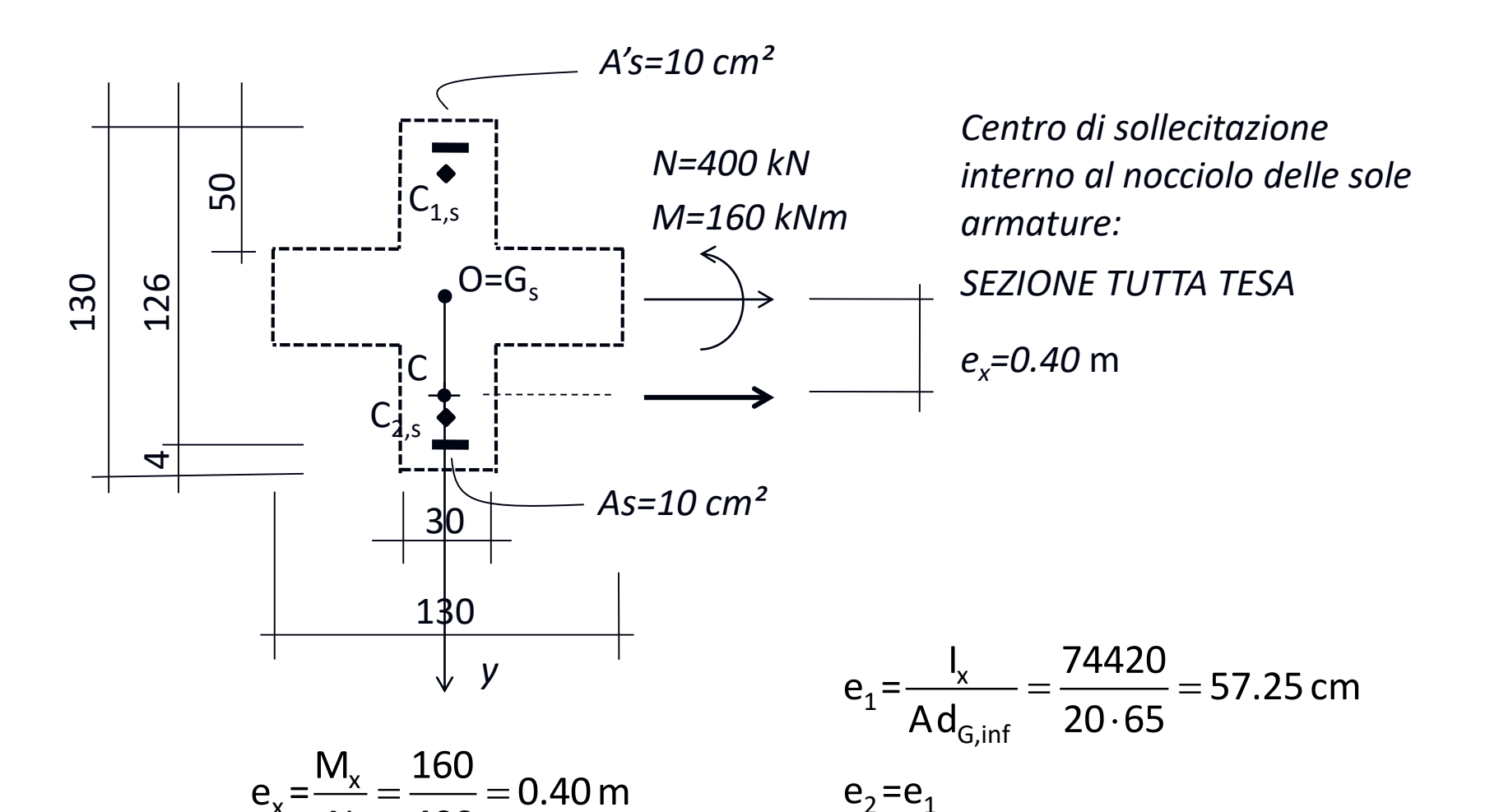


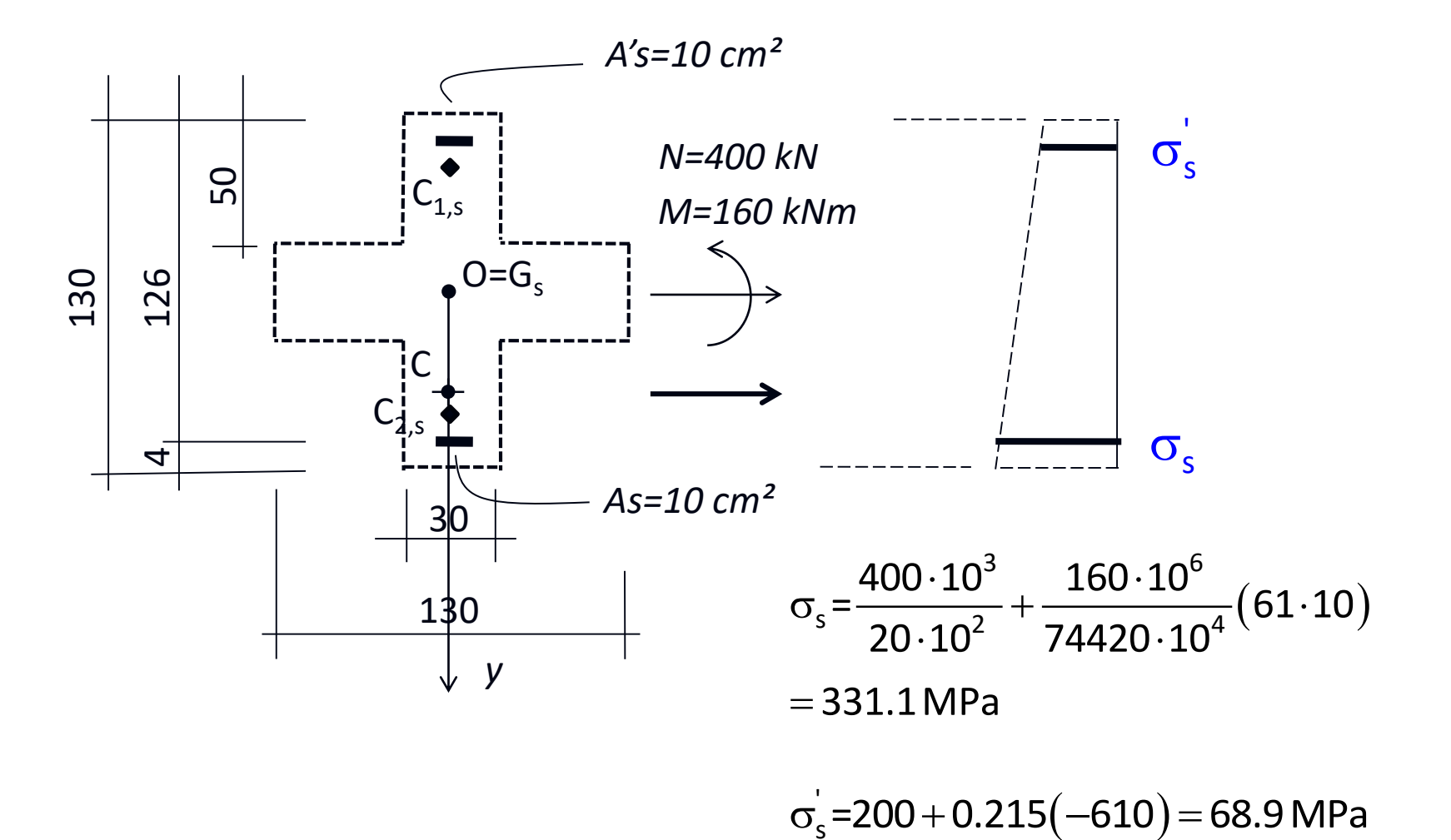
Se l'asse neutro non taglia l'anima superiore

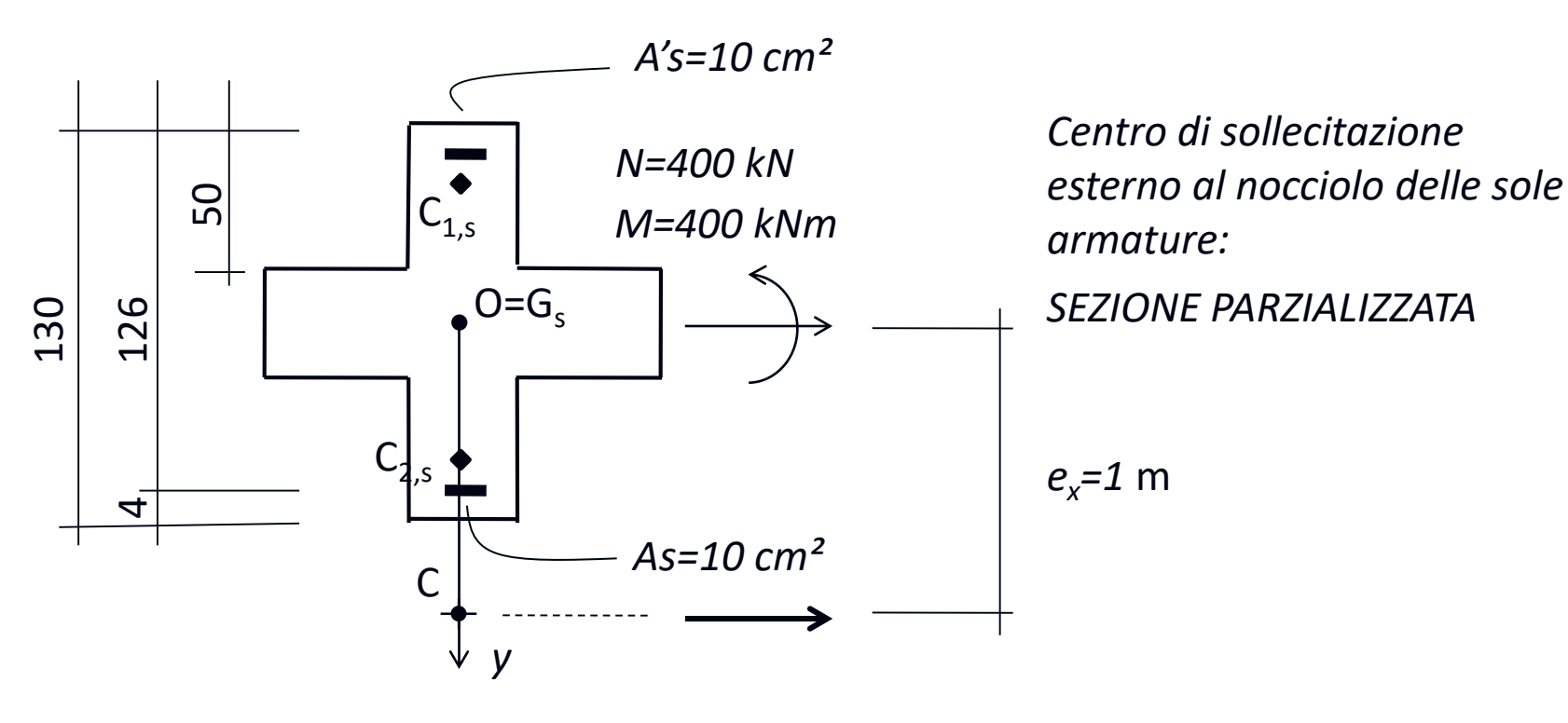
la posizione calcolata dell'asse neutro è errata. La posizione dell'asse neutro deve essere rivalutata ipotizzando che l'asse neutro tagli l'ala. La nuova posizione dell'asse neutro può essere calcolata imponendo

$$S_n e_n = I_n$$

dove S_n e I_n sono definiti in funzione della forma non rettangolare della parte compressa.



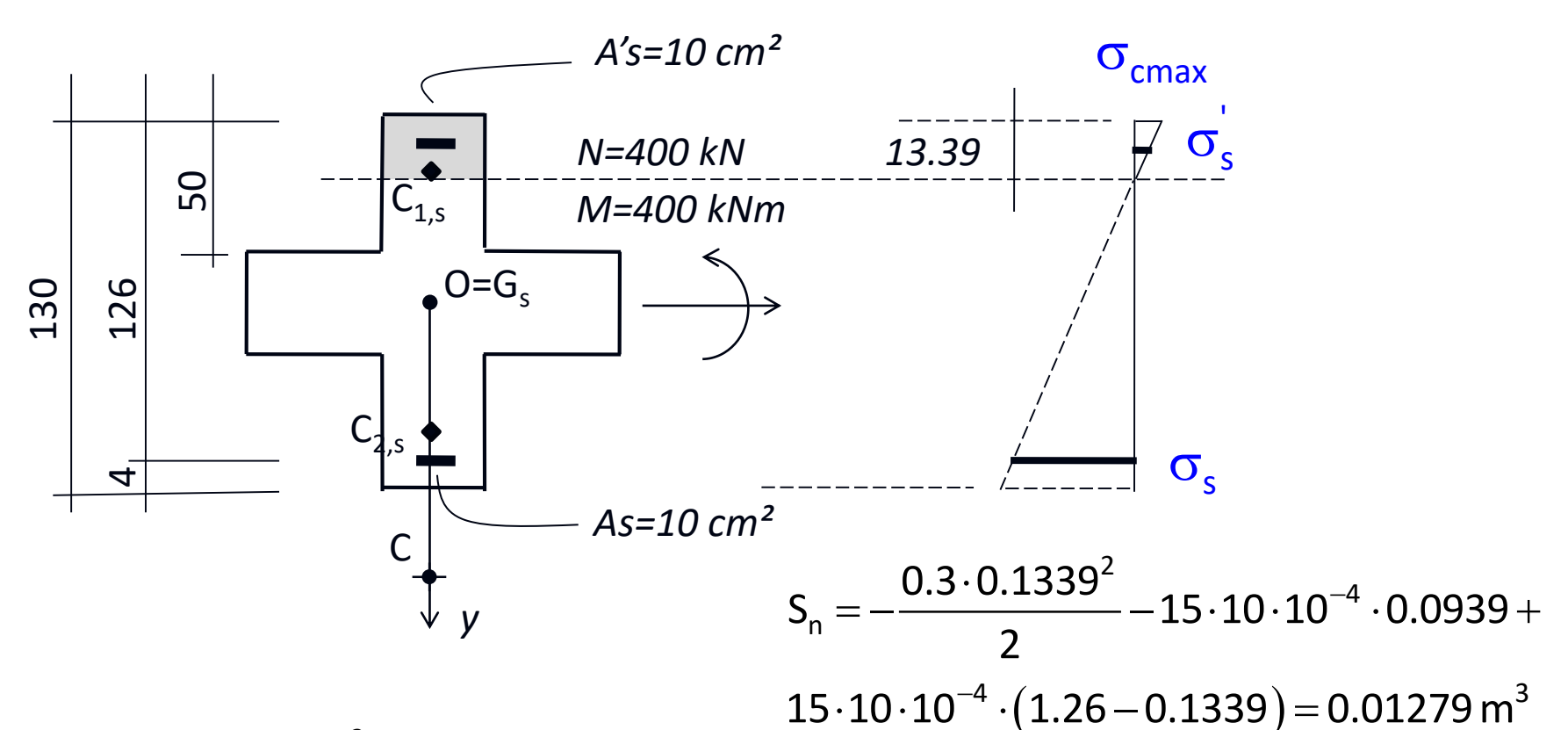




$$e_x = \frac{M_x}{N} = \frac{400}{400} = 1 \text{ m}$$

$$x^{3} - 4.95x^{2} - 0.60x - 0.16674 = 0$$

$$x = 13.39 \text{ cm}$$



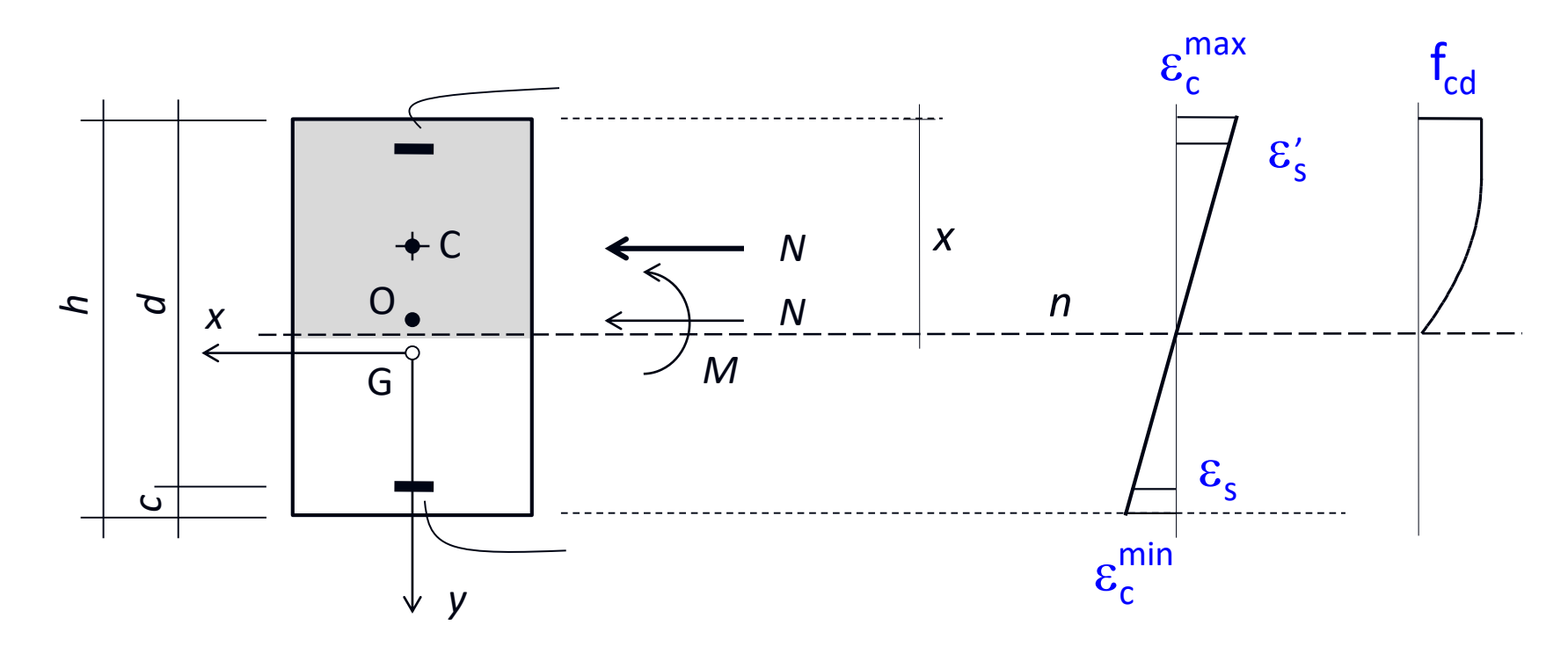
$$\sigma_{cmax} = \frac{400 \cdot 10^3}{0.01279 \cdot 10^9} \left(-0.01339 \cdot 10^3 \right)$$
= -4.19 MPa

$$\sigma_s = 15 \cdot 0.03127 (1260 - 133.9)$$

= 528.2 MPa

Flessione composta

3° stadio



Dati:

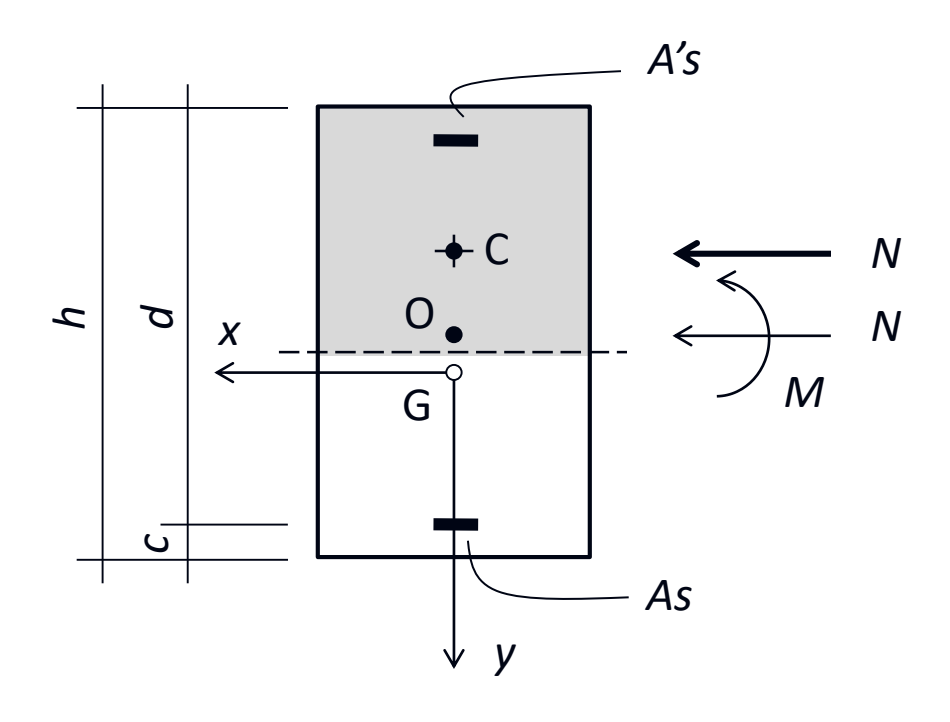
Geometria della sezione Armature Coppia M_{Ed}-N_{Ed}

Incognite:

Momento resistente M_{Rd} corrispondente a N_{Ed}

Flessione composta

3° stadio

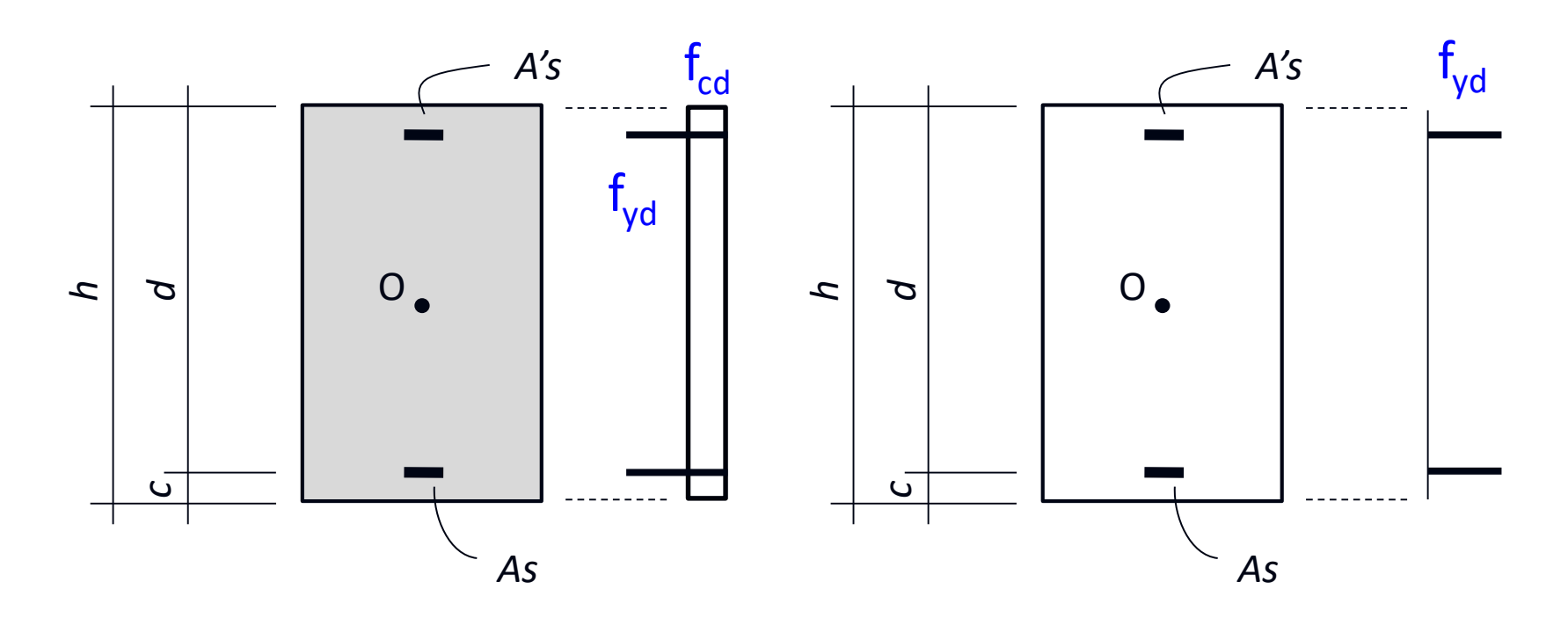


Procedura:

- Individuazione dell'asse neutro
- 2. Calcolo delle tensioni
- **3.** Calcolo del momento resistente

Massimo sforzo normale

3° stadio



Massimo sforzo di compressione

$$N_{Rd} = -(A_c f_{cd} + A_{s,tot} f_{yd})$$

Massimo sforzo di trazione

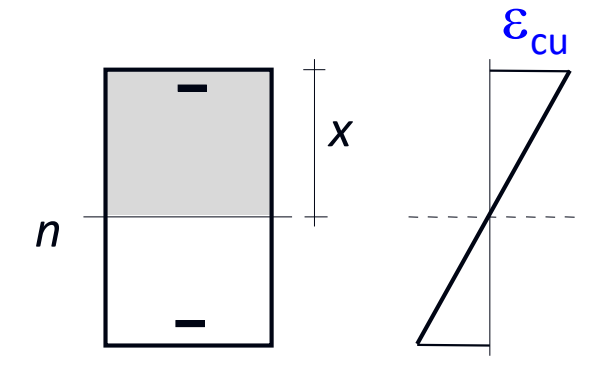
$$N_{Rd} = A_{s,tot} f_{vd}$$

Individuazione asse neutro

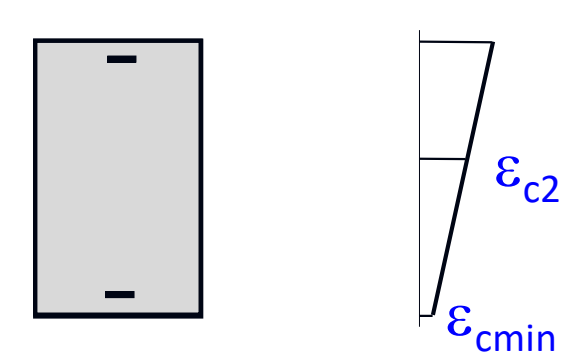
3° stadio

Avendo posto solo un limite alla deformazione massima del calcestruzzo, esistono due possibilità relativamente ai diagrammi di deformazione :

Sezione parzializzata

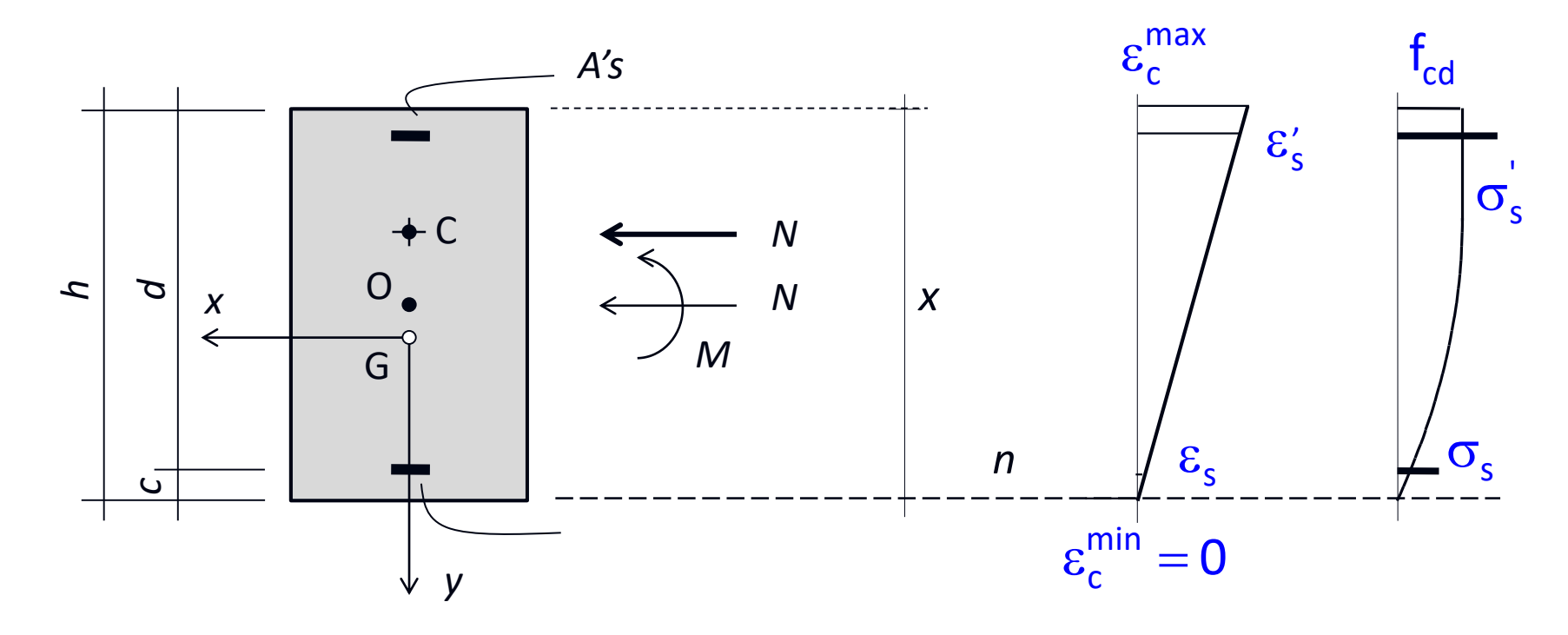


Sezione tutta compressa



Individuazione asse neutro

3° stadio

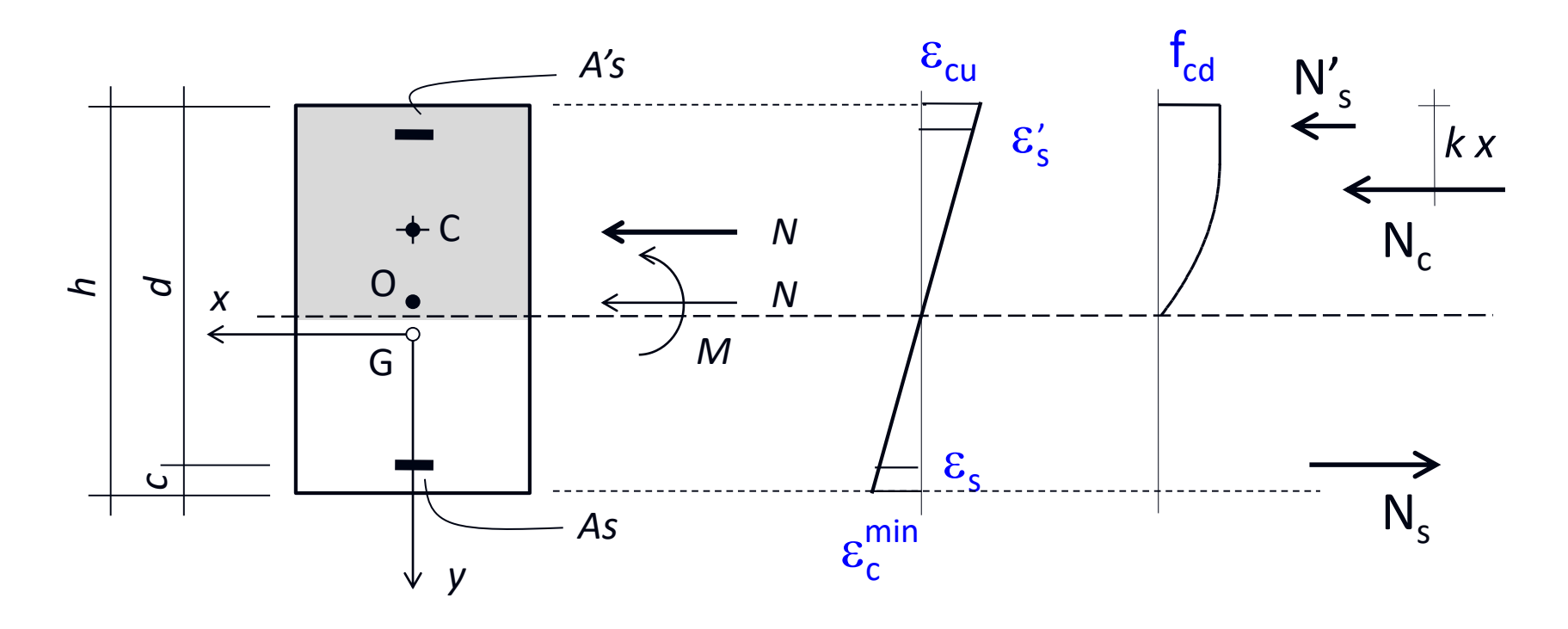


Lo sforzo normale corrispondente al diagramma di passaggio tra sezioni parzializzate e tutte compresse è:

$$N_{Rd} = -\beta A_c f_{cd} + \sum A_{s,i} \sigma_{s,i}$$

Individuazione asse neutro

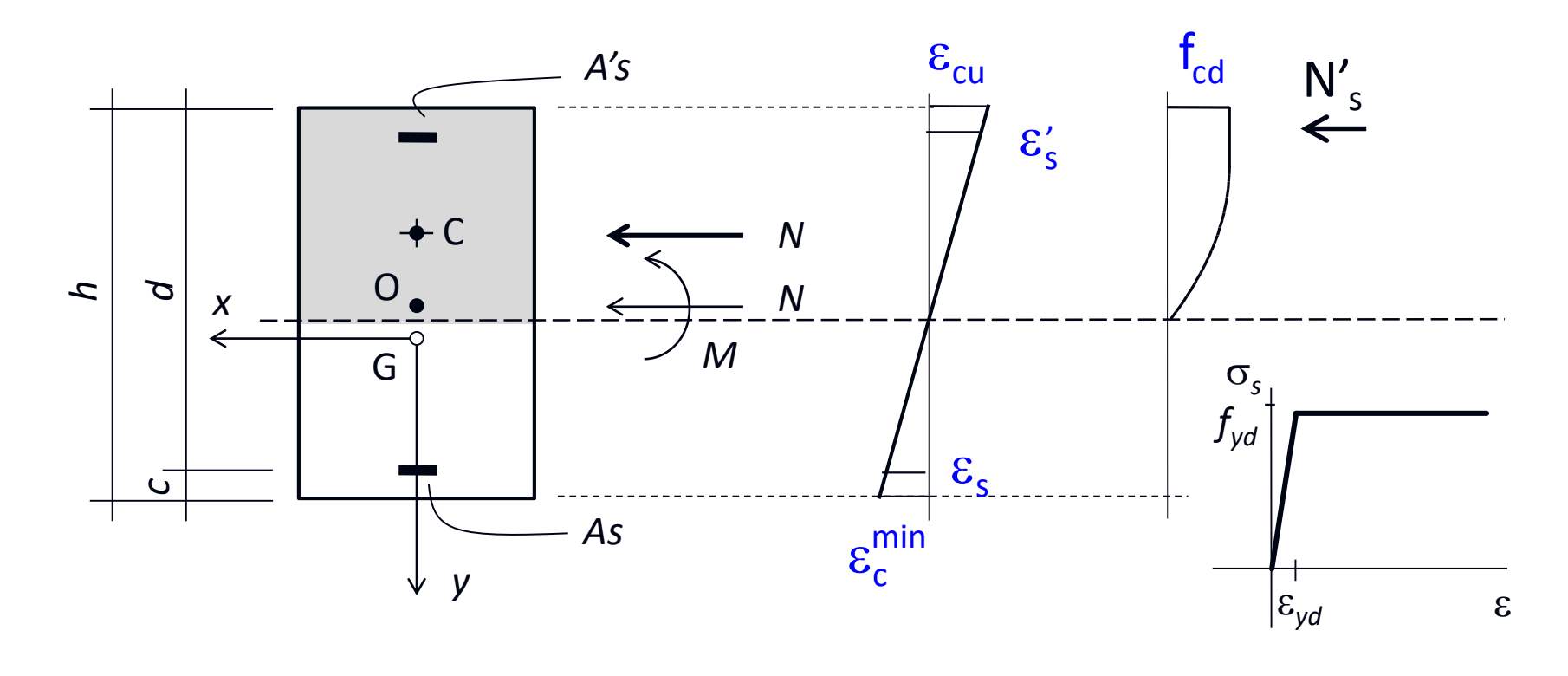
3° stadio (sezione parzializzata)



1. Individuazione dell'asse neutro:

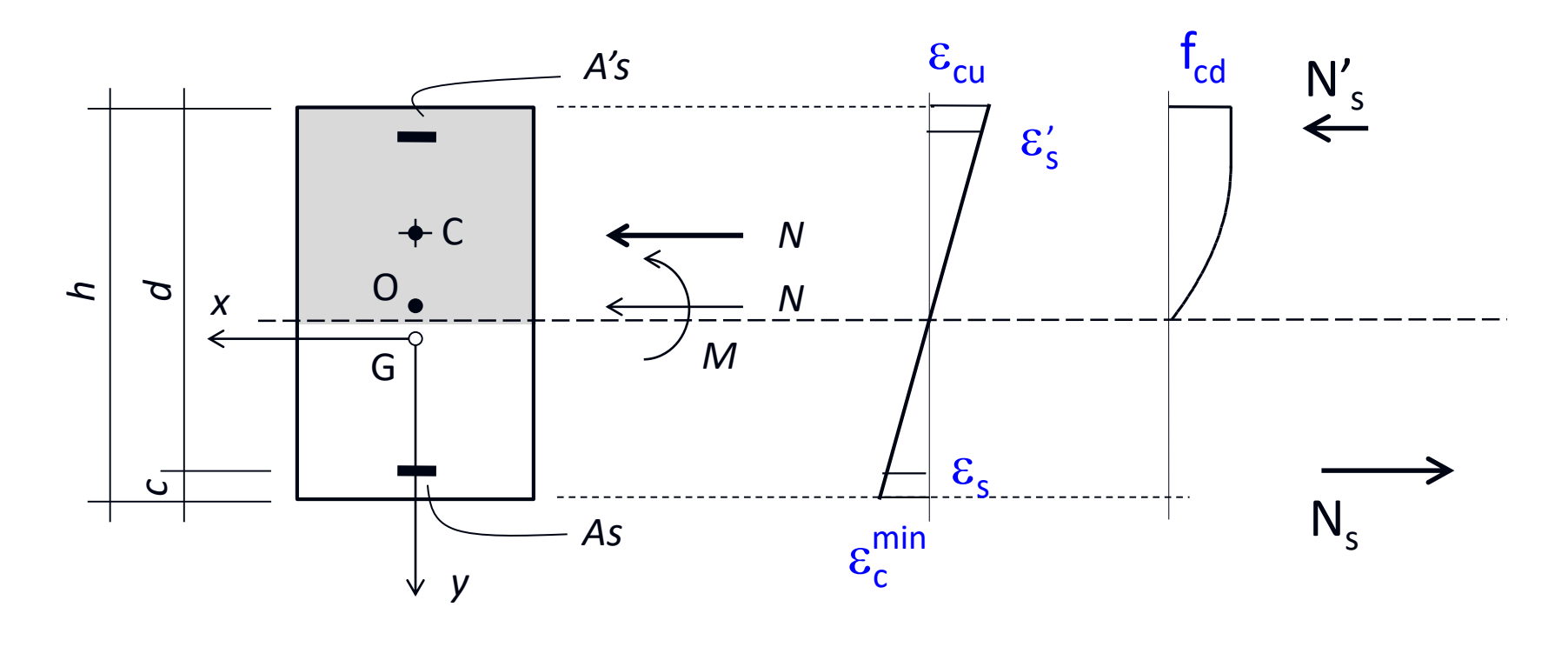
$$N_c + N'_s + N_s = N_{Ed}$$
 (equilibrio alla traslazione)

armatura compressa (sezione parzializzata)



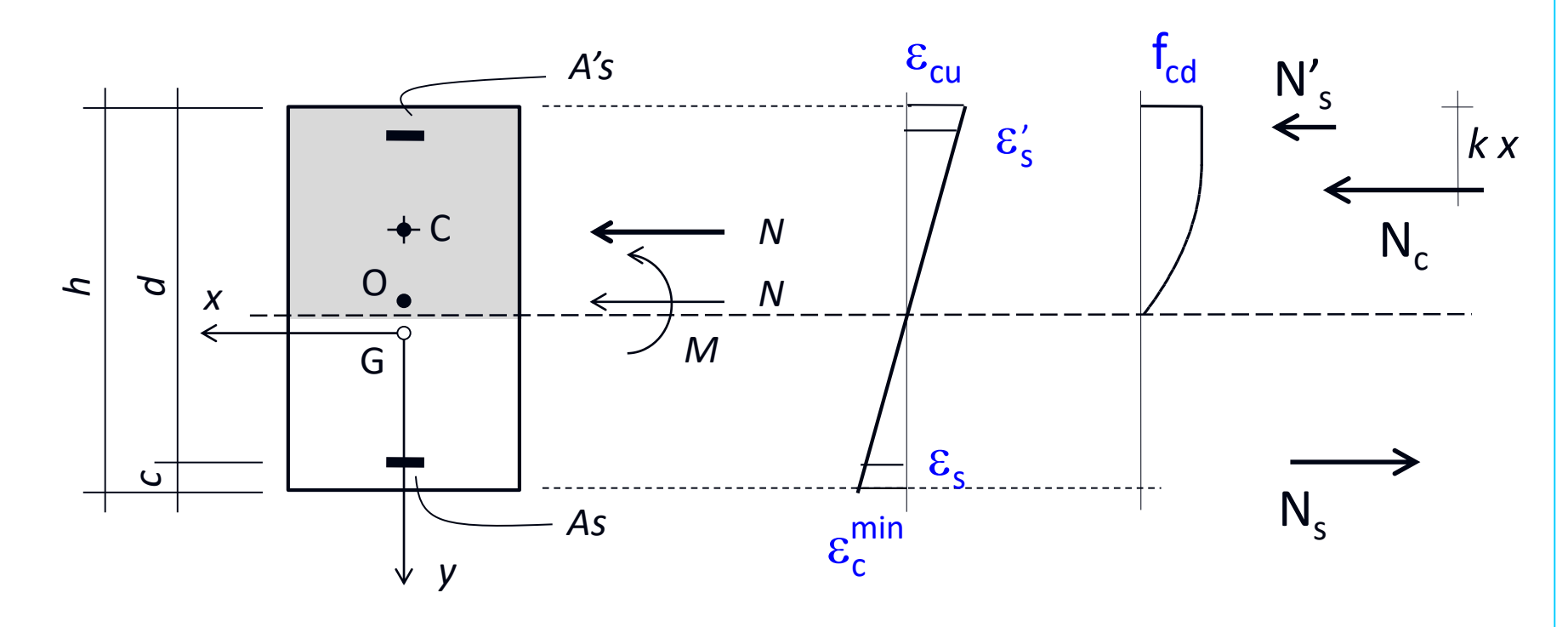
$$\varepsilon'_{s} = \frac{x - c}{x} \varepsilon_{cu} \begin{cases} se \ \varepsilon'_{s} > \varepsilon_{yd} \\ se \ \varepsilon'_{s} \le \varepsilon_{yd} \end{cases} \Rightarrow \sigma'_{s} = \frac{\varepsilon'_{s}}{\varepsilon_{yd}} f_{yd} \Rightarrow N'_{s} = A'_{s} \sigma'_{s}$$

armatura compressa (sezione parzializzata)



$$\varepsilon_{s} = \frac{d - x}{x} \varepsilon_{cu} \begin{cases} se \ \varepsilon_{s} > \varepsilon_{yd} & \Rightarrow N_{s} = A_{s} f_{yd} \\ se \ \varepsilon_{s} \leq \varepsilon_{yd} & \Rightarrow \sigma_{s} = \frac{\varepsilon_{s}}{\varepsilon_{yd}} f_{yd} & \Rightarrow N_{s} = A_{s} \sigma_{s} \end{cases}$$

armatura compressa (sezione parzializzata)



$$N_c = \beta b x f_{cd}$$

per sezione rettangolare, β = 0.810

Calcolo dell'asse neutro

Stato limite ultimo

Per sezione rettangolare, parzializzata e con armature snervate, si ottiene un'equazione di primo grado che ha come soluzione

$$x = \frac{\left(A_s - A_s'\right)f_{yd} - N_{Ed}}{\beta b f_{cd}}$$

N_{Fd} positivo se trazione

Una volta trovata la profondità dell'asse neutro occorre verificare che le armature siano snervate. Se ciò accade la soluzione trovata è corretta.

Calcolo dell'asse neutro

Stato limite ultimo

Se almeno una delle armature non è snervata, la soluzione dell'equazione va ricercata per tentativi, ossia fissando valori della profondità dell'asse neutro e verificando il soddisfacimento dell'equilibrio alla traslazione longitudinale:

$$N_c + N'_s + N_s = N_{Ed}$$

Calcolo dell'asse neutro

Stato limite ultimo

Se la sezione è tutta compressa il valore della profondità dell'asse neutro va ricercato ancora tramite la relazione:

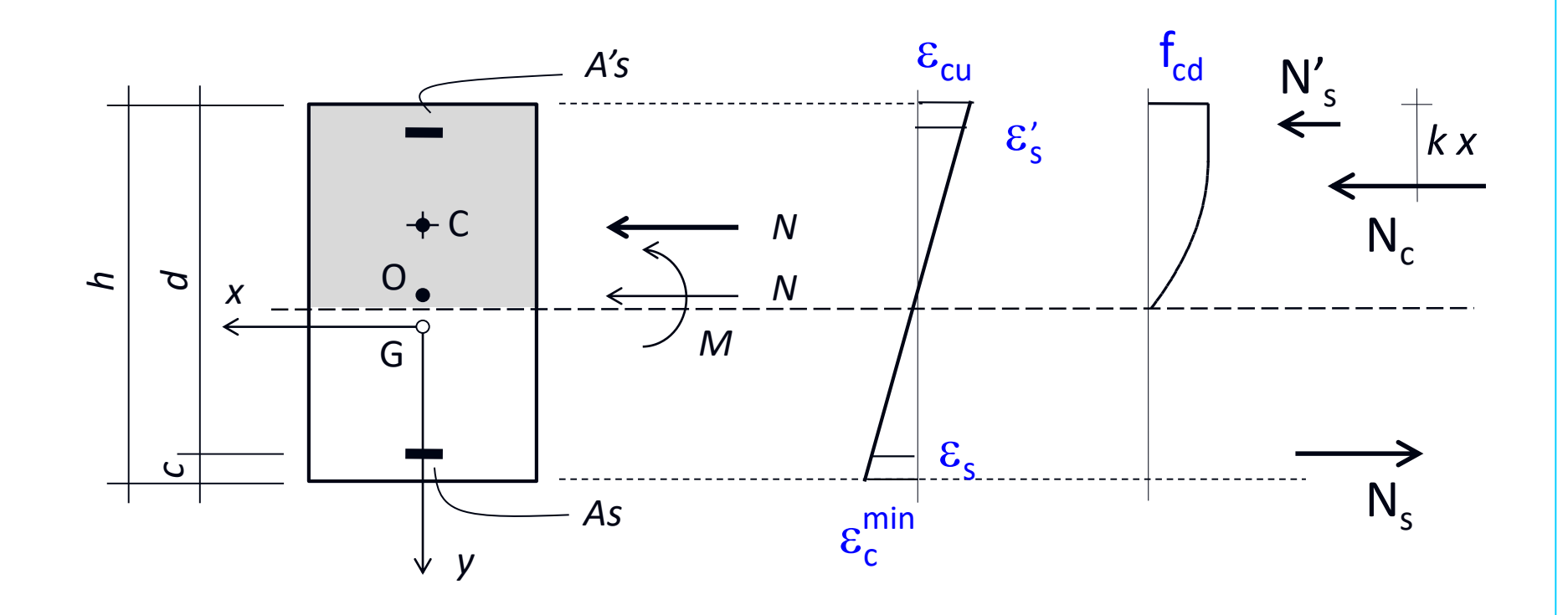
$$N_c + N'_s + N_s = N_{Ed}$$

La risultante delle tensioni di compressione è sempre calcolata come $N_c = \beta$ b x f_{cd} .

In tal caso i valori di β e k valgono:

$$\beta = 1 - \frac{4}{21} (1 - \eta_{min})^2 \qquad \kappa = \frac{1}{2} \cdot \frac{1 - 16/49 (1 - \eta_{min})^2}{1 - 4/21 (1 - \eta_{min})^2}$$

Momento resistente

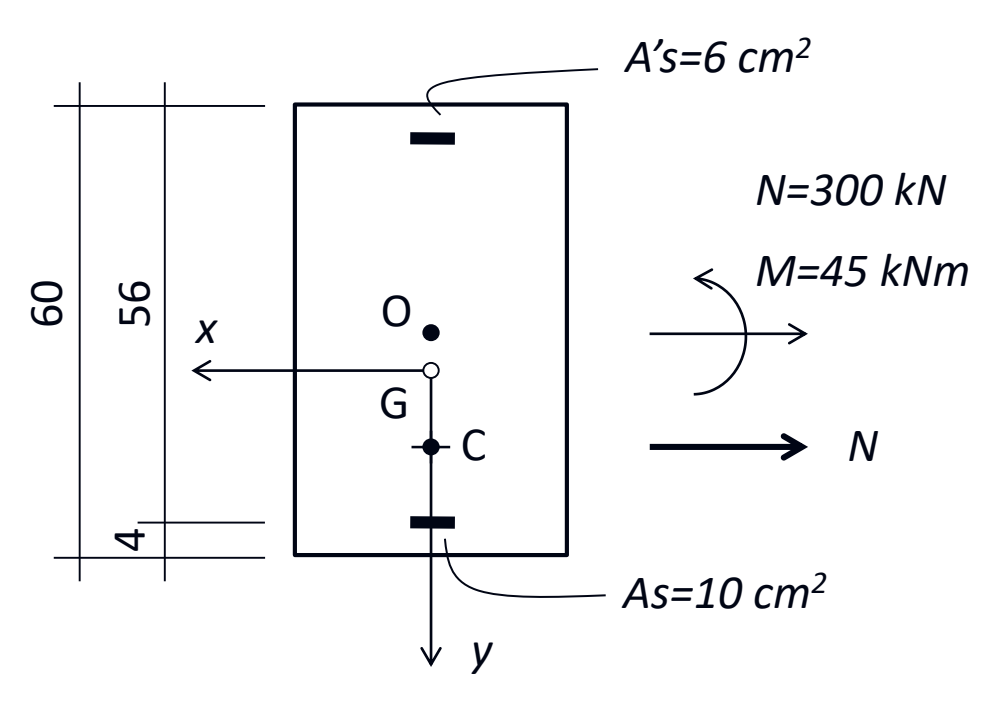


2. Calcolo del momento resistente (rispetto al baricentro della sezione)

$$M_{Rd} = (N_s - N'_s) (h/2 - c) - N_c (h/2 - k x)$$

per sezione rettangolare, k = 0.416

Sezione rettangolare tensoinflessa



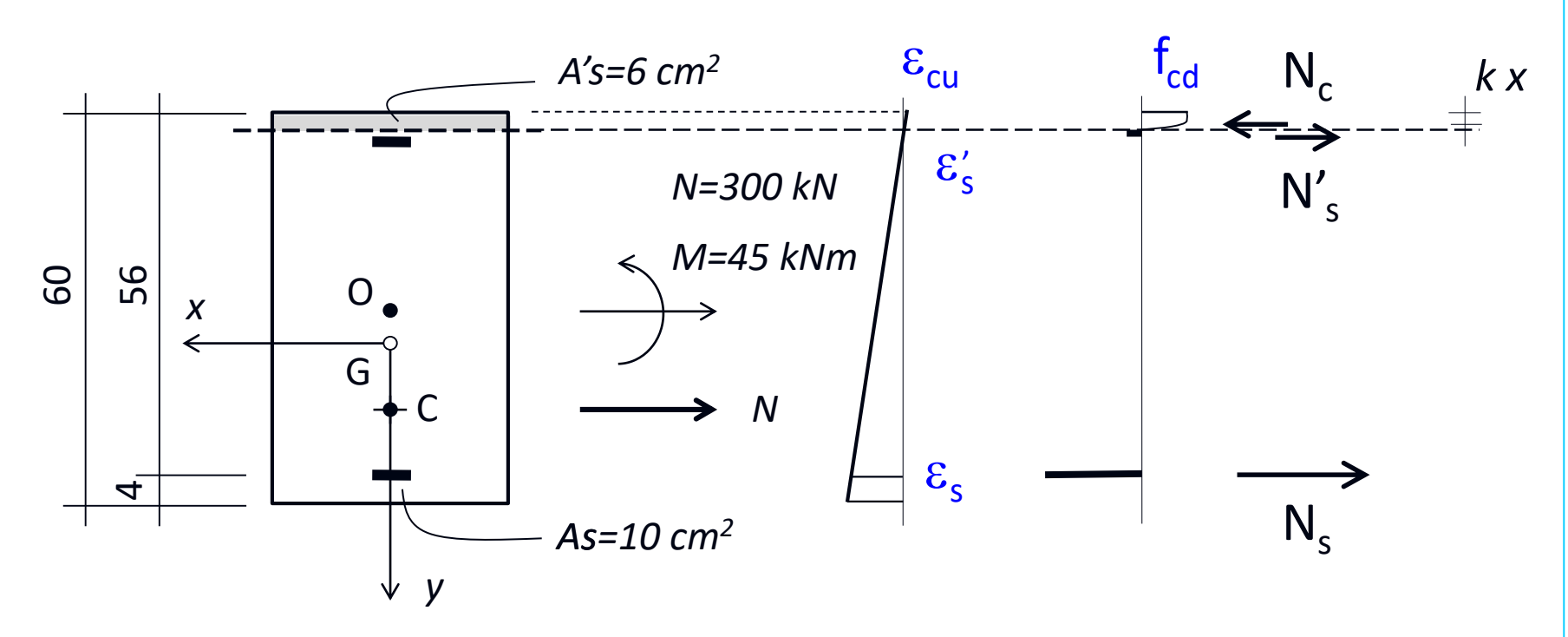
Poiché N è di trazione la sezione è parzializzata

Se entrambe le armature fossero snervate sarebbe

$$x = \frac{(A_s - A'_s)f_{yd} - N_{Ed}}{\beta b f_{cd}} = -4.18 \text{ cm}$$

ma questo valore non è accettabile (è negativo)

Sezione rettangolare tensoinflessa



L'equilibrio alla traslazione longitudinale è rispettato se x=3.69 cm

$$\epsilon_s = 0.04966$$

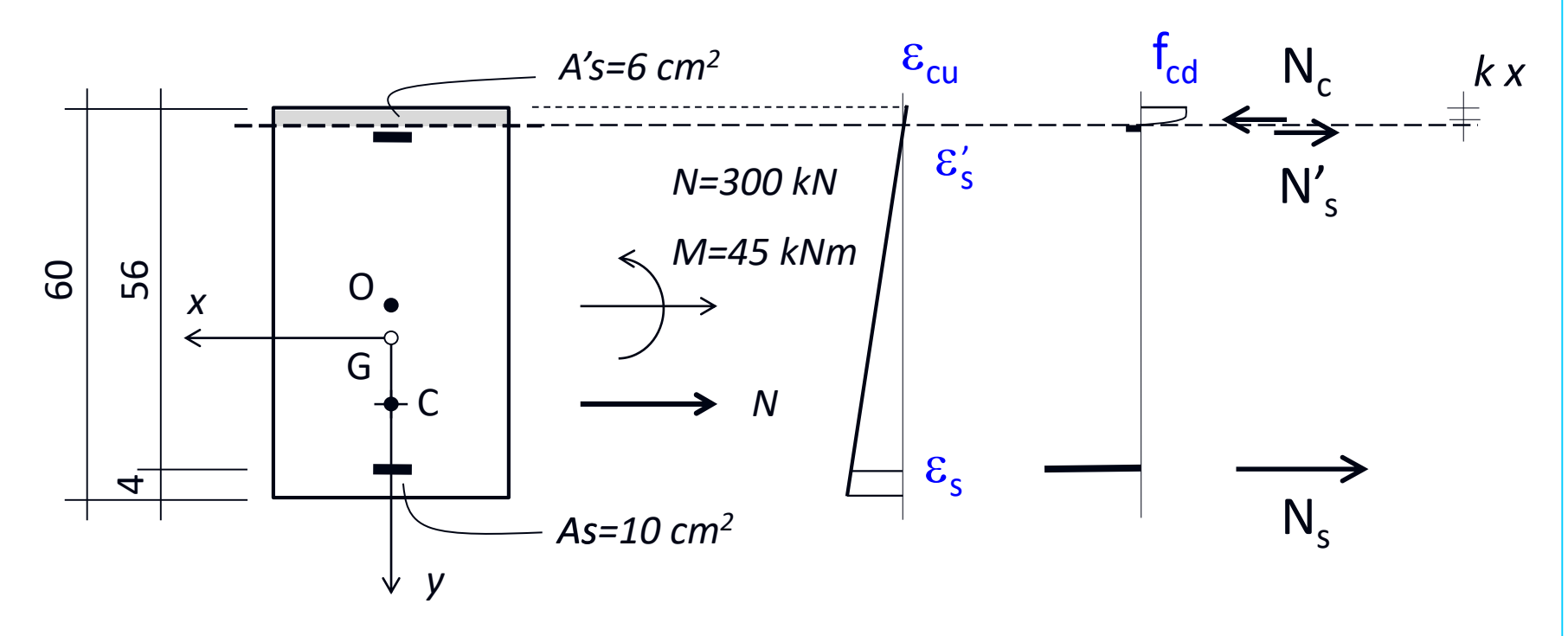
$$\epsilon_{s}^{'} = 0.00030$$

$$\sigma_s = 391.3 \, \text{MPa}$$

$$\sigma'_s = 59.4 \,\mathrm{MPa}$$

$$N_s$$
 N_s N_c $|$ $|$ $|$ $N = 391.3 + 35.7 - 127.0 = -300 kN$

Sezione rettangolare tensoinflessa

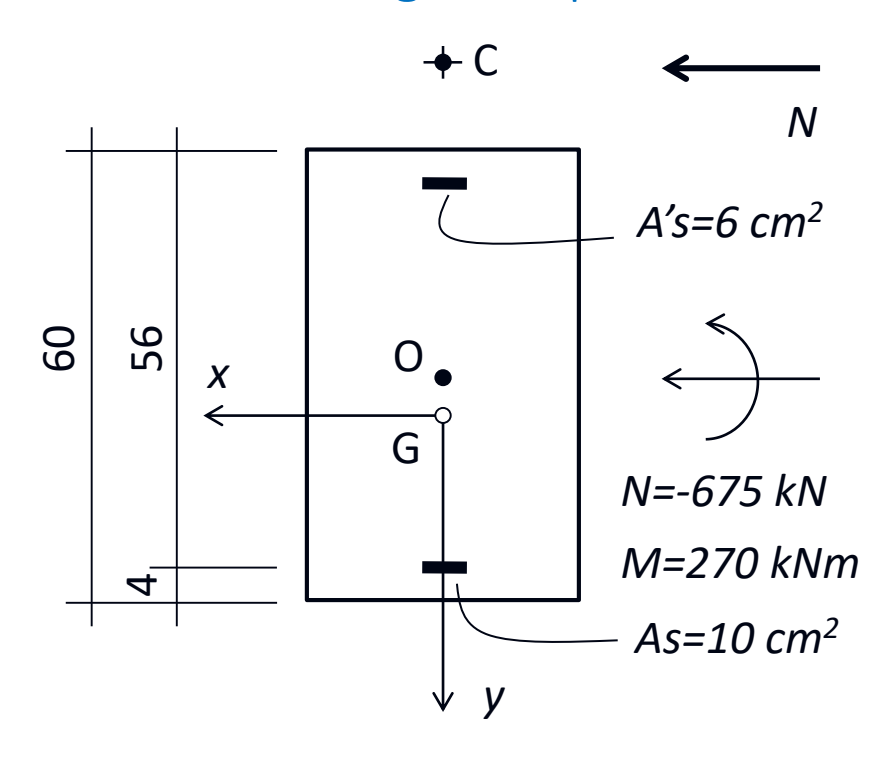


L'equilibrio alla rotazione intorno ad O fornisce il momento resistente

$$M_{Rd} = (N_s - N'_s) (h/2 - c) - N_c (h/2 - k x)$$

$$M_{Rd} = \left[(391.3 - 35.7) \cdot 26 - (-127) \cdot (30 - 0.416 \cdot 3.69) \right] 10^{-2} = 128.6 \text{kNm}$$

Sezione rettangolare pressoinflessa



$$N = -46.7 - 234.8 - 2066.0 = -2347.5 \text{ kN}$$
 $| | | | | |$
 $N_s \qquad N_s' \qquad N_c$

Se si immagina *x*=*h* si ha:

$$\epsilon_s^{} = -0.00023$$

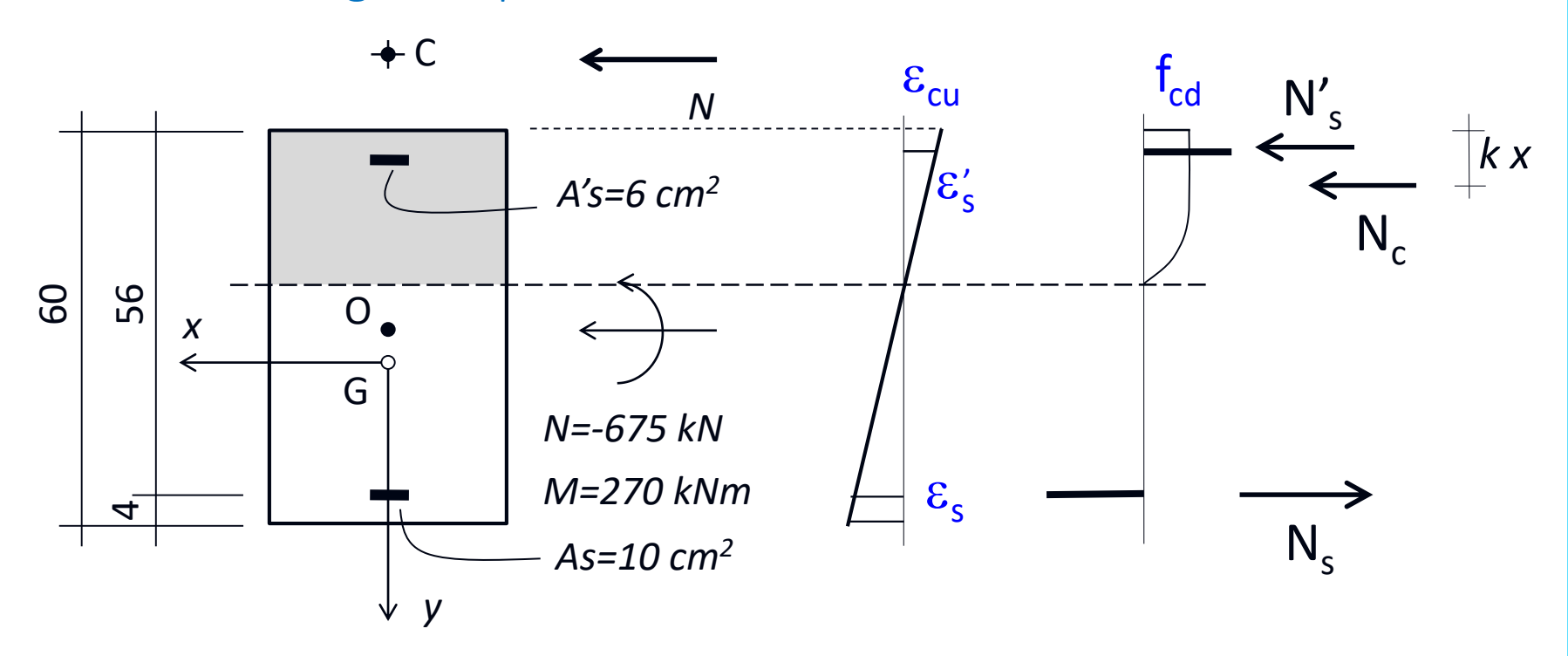
$$\epsilon'_{s} = -0.00327$$

$$\sigma_s = -46.7 \, \text{MPa}$$

$$\sigma'_{s} = -391.3 \,\text{MPa}$$

Lo sforzo normale di compressione è inferiore. Pertanto, la sezione è parzializzata

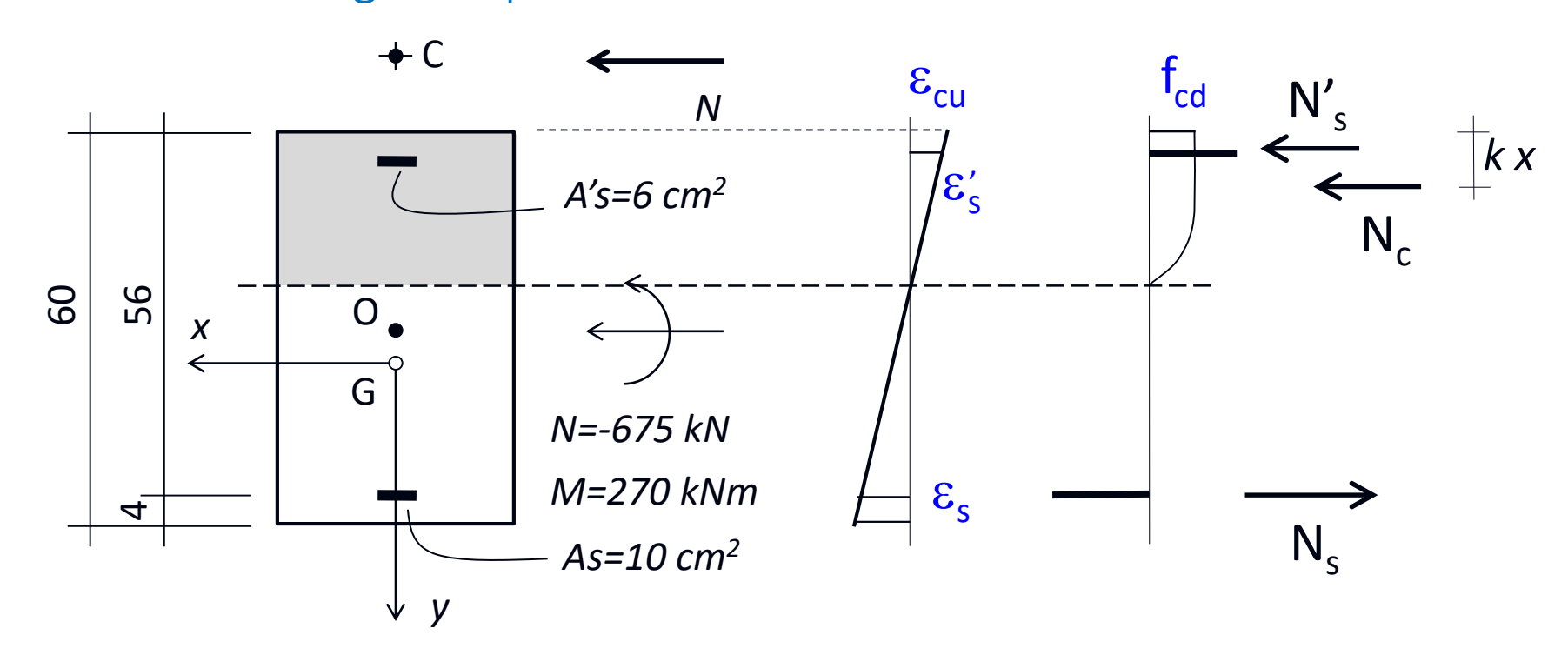
Sezione rettangolare pressoinflessa



L'equilibrio alla traslazione longitudinale è rispettato se x=24.15 cm

$$N_s$$
 N_s N_c N_c

Sezione rettangolare pressoinflessa

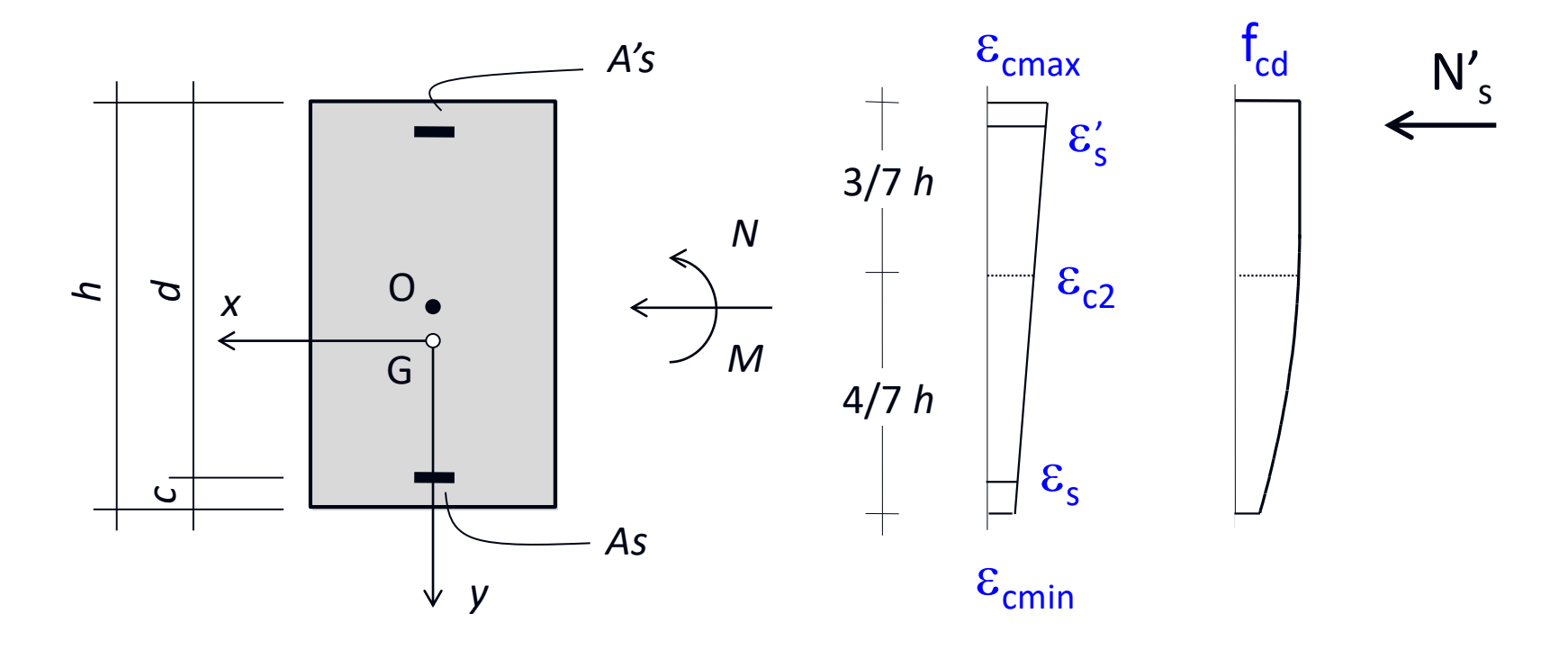


L'equilibrio alla rotazione intorno ad O fornisce $M_{Rd} = (N_{Rd} = 1)$ il momento resistente

$$M_{Rd} = (N_s - N'_s) (h/2 - c) - N_c (h/2 - k x)$$

$$M_{Rd} = \left[(391.3 + 234.8) \cdot 26 - (-831.5) \cdot (30 - 0.416 \cdot 24.15) \right] 10^{-2} = 328.7 \text{kNm}$$

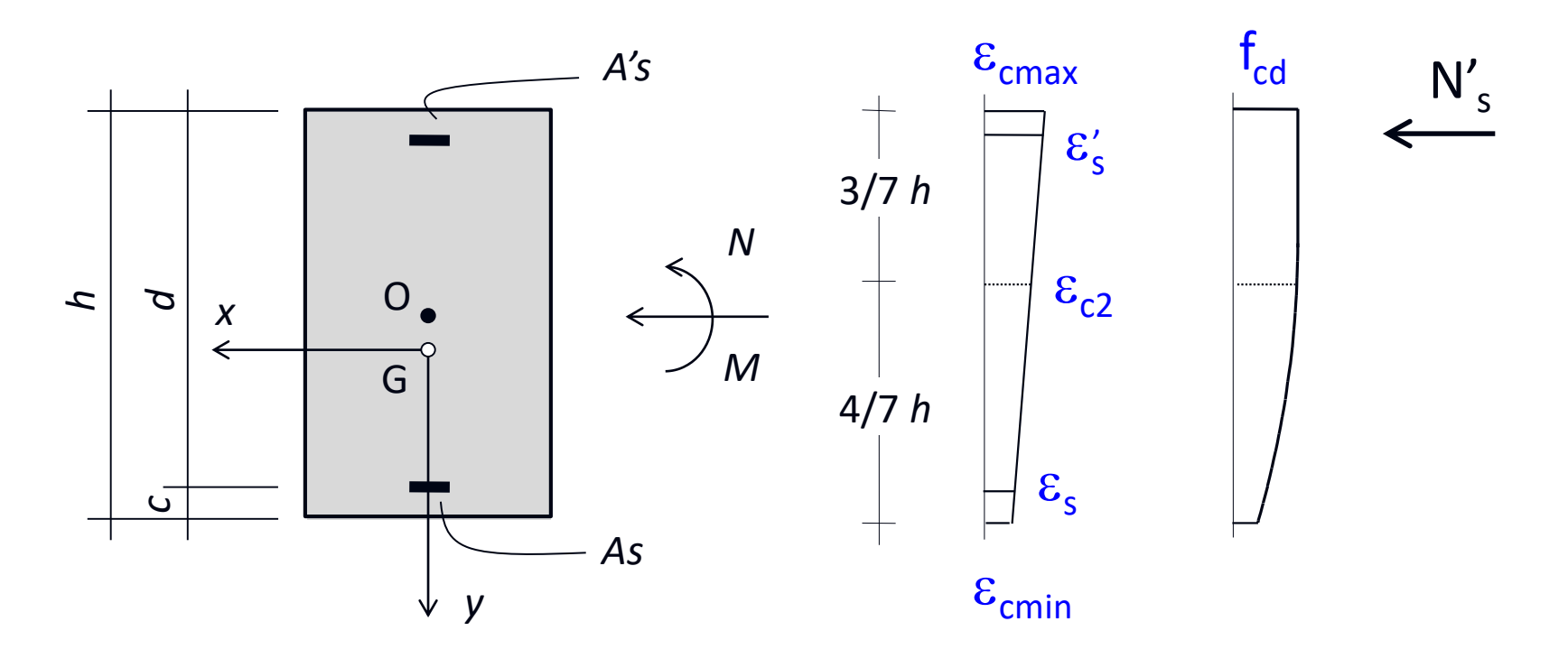
armatura superiore (sezione tutta compressa)



$$\epsilon_{s}^{'} = \epsilon_{c2} \left\lceil \frac{d}{4/7h} (1 - \eta_{min}) + \eta_{min} \right\rceil$$

dove
$$\eta_{min} = \frac{-\epsilon_{cmin}}{\epsilon_{c2}}$$

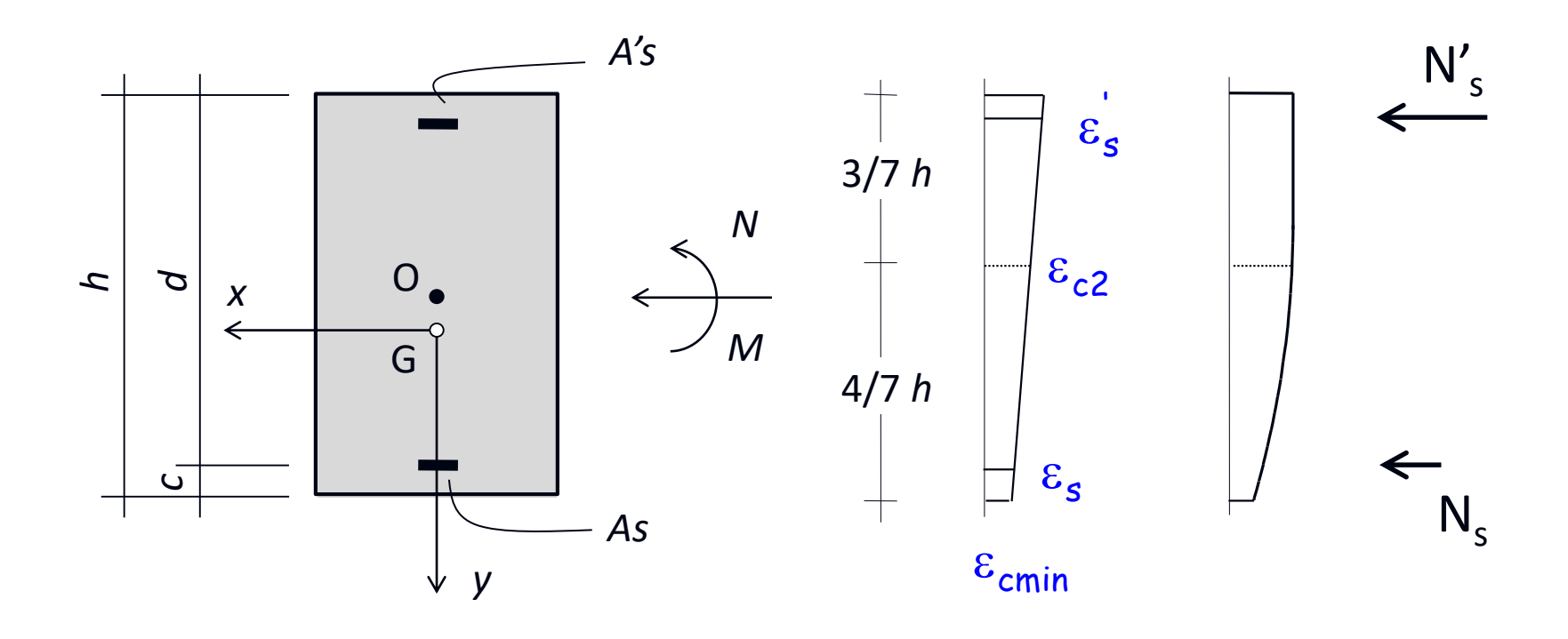
armatura superiore (sezione tutta compressa)



noto
$$\varepsilon'_{s}$$

$$\begin{cases} se \ \varepsilon'_{s} > \varepsilon_{yd} & \sigma'_{s} = -f_{yd} \implies N'_{s} = -A'_{s} f_{yd} \\ se \ \varepsilon'_{s} \le \varepsilon_{yd} \implies \sigma'_{s} = \frac{\varepsilon'_{s}}{\varepsilon_{yd}} f_{yd} \implies N'_{s} = A'_{s} \sigma'_{s} \end{cases}$$

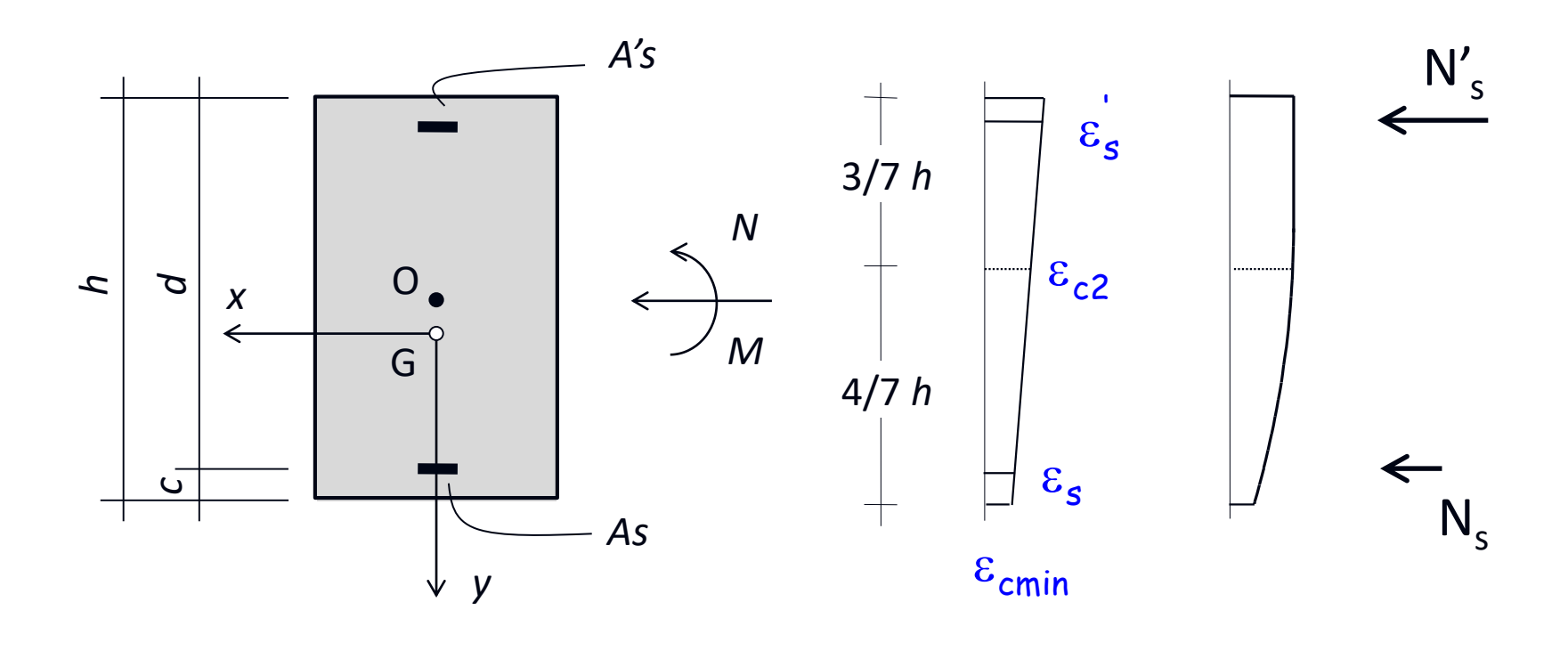
armatura inferiore (sezione tutta compressa)



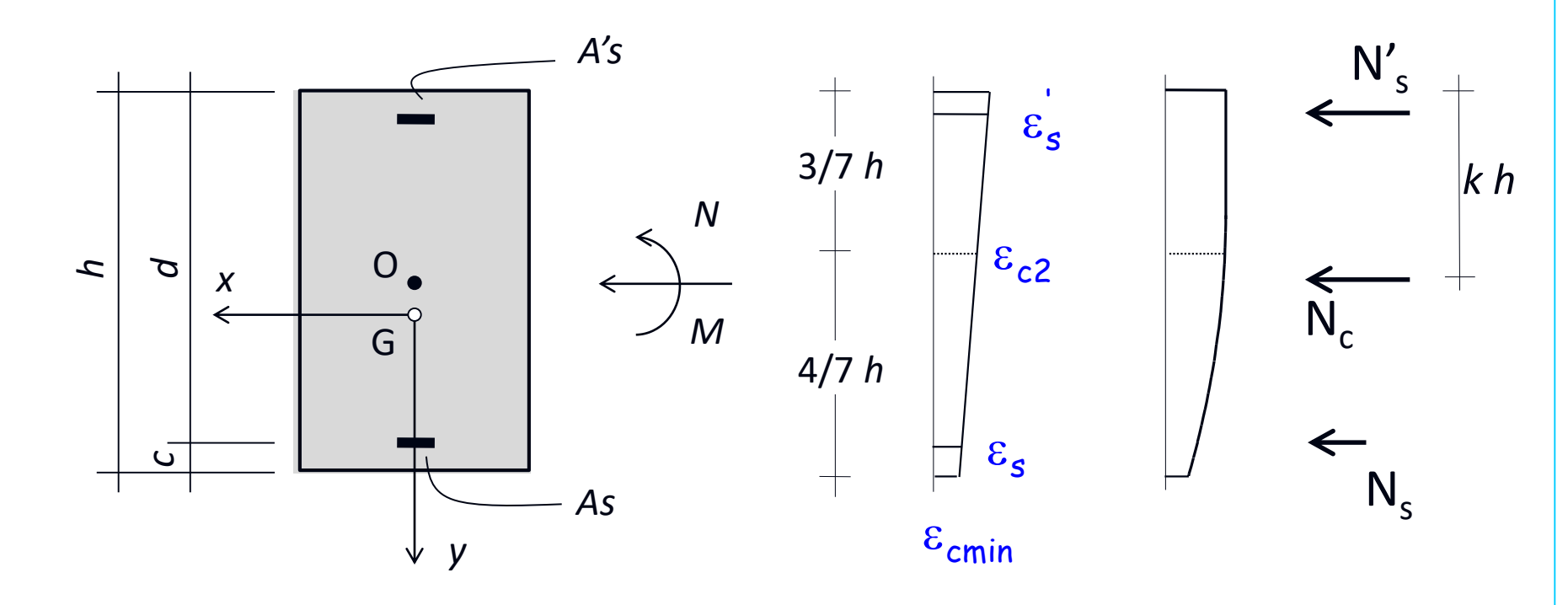
$$\epsilon_{s} = \epsilon_{c2} \left[\frac{c}{4/7h} (1 - \eta_{min}) + \eta_{min} \right]$$

dove
$$\eta_{min} = \frac{-\varepsilon_{cmin}}{\varepsilon_{c2}}$$

armatura inferiore (sezione tutta compressa)



calcestruzzo (sezione tutta compressa)



$$N_c = \beta b h f_{cd}$$

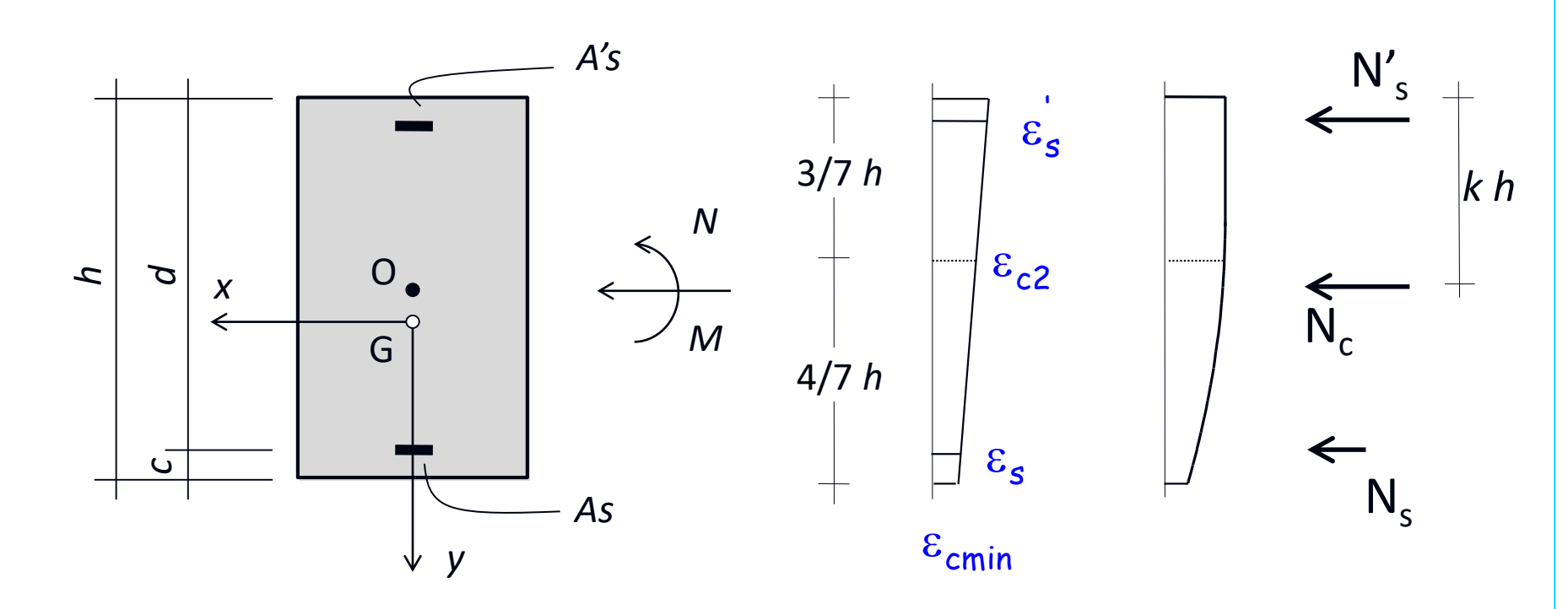
In questo caso β dipende da η_{min}

per sezione rettangolare:
$$\beta = 1 - \frac{4}{21} (1 - \eta_{min})$$

Valori di β per sezione rettangolare

η_{min}	β
0.0	0.810
0.1	0.846
0.2	0.878
0.3	0.907
0.4	0.931
0.5	0.952
0.6	0.970
0.7	0.983
0.8	0.992
0.9	0.998
1.0	1.000

Momento resistente



2. Calcolo del momento resistente

(rispetto al baricentro O della sezione)

$$M_{Rd} = (N_s - N'_s) (h/2 - c) - N_c (h/2 - k h)$$

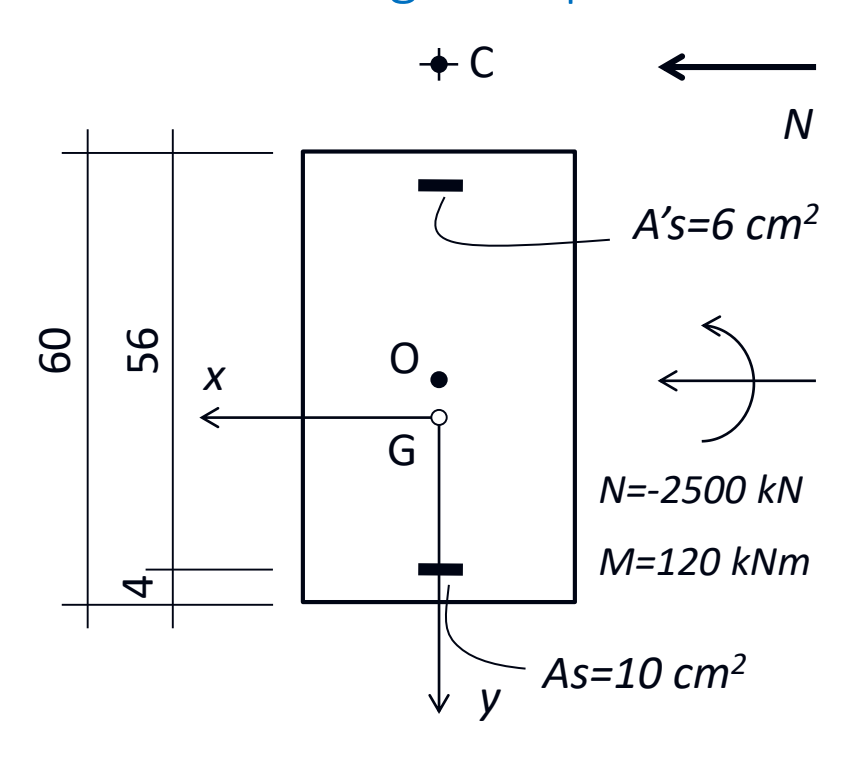
per sezione rettangolare:

$$\kappa = \frac{1}{2} \frac{1 - 16/49(1 - \eta_{min})^2}{1 - 4/21(1 - \eta_{min})^2}$$

Valori di β e k per sezione rettangolare

η_{min}	β	К
0	0.810	0.416
0.1	0.846	0.435
0.2	0.878	0.450
0.3	0.907	0.463
0.4	0.931	0.474
0.5	0.952	0.482
0.6	0.970	0.489
0.7	0.983	0.494
0.8	0.992	0.497
0.9	0.998	0.499
1.0	1.000	0.500

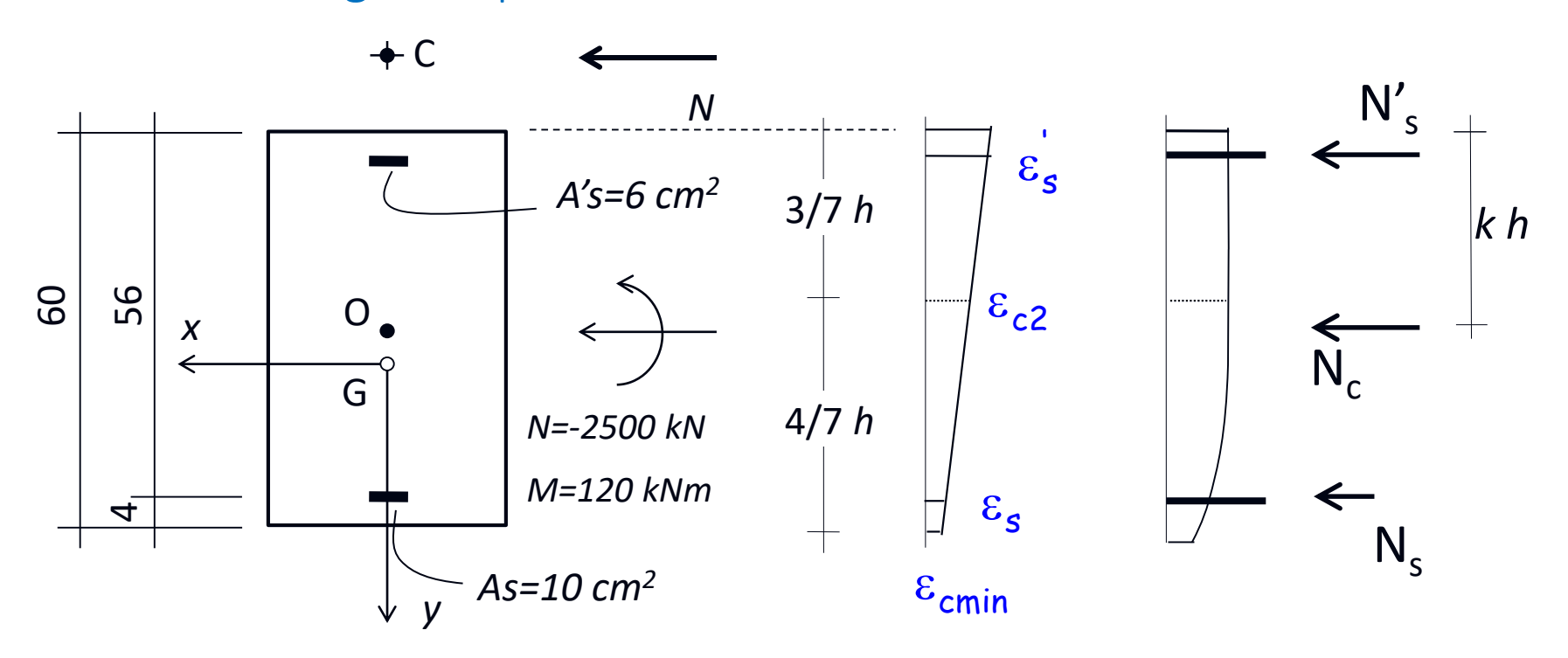
Sezione rettangolare pressoinflessa



Lo sforzo normale di compressione (-2500 kN) è superiore a quello relativo a x=h (-2347.5 kN).

Pertanto, la sezione è completamente compressa

Sezione rettangolare pressoinflessa



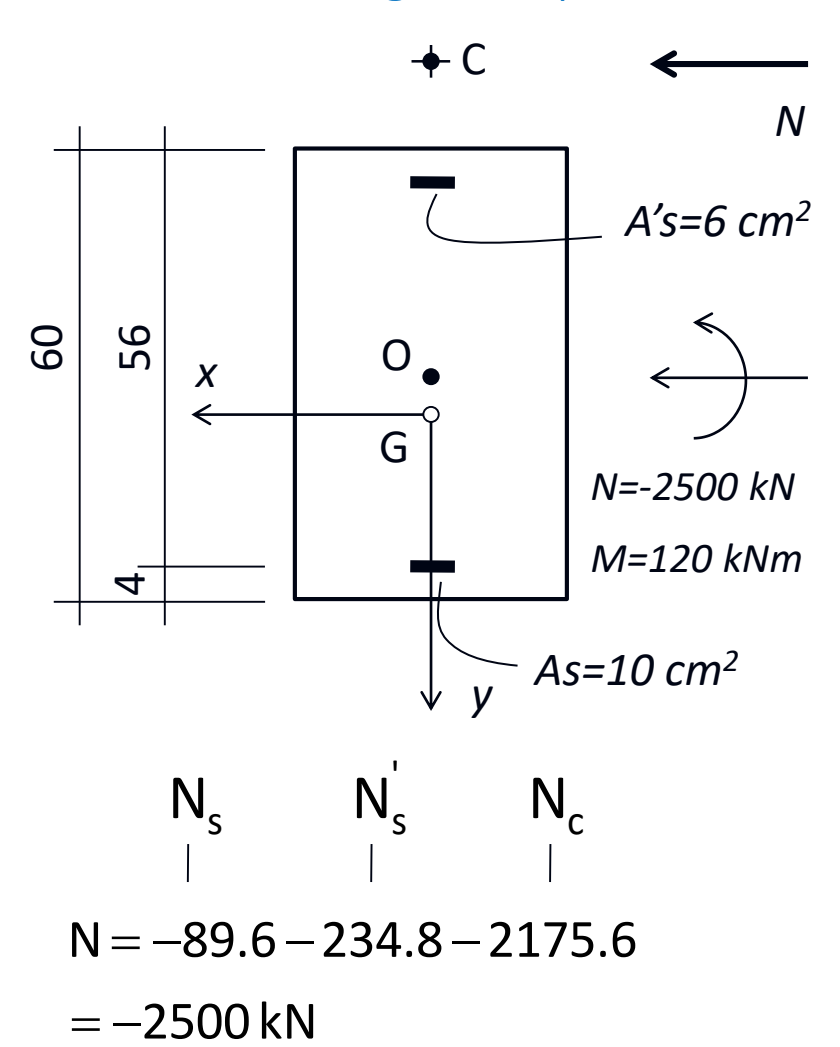
$$\epsilon_{s} = -\epsilon_{c2} \left[\frac{c}{4/7 \ h} (1 - \eta_{min}) + \eta_{min} \right]$$

$$= -0.0004479$$

$$\begin{split} \epsilon_s = & -\epsilon_{c2} \Bigg[\frac{c}{4/7 \ h} \Big(1 - \eta_{min} \Big) + \eta_{min} \Bigg] \\ = & -0.0004479 \\ \end{split} \qquad \qquad \epsilon_s = -\epsilon_{c2} \Bigg[\frac{d}{4/7 \ h} \Big(1 - \eta_{min} \Big) + \eta_{min} \Bigg] = \\ -0.00311 \end{split}$$

Se si pone η =0.1215

Sezione rettangolare pressoinflessa



Se si pone η =0.1215

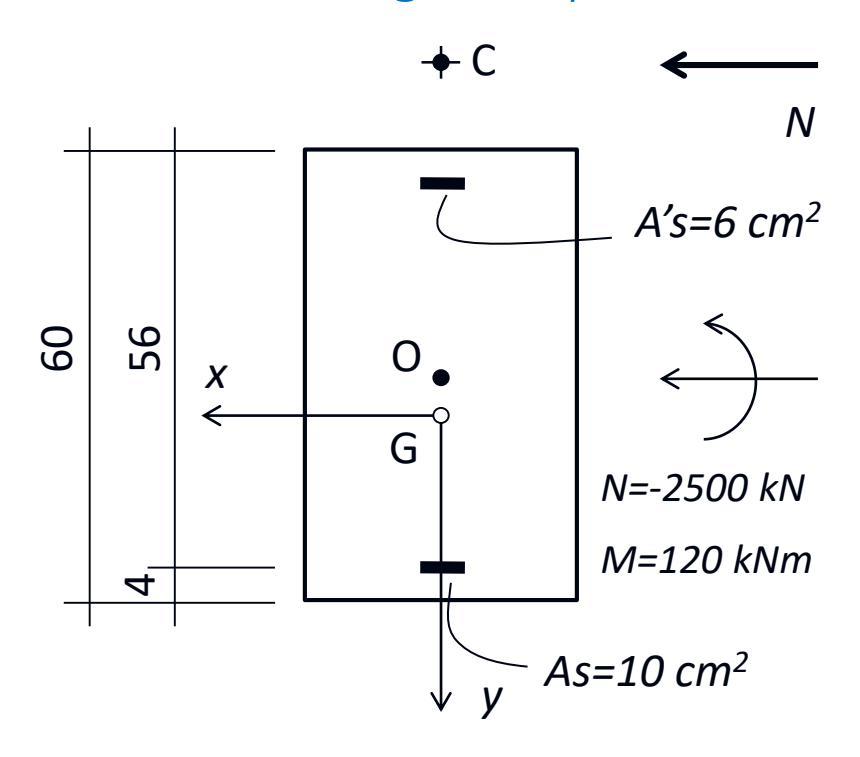
$$N_c = -0.853 \cdot 30 \cdot 60 \cdot 14.17 \cdot 10^{-3}$$

= -2175.6 kN

$$N_s = 200000 \cdot 10 \cdot 0.0004479 \cdot 10^{-1}$$
$$= -89.6 \text{ kN}$$

$$N_s' = 391.3 \cdot 6 \cdot 10^{-1} = -234.8 \, \text{kN}$$

Sezione rettangolare pressoinflessa



Attenzione: la sezione non è verificata perché il momento resistente (118.8 kNm) è inferiore al momento agente (120 kNm)

$$\kappa = \frac{1}{2} \cdot \frac{1 - 16/49(1 - \eta_{min})^2}{1 - 4/21(1 - \eta_{min})^2} = 0.4384$$

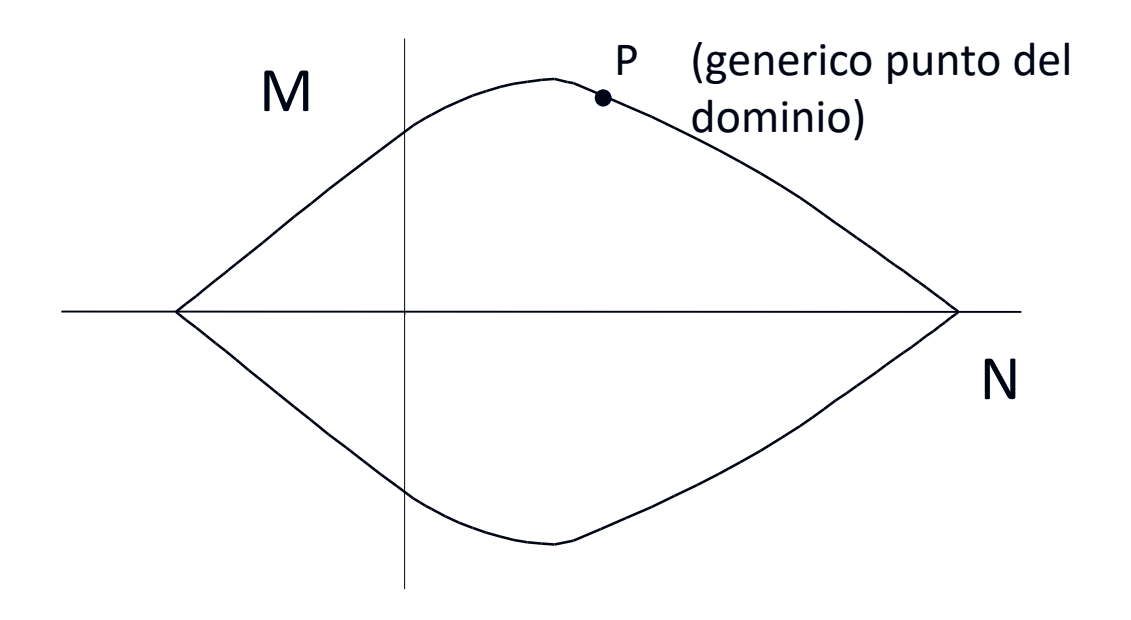
L'equilibrio alla rotazione intorno ad O fornisce $M_{Rd} = (N_s - N'_s) (h/2 - c)$ il momento resistente $-N_c (h/2 - k x)$

$$M_{Rd} = \left\lceil \left(-89.6 + 234.8 \right) \cdot 26 - \left(-2175.6 \right) \cdot \left(30 - 0.4384 \cdot 60 \right) \right\rceil 10^{-2} = 118.1 \text{kNm}$$

Domini M-N per flessione composta retta

Stato limite ultimo

Dominio di resistenza, o insieme delle coppie M-N curva di interazione = per cui ε_{max} è uguale a ε_{cu}

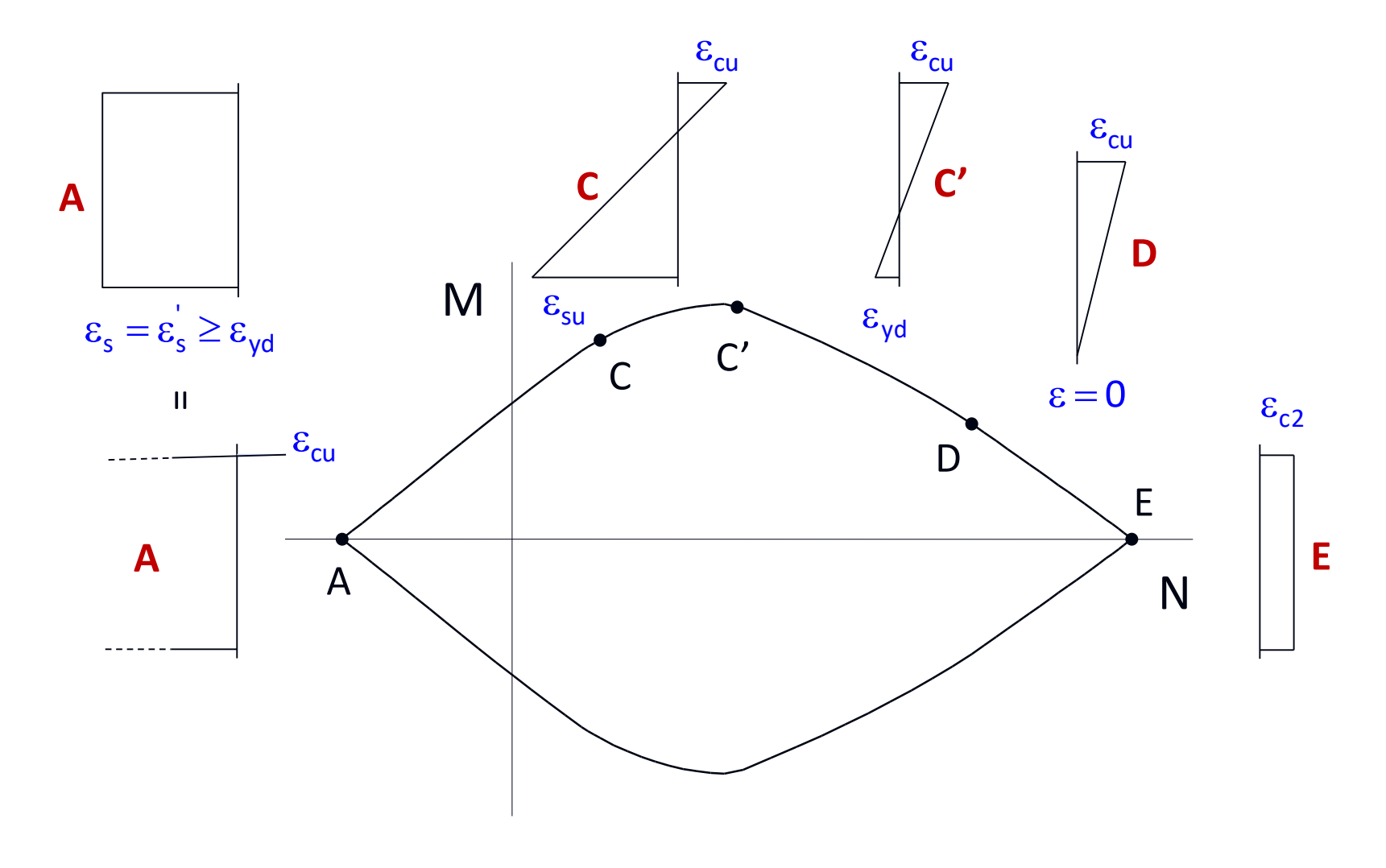


Stato limite ultimo

Per ricavare una coppia M-N del dominio

- **1.** Si definisce la retta limite di deformazione
- 2. Si calcolano le tensioni
- 3. Si calcolano le caratteristiche N ed M tramite equilibrio alla traslazione ed alla rotazione

Stato limite ultimo



Stato limite ultimo

Cambiando l'armatura, si ottengono tanti diagrammi

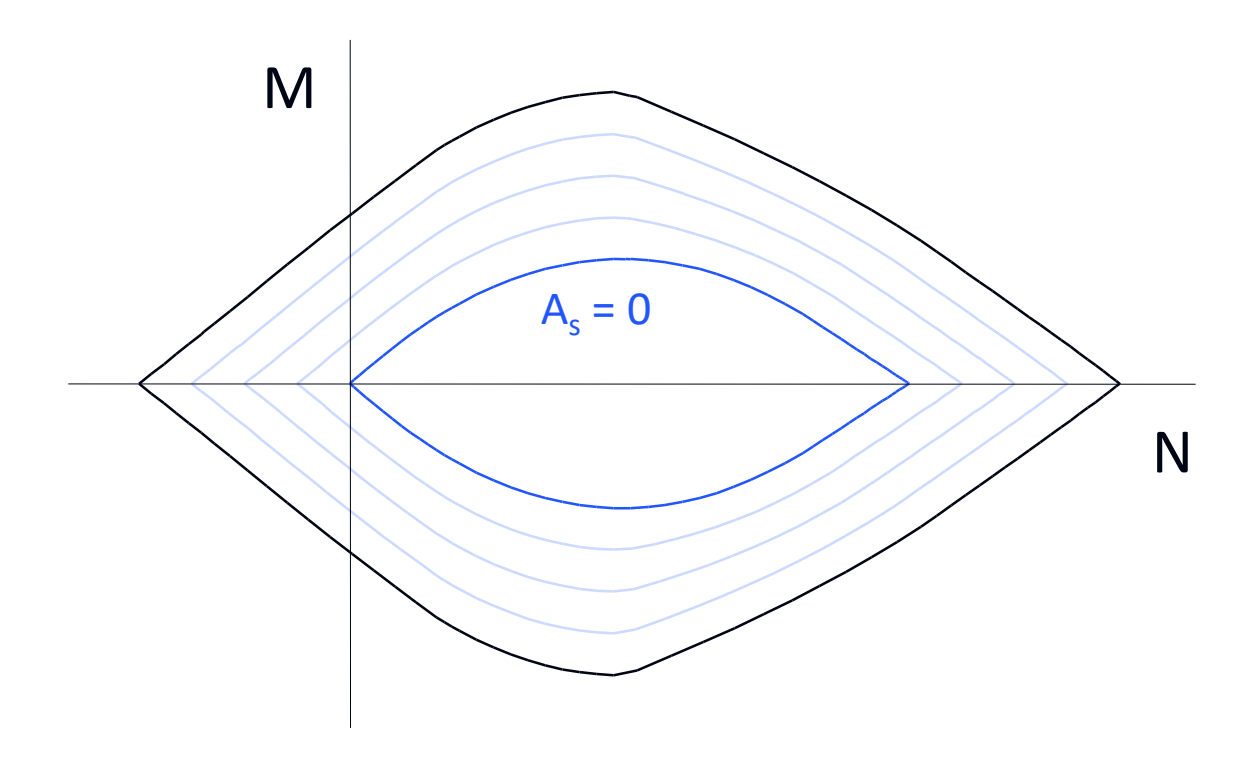
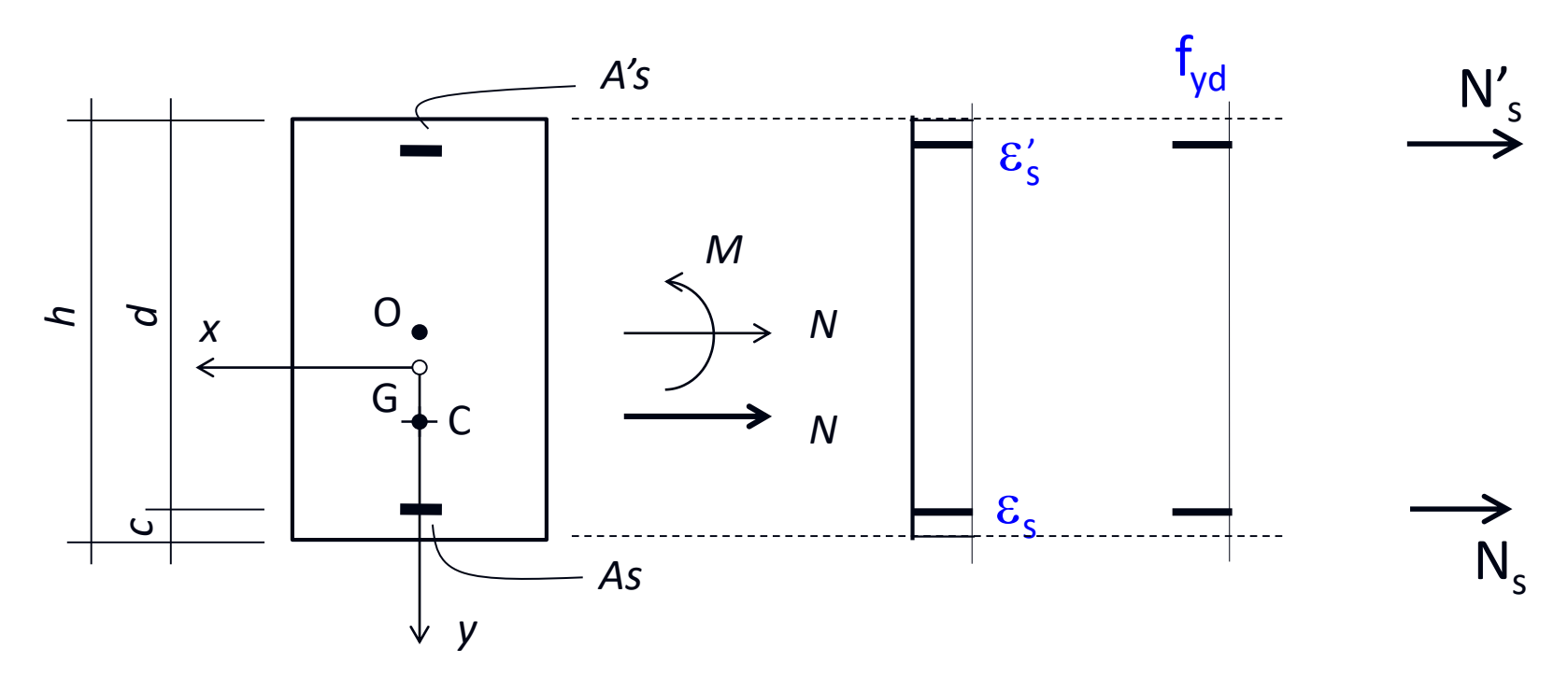


Diagramma A



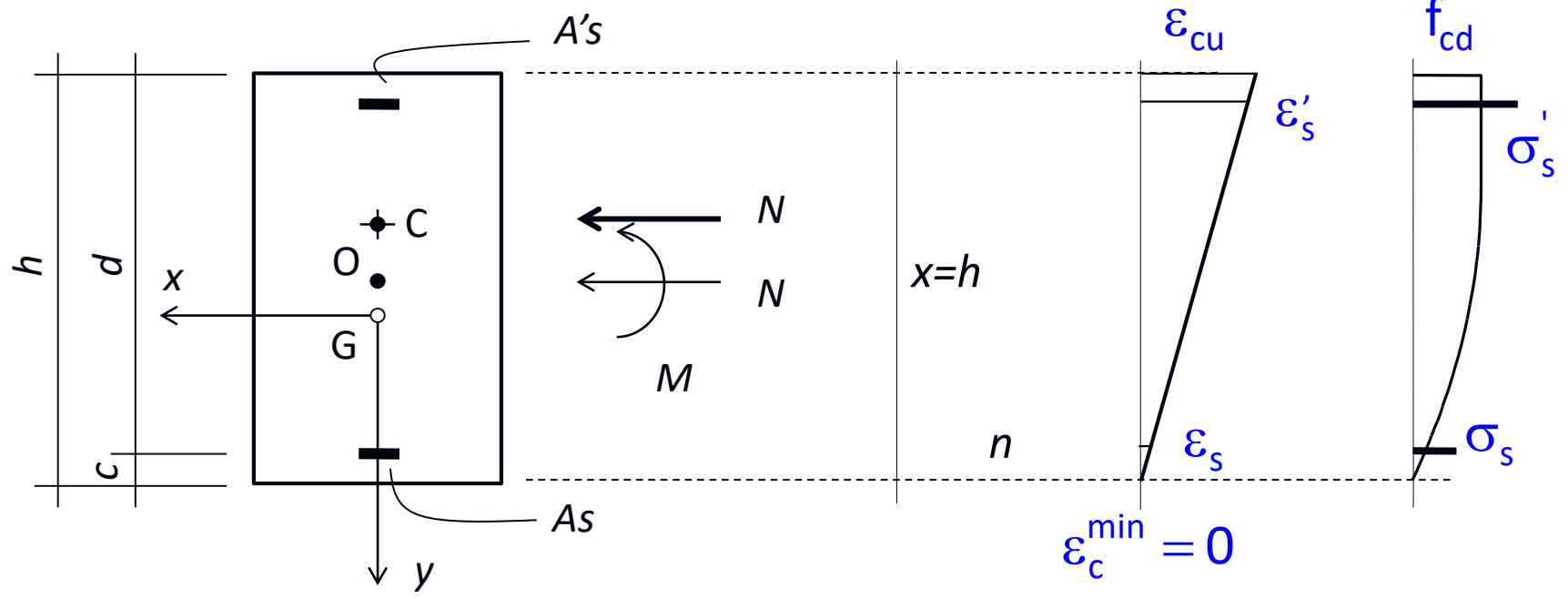
$$N = (A_s + A'_s)f_{yd}$$

$$M = (A_s - A'_s)(\frac{h}{2} - c)f_{yd}$$

Nota:

Se le armature sono eguali il momento flettente è nullo. Il punto di coordinate N-M giace sull'asse N.

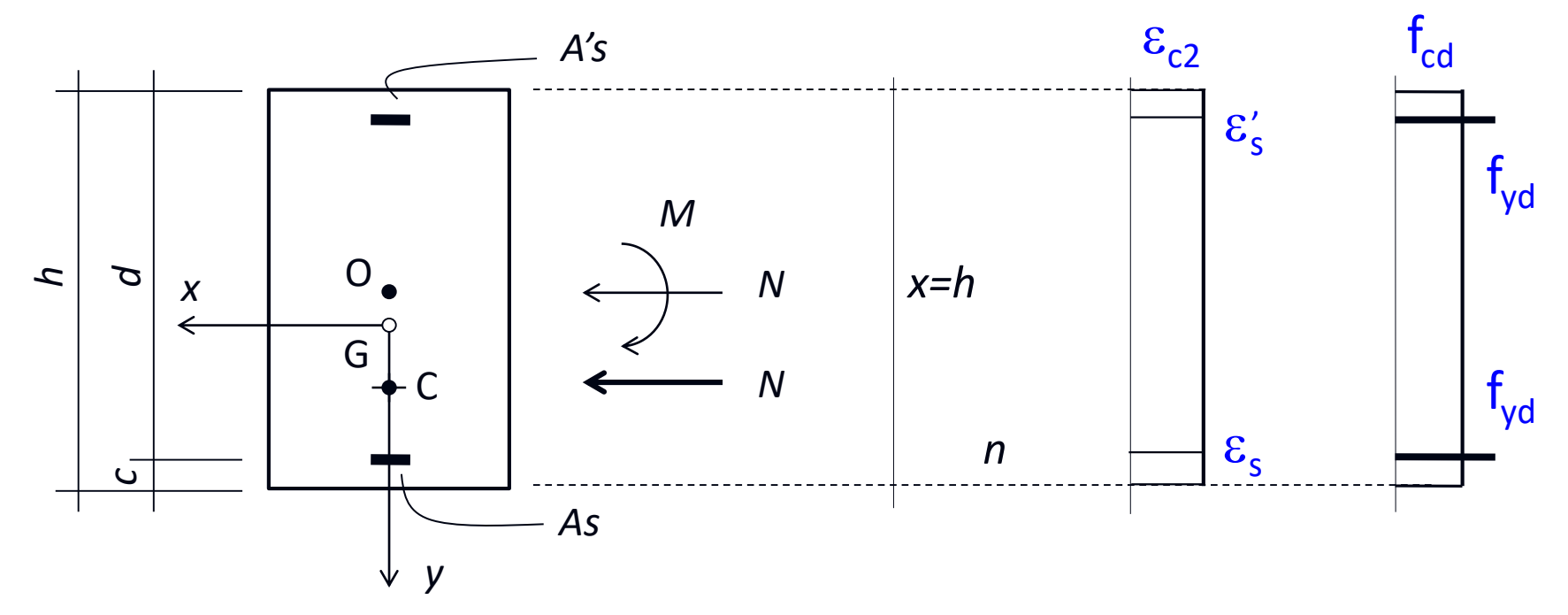
Diagramma D



Per gli usuali valori di copriferro, l'armatura sup. è snervata mentre quella inf. è elastica.

$$\begin{split} N &= 0.810 \, bh f_{cd} - \left(A_s \frac{c}{h} \frac{\epsilon_{cu}}{\epsilon_{yd}} + A_s^{'}\right) f_{yd} \\ M &= 0.0680 bh^2 f_{cd} + \left(-A_s \frac{c}{d} \frac{\epsilon_{cu}}{\epsilon_{yd}} + A_s^{'}\right) \left(\frac{h}{2} - c\right) f_{yd} \end{split}$$

Diagramma E



$$N = -bhf_{cd} - (A_s + A_s')f_{yd}$$

$$M = -(A_s - A_s')(\frac{h}{2} - c)f_{yd}$$

Nota:

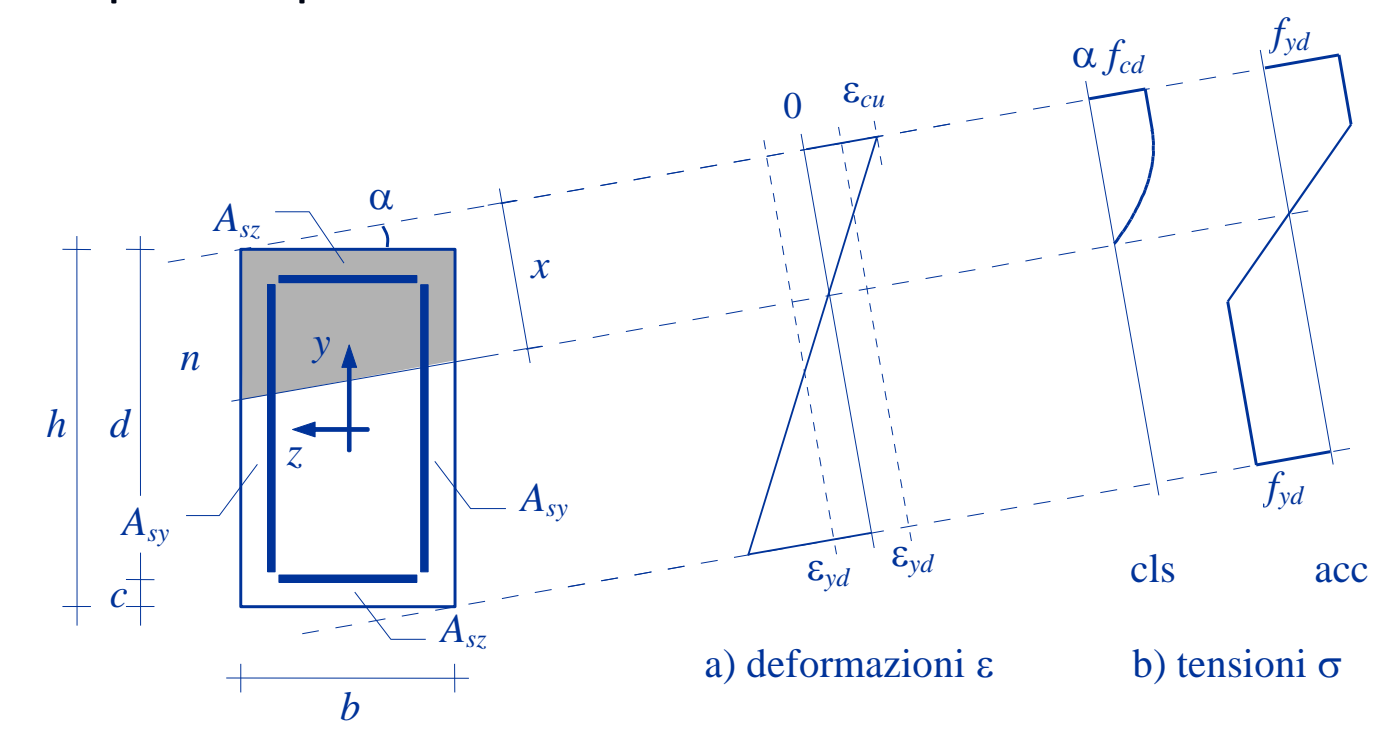
Se le armature sono eguali il momento flettente è nullo. Il punto di coordinate N-M giace sull'asse N.

Domini M-N per flessione composta deviata

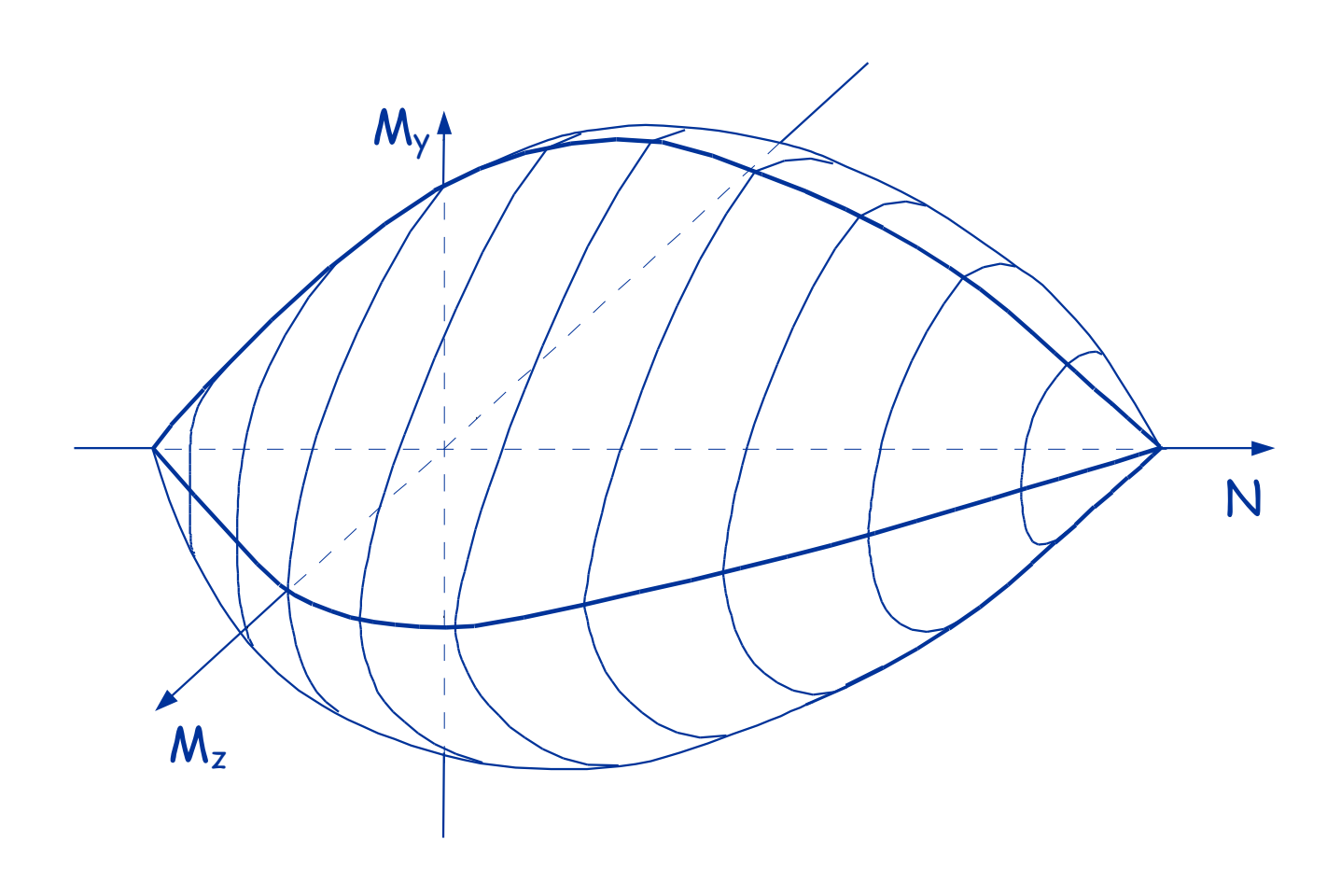
Pressoflessione deviata

Procedimento per la costruzione del dominio M_y-M_z-N

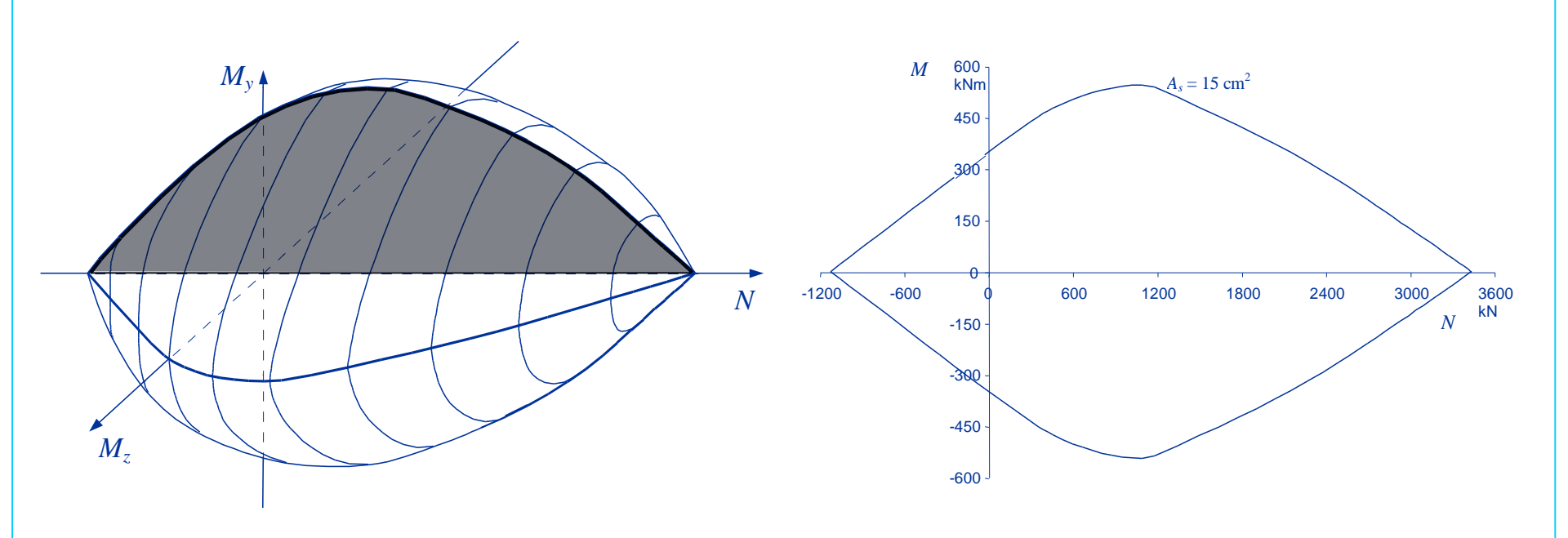
- analogo a quello descritto per pressoflessione retta
- più complicato per l'inclinazione dell'asse neutro



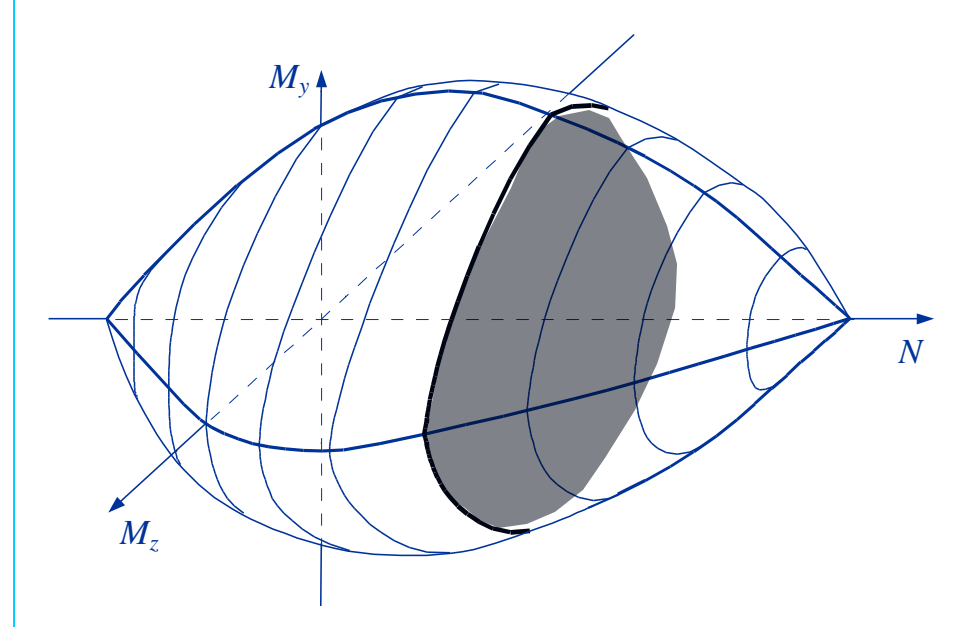
Dominio allo SLU



Dominio allo SLU



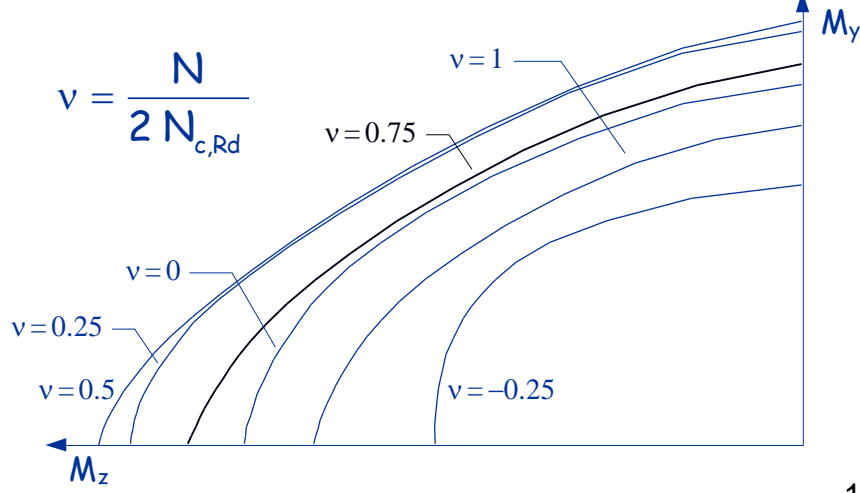
Dominio allo SLU



Nota: per N≅0 si può usare un esponente maggiore, fino a 2

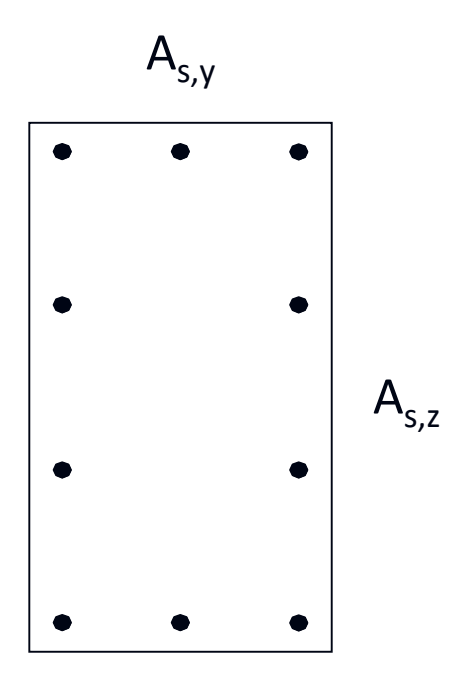
$$\left(\frac{M_z}{M_{z,Rd}}\right)^p + \left(\frac{M_y}{M_{y,Rd}}\right)^q = 1$$

Consiglio: usare p = q = 1.5



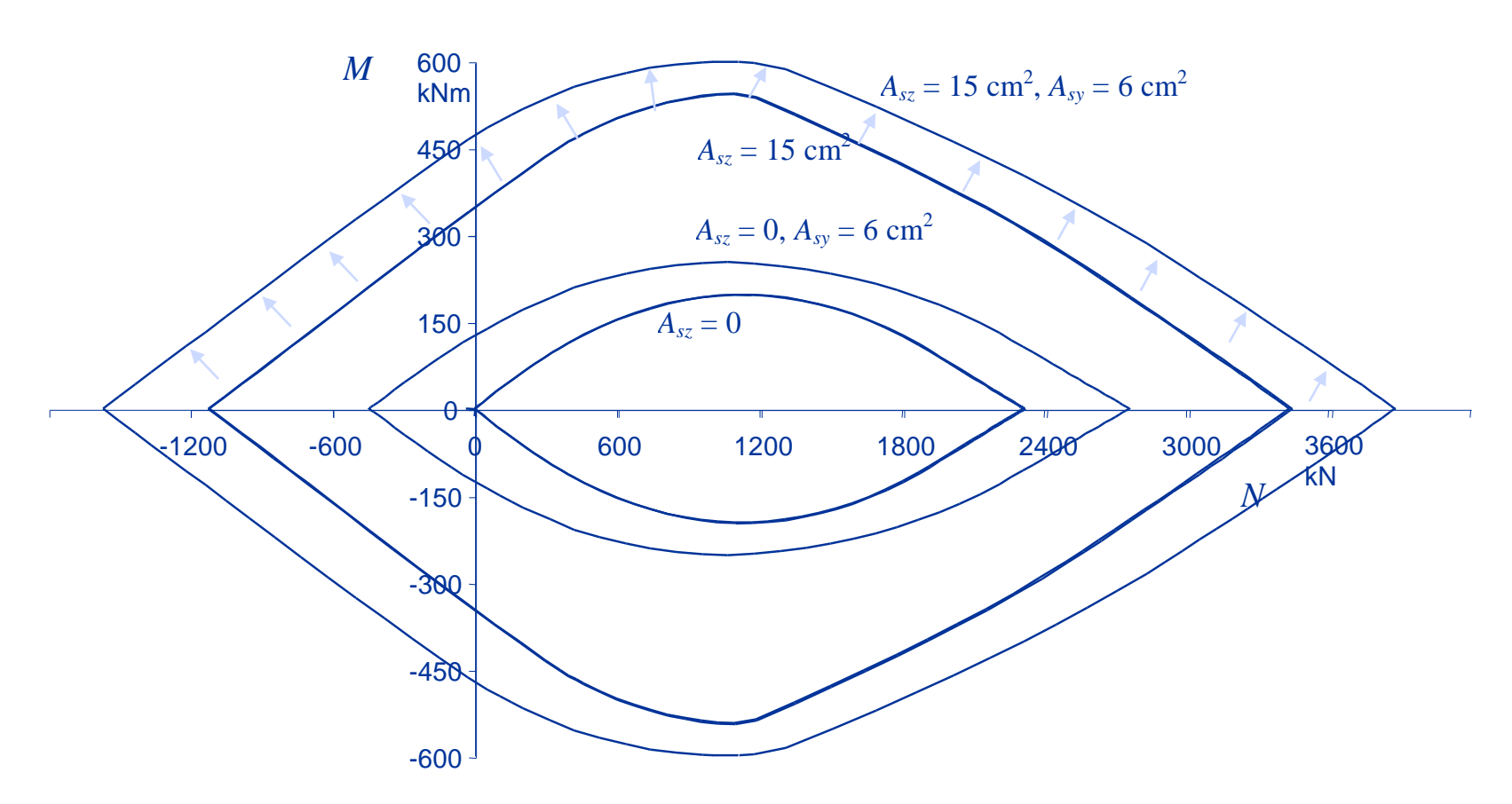
Considerazioni

Nel calcolare il momento resistente $M_{Rd,y}$ si dovrebbe prendere in considerazione anche l'armatura sul lato verticale



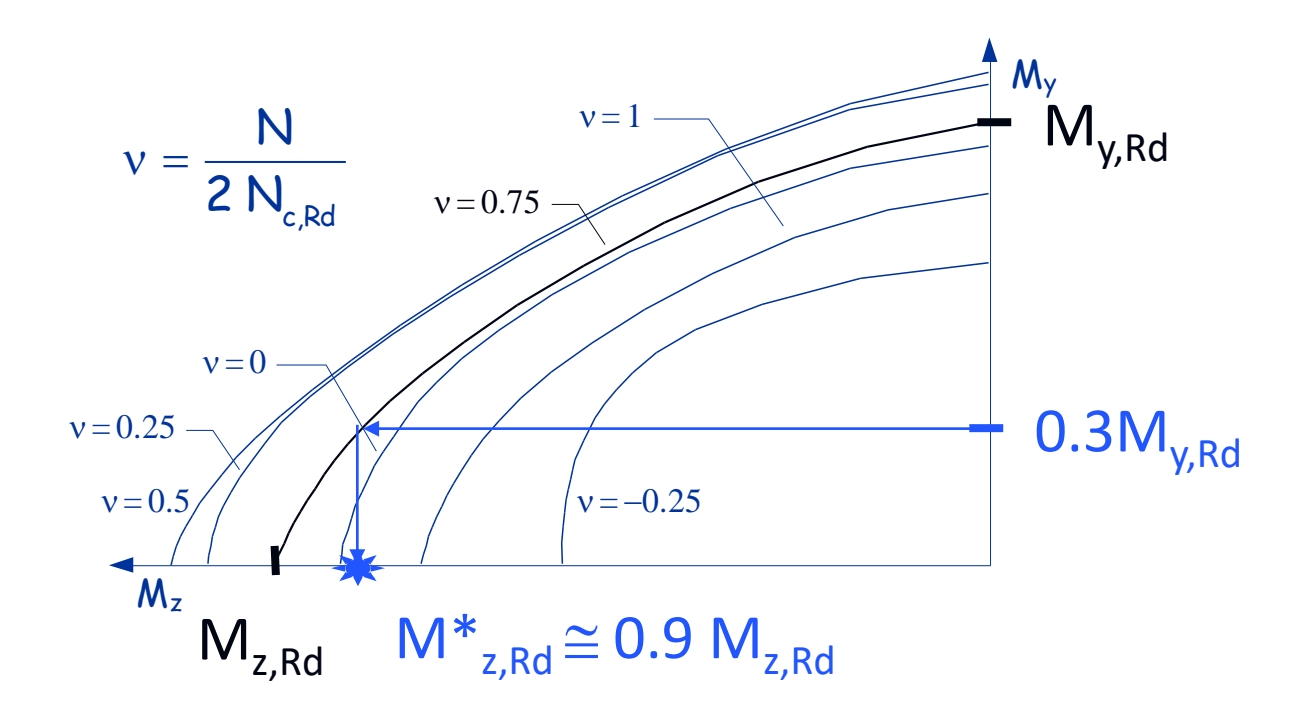
Considerazioni

Ciò porterebbe ad un incremento del momento resistente



Considerazioni

Contemporaneamente, la presenza di momento nella direzione trasversale riduce il momento resistente



Indicazioni operative

Finché il momento trasversale non è eccessivo, i due effetti si compensano

E' possibile progettare a pressoflessione retta, separatamente per le due direzioni,

e poi effettuare un controllo a pressoflessione deviata

FINE